

T.C.  
EGE ÜNİVERSİTESİ  
SAĞLIK BİLİMLERİ ENSTİTÜSÜ

**ARA ÜRÜN OLARAK SENTEZLENEN  
TETRAHİDROİZOKİNOLİNLERİN  
N-OKSİTLERİNİN PİROLİZ ÜRÜNLERİ**

**T 58739**

Farmasötik Kimya Programı  
YÜKSEK LİSANS TEZİ  
Ecz. Zeynep SOYER

Danışman Öğretim Üyesi  
Yard. Doç. Dr. Pınar ÖZİÇ

T.C. YÖL İZLEMEK İŞLEMİ  
DOKUMANTASYON MERKEZİ

İZMİR-1997

## **İÇİNDEKİLER**

<b>GİRİŞ</b>	<b>1</b>
<b>TEORİK BÖLÜM</b>	<b>3</b>
A. İzokinolinlerin Elde Ediliş Yöntemleri	3
1. 3,4-Dihidroizokinolinlerin Elde Ediliş Yöntemleri	3
a. Bischler-Napieralski Yöntemi	3
b. $\beta$ -Halojenoalkilbenzen ve Nitril-Metal Halojenür Kompleksi Etkileşmesiyle Siklizasyon	6
2. 1,2,3,4-Tetrahidroizokinolinlerin Elde Ediliş Yöntemleri	7
a. Pictet-Spengler Sentezi	7
b. Pictet-Gams Sentezi	10
c. Pomeranz-Fritsch Sentezi	11
B. N-Oksitler ve Genel Sentez Yöntemleri	12
1. Tersiyer Aminlerin Oksidasyonu	12
2. Alkil Halojenürlerle Oksim veya Hidroksilaminlerin Reaksiyonu	14
3. Aromatik Nitro Bileşiklerinin Redüktif Siklizasyonu	14

4. Wohl-Aue Reaksiyonu	15
5. Aromatik Nitrozo Bileşiklerinin Aktif Metilen Bileşikleriyle Reaksiyonu	15
C. N-Oksitlerin Pirolizi	16
<b>DENEYSEL BÖLÜM</b>	<b>20</b>
A. Materyal	20
B. Metodlar	20
1. İnce Tabaka Kromatografisi	20
2. Präparatif İnce Tabaka Kromatografisi	21
3. Spektral Analizler	22
4. Kimyasal Tepkimeler	23
a. N-[2-(3,4-Dimetoksifenil)etil]- <i>p</i> -metoksifenil- asetamit (S-1) Sentezi ve Spektral Bulguları	23
b. 1-( <i>p</i> -Metoksibenzil)-6,7-dimetoksi-3,4-dihidroizo- kinolin HCl (S-2.HCl) Sentezi ve Spektral Bulguları	27
c. 2-Metil-1-( <i>p</i> -metoksibenzil)-6,7-dimetoksi- 1,2,3,4-tetrahidroizokinolin (S-3) Sentezi ve Spektral Bulguları	32
d. 2-Metil-1-( <i>p</i> -metoksibenzil)-6,7-dimetoksi- 1,2,3,4-tetrahidroizokinolin-N-oksit (S-4) Sentezi ve Spektral Bulguları	40

e. 2-Metil-1-( <i>p</i> -metoksibenzil)-6,7-dimetoksi-1,2,3,4-tetrahidroizokinolin-N-oksit (S-4) Bileşığının Pirolizi	44
I. S-5a Bileşığının Spektral Bulguları	45
II. S-5b Bileşığının Spektral Bulguları	48
III. S-5c Bileşığının Spektral Bulguları	51
<b>TARTIŞMA VE SONUÇ</b>	<b>54</b>
A. N-[2-(3,4-Dimetoksifenil)etil]- <i>p</i> -metoksifenilasetamit (S-1) Bileşığının Sentezi ve Spektral Bulgularının Değerlendirilmesi	56
B. 1-( <i>p</i> -metoksibenzil)-6,7-dimetoksi-3,4-dihidroizokinolin Hidroklorür (S-2.HCl) Bileşığının Sentezi ve Spektral Bulgularının Değerlendirilmesi	58
C. 2-Metil-1-( <i>p</i> -metoksibenzil)-6,7-dimetoksi-1,2,3,4-tetrahidroizokinolin (S-3) Bileşığının Sentezi ve Spektral Bulgularının Değerlendirilmesi	61
D. 2-Metil-1-( <i>p</i> -metoksibenzil)-6,7-dimetoksi-1,2,3,4-tetrahidroizokinolin-N-oksit (S-4) Bileşığının Sentezi ve Spektral Bulgularının Değerlendirilmesi	65
E. S-4 Bileşığının Pirolizi ile Kazanılan Bileşikler ve Spektral Bulgularının Değerlendirilmesi	67



Bu çalışmayı çok değerli bilgi ve yardımcıları ile yöneten Sayın Yard. Doç. Dr. Pınar ÖZİÇ' e, çalışmalarım esnasında değerli yardım ve ilgilerini gördüğüm E.Ü. Eczacılık Fakültesi Farmasötik Kimya Anabilim Dalı Başkanı Sayın Prof. Dr. Belkıs GÖZLER' e ve spektrumların çekilmesinde büyük emeği geçen Sayın Doç. Dr. Varol PABUÇÇUOĞLU' na teşekkür eder, sonsuz saygılarımı sunarım.

## GİRİŞ

Benzo[c]piridin veya 2-azanftalen olarak isimlendirilebilen izokinolin halkası, "izokinolin" adıyla bilinen ve çok geniş bir grubu oluşturan doğal alkaloitlerin ana çekirdeğini oluşturur. Değişik alt gruplara ayrılan izokinolin alkaloitleri arasında, sadece tam aromatik izokinolin halkasını ya da muhtelif derecede doymuş türevlerini içeren alt gruba "basit izokinolinler" adı verilir. Bu çok basit yapılı bileşikler daha karmaşık yapılı izokinolin alkaloitlerinin biyosentezlerinin anlaşılabilirliğinde önemli rol oynadıkları için bilim adamlarının ilgisini çekmiştir. Değişik farmakolojik etkiler göstermeleri de, basit izokinolinlerin gerek doğal kaynaklardan izolasyonlarına, gerekse sentezlerinin gerçekleştirilmesine yönelik çalışmalara yoğunluk kazandırılmıştır.

Gerek tam aromatik izokinolinler, gerekse tetrahidro türevleri önemli farmakolojik aktiviteler sergileyen bileşiklerdir. Basit tetrahidroizokinolinlerden bazılarının merkezi sinir sistemi üzerinde depresan, bazılarının stimülant etkiye sahip oldukları, diğer bazılarının ise konvülzan özellik gösterdikleri rapor edilmiştir (1, 2). Bu gruptan bazı bileşiklerin düz kaslar üzerinde değişik etkiler gösterdikleri de saptanmıştır (3). 1-Benzil-1,2,3,4-tetrahidroizokinolinler, adrenjik ve dopaminerjik reseptörlere bağlanma deneylerinde yüksek derecede aktif bulunmuşlardır (4).

Katekolamin yapısına sahip olan tetrahidroizokinolinlerin yalancı nöro-transmiter olarak görev yapabildikleri, adrenerjik nöronlar tarafından alınıp depolanabildikleri, adrenerjik reseptörler üzerinde agonist ya da antagonist etki gösterebildikleri rapor edilmiştir (5, 6).

Günümüzde doğal kaynaklardan elde edilmiş yapıları aydınlatılmış olan basit izokinolin alkaloitlerinden çok azı N-oksit yapısına sahiptir.

Alkaloit N-oksitlerin farmakolojik etkilerinin karşılık geldikleri tersiyer baza eşdeğer olmasına karşın, toksisitelerinin daha az olması, bu türevler üzerinde yapılacak farmakolojik araştırmaların ne derece önemli olduğunu gösterir. Ancak, genellikle polar nitelikli olan alkaloit N-oksitlerin doğal kaynaklarından kimyasal ve farmakolojik araştırmalar için yeterli olacak miktarda elde edilmeleri, günümüzde kullanılan izolasyon teknikleri ile mümkün olamamaktadır. Bundan dolayı bu bileşiklerin yarı sentez ya da total sentez ile elde edilmesi gerekliliği ortaya çıkmıştır.

Bu fikirden hareketle, çalışmamızda bir basit izokinolin N-oksit türevi olan 2-metil-1-(*p*-metoksibenzil)-6,7-dimetoksi-1,2,3,4-tetrahidroizokinolin-N-oksit bileşığının total sentez yoluyla elde edilmesi ve N-oksit türevlerinin özellikle ısı karşısında ilginç eliminasyon ya da çevrilme tepkimelerine girerek değişik ürünler verdiği bilindiğinden, elde edilen bu ürün üzerinde piroliz reaksiyonu uygulanması ve piroliz ürünlerinin yapılarının modern spektral yöntemlerden faydalılarak aydınlatılması amaçlanmıştır.

## TEORİK BÖLÜM

İzokinolinler kimyasal açıdan yapısal izomerleri olan kinolinlere oldukça benzerler. Ancak bu iki halka sisteminin sentezlerinde kullanılan yöntemlerin oldukça farklı olduğu görülür. Örneğin kinolinlerde doğrudan doğruya tam aromatik çekirdeğin sentezi gerçekleştirilirken, izokinolinlerde en çok uygulanan sentez yöntemlerinin kısmen redüklenebilmiş ürünlerini verdiği görülür.

Bu bölümde izokinolin sentezinde en çok kullanılan bazı yöntemlerle birlikte N-oksit türevlerinin hazırlanmasında en yaygın olarak faydalanan metodlar incelenecaktır. Ayrıca bazı alkaloit N-oksitlerin piroliz ürünlerinin incelendiği literatürler de değerlendirilecektir.

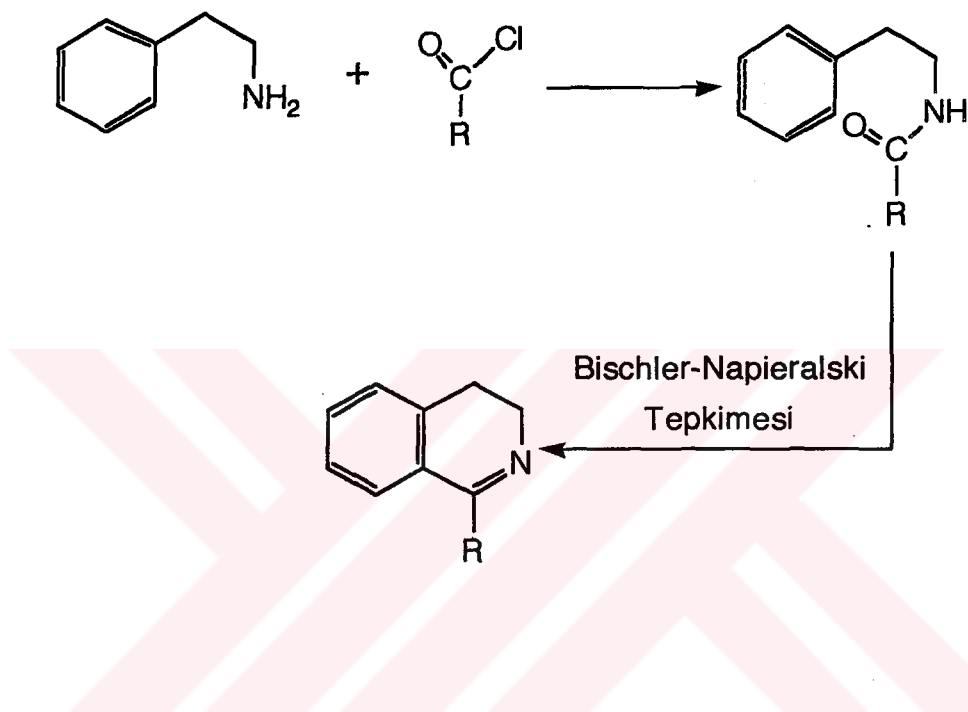
### A. Izokinolinlerin Elde Ediliş Yöntemleri

#### 1. 3,4-Dihidroizokinolinlerin Elde Ediliş Yöntemleri

##### a. Bischler-Napieralski Yöntemi (7, 8)

Bu yöntemde fenetilaminlerin açılı halojenürlerle tepkimeye girmesi sonucu oluşan amitler, toluen ya da ksilol gibi inert bir

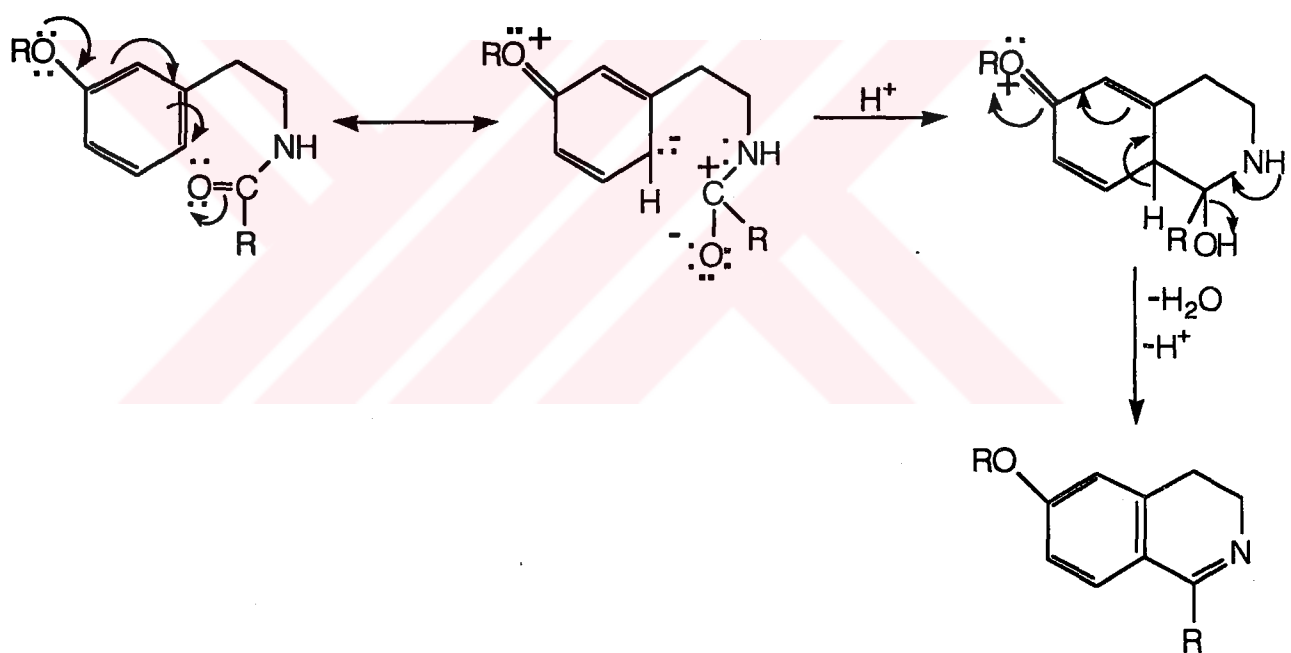
çözücü içerisinde,  $P_2O_5$  veya  $ZnCl_2$  beraberinde ısıtıldıklarında siklizasyon sonucu 3,4-dihidroizokinolinleri verirler (Şema 1).



(Şema 1)

Bu yöntemde meydana gelen siklodehidrasyon olayı, benzen halkasında asit etkisiyle gerçekleşen bir intramoleküler elektrofilik sübstansiyondur. Fenetilamin komponentinin sübstansiyeye olduğu ya da açılı komponentinin basitten komplekse kadar değiştiği durumlarda bile Bischler-Napieralski yöntemi başarı ile yürümektedir. Bu tepkimede verim, tepkimeye giren amit fonksiyonunun aril grubuna ya da azota göre  $\alpha$  ve/veya  $\beta$  konumunda bulunan gruplara göre değişkenlik göstermekle birlikte genelde yüksektir. Verime etki eden diğer bir yapısal özellik de, fenetilamin yapısındaki benzen halkasının sübstansiyon durumudur. Elektrofilik

sübstiyon açısından daha az aktif olan nonsübstiyeye fenil halkasıyla düşük verim elde edilirken, daha aktif olan metoksi sübstiyeye fenillerle daha yüksek verim elde edilmektedir. Amit azotu üzerinde bulunan fenetil artığındaki benzen halkasının *m*-konumunda fenol ya da alkoxi gibi elektron verici bir sübstiyentin bulunduğu, intramoleküler elektrofilik sübstiyon tepkimesi olan Bischler-Napieralski reaksiyonunu kolaylaştırır. Tepkime esnasında siklizasyon, çoğunlukla tercihli olarak *m*-sübstiyefenetilamin komponentinin sübstiyentine göre *p*-konumundan cereyan eder (Şema 2) (9).



(Şema 2)

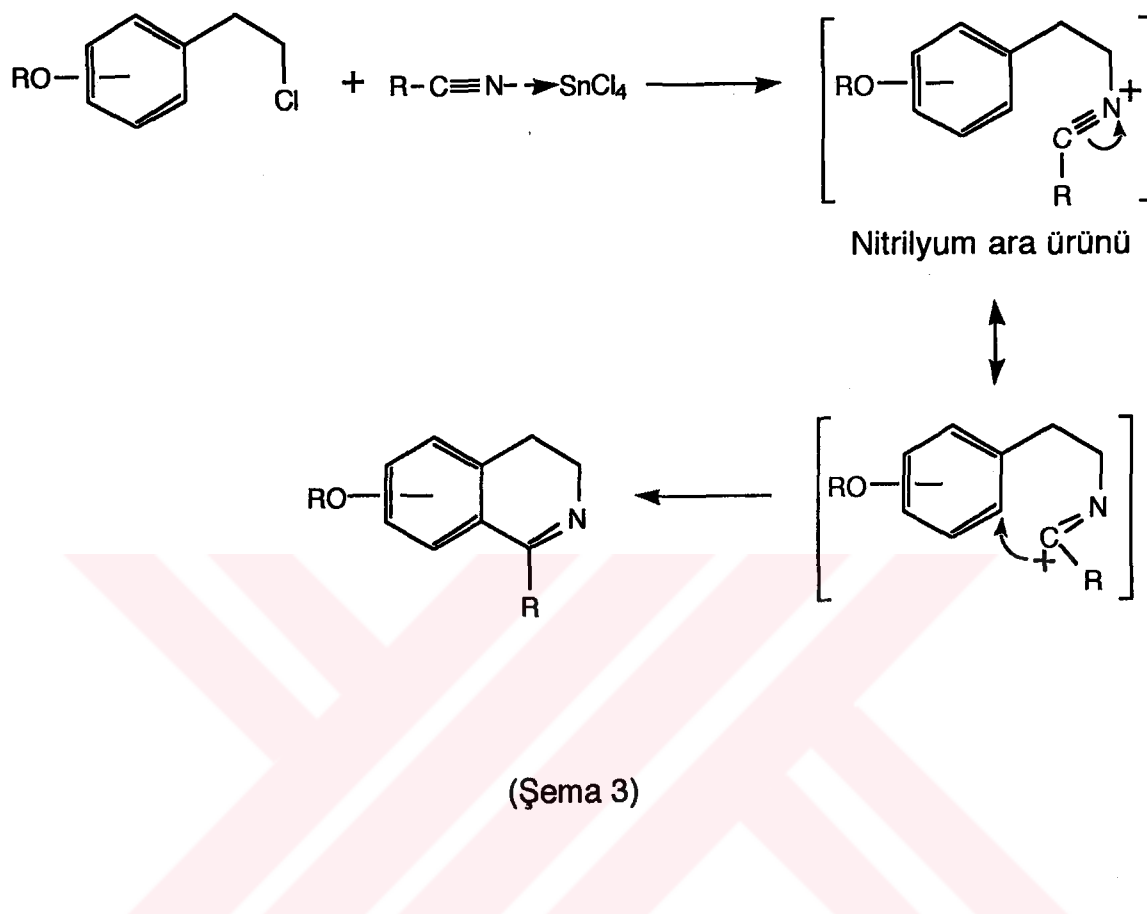
*m*-Konumunda fenol ya da alkoxi taşıyan N-( $\beta$ -ariletil)amit türevlerinde siklizasyon, teorik olarak bu sübstiyentlere göre *o*- ya da *p*- konumlarından cereyan edecek ve 6 ya da 8-sübstiyeye-3,4-dihidroizokinolinler elde edilecektir. Ancak pratikte *o*- konumundan siklizasyonun hiç cere-

yan etmediği, ürünün her zaman 6-sübstítüye dihidroizokinolinler olduğu görülmüştür. Buna bağlı olarak, N-[2-(3,4-disübstítüyefenil)etil]amit türevlerinin siklizasyon ürünü 7,8-disübstítüye-3,4-dihidroizokinolinler değil, 6,7-disübstítüye-3,4-dihidroizokinolinlerdir.

#### **b. $\beta$ -Halojenoalkilbenzen ve Nitril-Metal Halojenür Kompleksi Etkileşmesiyle Siklizasyon**

$\beta$ -Halojenoalkilbenzen ve nitril-metal halojenür kompleksinin etkileşmesiyle oluşan nitrilyum tuzları, daha sonra bir intramoleküler elektrofilik sübstítüsyonla siklizasyon ürünleri verirler. 3,4-Dihidroizokinolinlerin sentezinde bu sentez yönteminden de yararlanılmıştır (10).

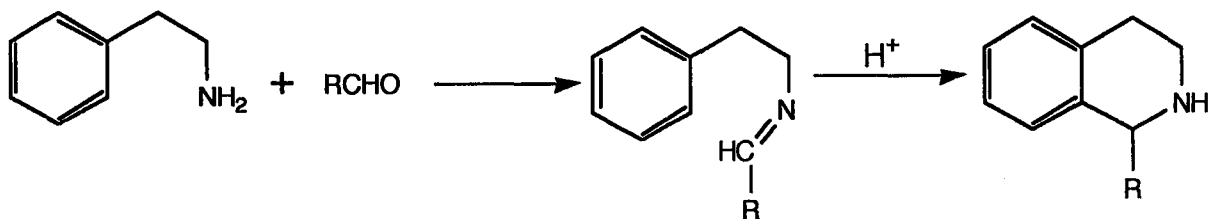
Bu amaçla kullanılan muhtelif  $\alpha$ -kloro- $\beta$ -(alkoksifenil)etan bileşikleri, elektrofilik nitelik taşıyan uygun nitril-metal halojenür kompleksleriyle etkileştirilir. Ara ürün olarak oluşan nitrilyum tuzunun, benzen halkasının o-konumuna yaptığı elektrofilik saldırısı, halka kapanmasıyla sonuçlanarak, karşı gelen sübstítüye-3,4-dihidroizokinolinleri verir (Şema 3) (10).



## 2. 1,2,3,4-Tetrahidroizokinolinlerin Elde Ediliş Yöntemleri

### a. Pictet-Spengler Sentezi (11)

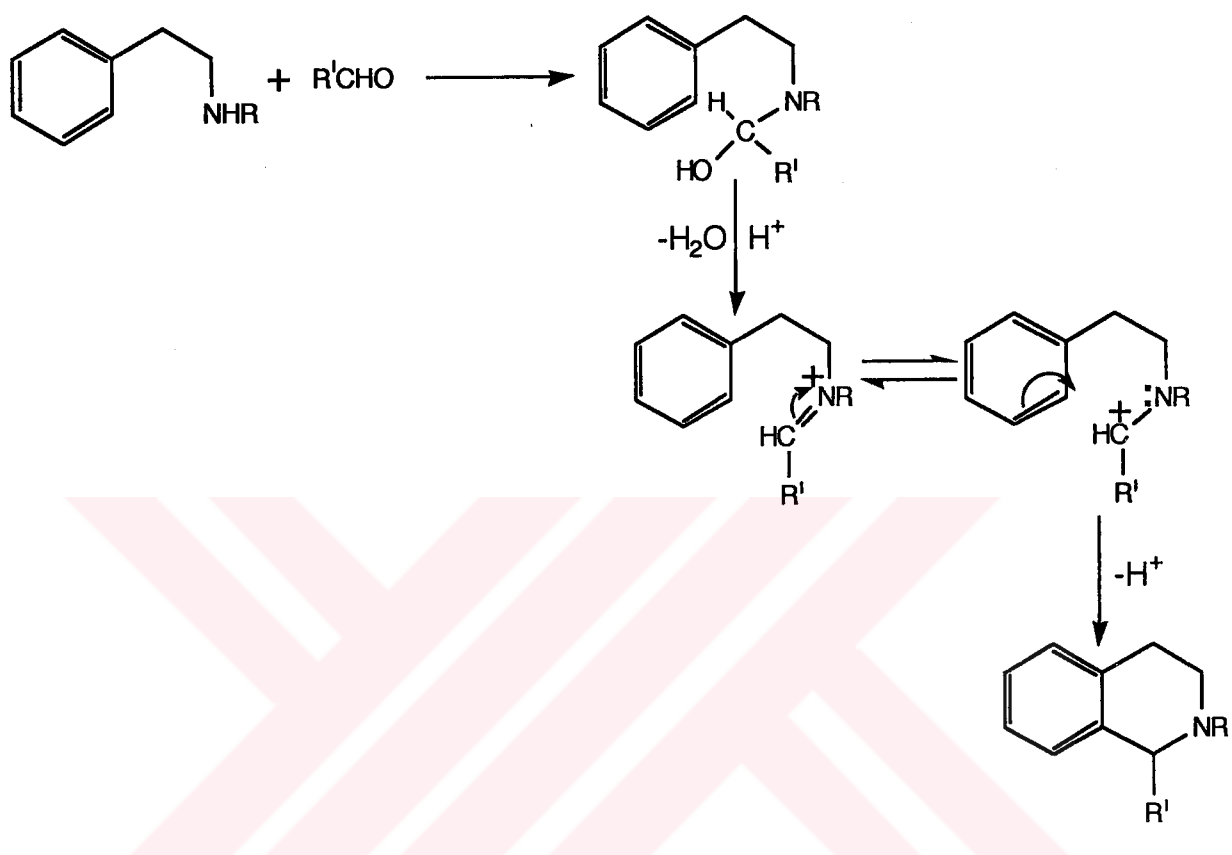
Mannich tepkimesinin özel bir şeklidir. Bu sentez, kısaca bir  $\beta$ -ariletilaminin, bir karbonil bileşiği ile etkileşerek tetrahidroizokinolin vermesi olarak tanımlanabilir (Şema 4).



(Şema 4)

Bischler-Napieralski sentezine benzer bir şekilde, intramoleküler elektrofilik sübstansiyona dayalı bir mekanizma ile meydana gelen tepkime, aldehit ve aminin, katalizör asit beraberinde ısıtımasıyla tek aşamada gerçekleşebileceği gibi, önce ara ürün olarak Schiff bazlarının oluşturulması, daha sonra halka kapanmasının gerçekleştirilmesi şeklinde iki aşamalı bir tepkime olarak da yapılabilir. Her iki yöntem de kullanılmaktadır. Ancak Schiff bazlarının kolayca ve yüksek verimle oluşması, ayrıca sıklızasyonun çoğu kez kolayca gerçekleştirilemesi nedeniyle iki aşamalı tepkime daha çok tercih edilmektedir.

Tepkime primer aminlerle olduğu kadar sekonder aminlerle de yürütülebilir. Sekonder aminler kullanıldığı taktirde Schiff bazları izole edilemeyeceğinden bu durumda oluşan hidroksimetil ara ürünü asit etkisiyle su kaybederek amonyum bileşigine dönüşür (Şema 5).



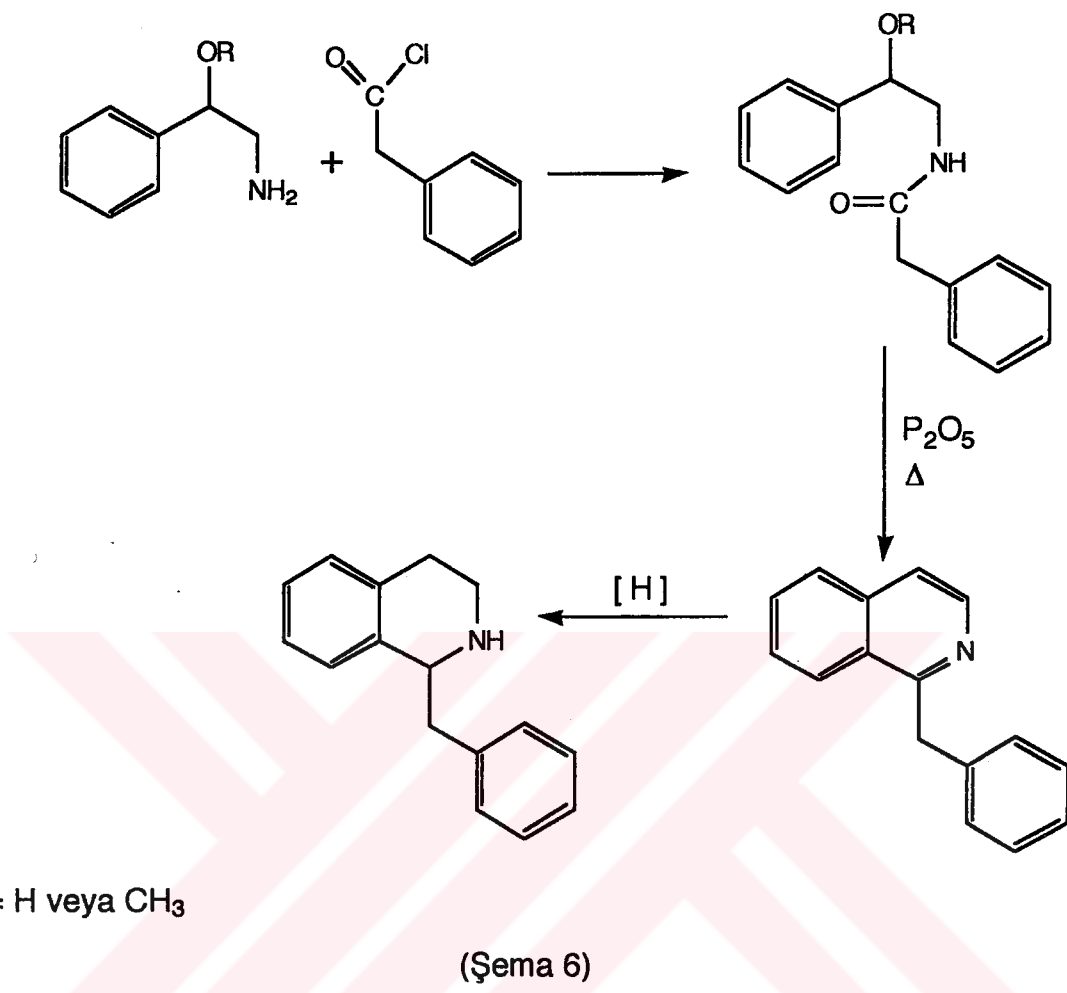
(Şema 5)

Nonsübstitüye fenetilaminlerde siklizasyon ya gerçekleşmez ya da düşük verimle gerçekleşir. Buna karşılık siklizasyon konumuna *p*- olan alkoksil gruplarının aktive edici etkisi son derece belirgindir. Örneğin 3-metoksifenetilamin veya 3,4-dimetoksifenetilaminin formaldehitle kondansasyonu çok yüksek verimle tetrahidroizokinolin türevini verirken; 4-metoksifenetilaminin istenilen ürünü vermediği görülmüştür.

Pictet-Spengler sentezinde en çok tercih edilen karbonil bileşiği formaldehittir. Formaldehit dışında hiçbir aldehit, sadece alkoksil sübstityentler ile aktive edilmiş fenetilaminlerle verimli bir tepkime verememektedir. Bu nedenle fenetilamin üzerinde daha yüksek bir aktivasyon sağlayan bir sübstityentin, örneğin hidroksil grubunun bulunması tercih edilir.

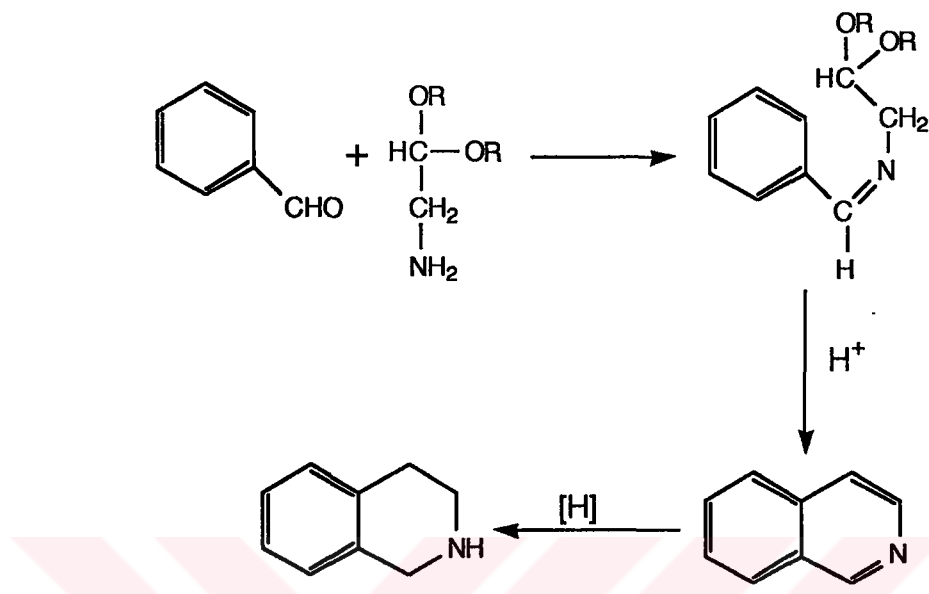
### b. Pictet-Gams Sentezi (12)

Bischler-Napieralski sentezine benzeyen, ancak ürün olarak 3,4-dihidroizokinolin yerine tam aromatik izokinolin veren sentez yöntemi 1909 yılında Pictet ve Gams tarafından önerilmiştir. Bu yöntemde hareket maddesi olan amin bir  $\beta$ -metoksi ya da  $\beta$ -hidroksifenetilamindir. Bu aminin bir açılı halojenürle reaksiyona sokulması sonucu kazanılan amit, toluen içinde  $P_2O_5$  beraberinde ısıtıldığında, iki molekül su kaybı sonunda izokinolin elde edilir. Bu bileşik hidrojenasyonla tetrahidroizokinolin türevine dönüştürülebilir (Şema 6).



### c. Pomeranz-Fritsch Sentezi (13, 14)

Bu yöntemde hareket maddesi uygun bir şekilde sübstiyüye olmuş benzaldehyttir. Bu bileşigin aminoasetal ile kondansasyonu sonucu oluşan iminoasetalin sülfürik asitle muamelesi, Pictet-Gams sentezine benzer bir şekilde doğrudan doğruya tam aromatik izokinolinleri verir. Bu yönteme göre elde edilen izokinolin bileşigi hidrojenasyonla tetrahidroizokinolin türevlerine dönüştürülebilir (Şema 7).



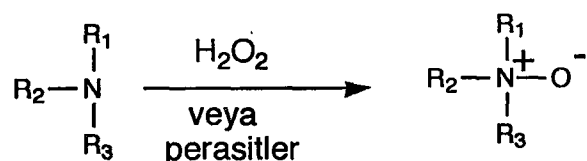
(Şema 7)

## B. N-Oksitler ve Genel Sentez Yöntemleri

Primer ve sekonder aminlerin oksidasyonları sonucunda hidrosilaminler, oksimler, nitrozo ve nitro bileşikleri, aldehit ve ketonlar gibi çeşitli işlevsel gruplar elde edilebilir. Tersiyer aminlerin oksidasyonu ise amin oksitleri vermektedir. Tersiyer amin oksitler, yüklerin elektronca zengin oksijen ve elektronca fakir azot üzerinde bulunduğu R<sub>3</sub>N<sup>+</sup>O<sup>-</sup> yapısı ile karakterize edilirler.

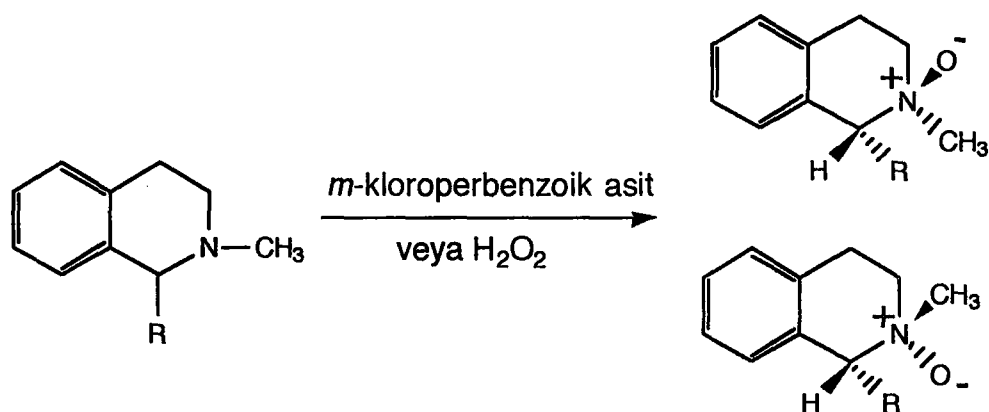
### 1.Tersiyer Aminlerin Oksidasyonu

Bu genel bir N-oksit hazırlama yöntemidir.



Oksidan ajan olarak  $\text{H}_2\text{O}_2$  veya perasitler kullanılabilir. Apolar solvanlarda *m*-kloroperbenzoik asit kullanımı iyi sonuç verir. Bu tepkime oda temperatürünün altında ya da oda temperatüründe hızlı bir şekilde yürürlükte. N-oksit verimleri çok yüksek olup, çoğu kez %100 e yakındır.

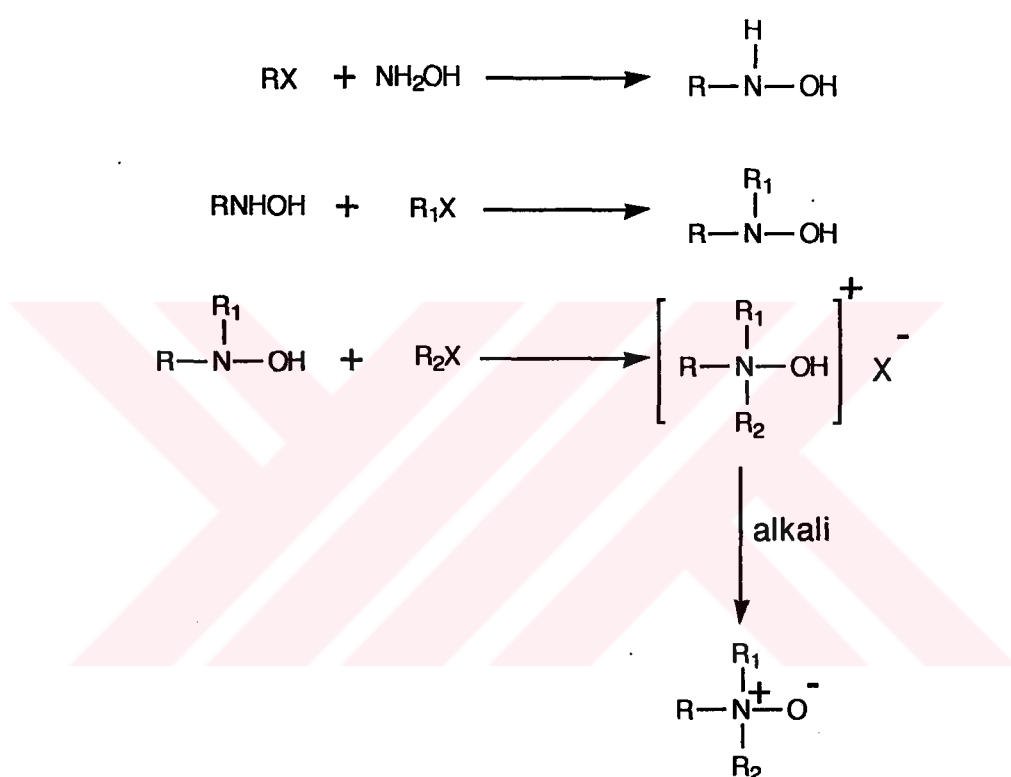
Tersiyer azot taşıyan 1-sübstiyüye-2-metil-1,2,3,4-tetrahidroizokinolinlerin de karşılık gelen N-oksit türevlerine dönüştürülmesi bir tersiyer amin oksidasyonudur. Bu amaçla yukarıda belirtildiği gibi *m*-kloroperbenzoik asit veya  $\text{H}_2\text{O}_2$  kullanılabilir. Bu türevlerde 1 konumunda sübstiyüent olması durumunda, oluşum oranları sterik etkenlere bağlı olmak kaydıyla epimerik N-oksitler yani cis ve trans izomerler kazanılacaktır (Şema 8) (15, 16).



(Şema 8)

## 2. Alkil Halojenürlerle Oksim veya Hidroksilaminlerin Reaksiyonu

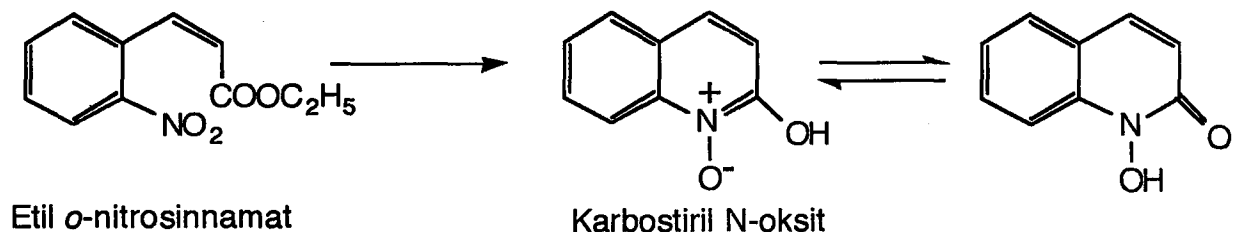
Hidroksilaminin alkil halojenürle tepkimesi, genel amin alkilleme kurallarına uyarak trialkihidroksilamin halojenür verir. Bu bileşigin bir alkali ile muamelesi sonucunda ise tersiyer amin oksit kazanılır (Şema 9).



(Şema 9)

## 3. Aromatik Nitro Bileşiklerinin Redüktif Siklizasyonu

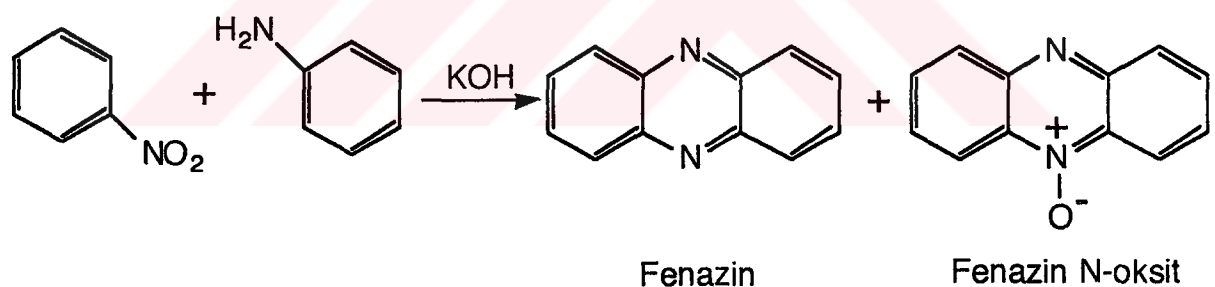
Friedlander ve Ostermaier, etil *o*-nitrosinnamatın amonyum sülfürle yapılan redüksiyonu sonucunda, karbostiril yanısıra karbostiril N-oksit kazanıldığını göstermişlerdir (Şema 10) (17).



(Sema 10)

#### **4. Wohl-Aue Reaksiyonu**

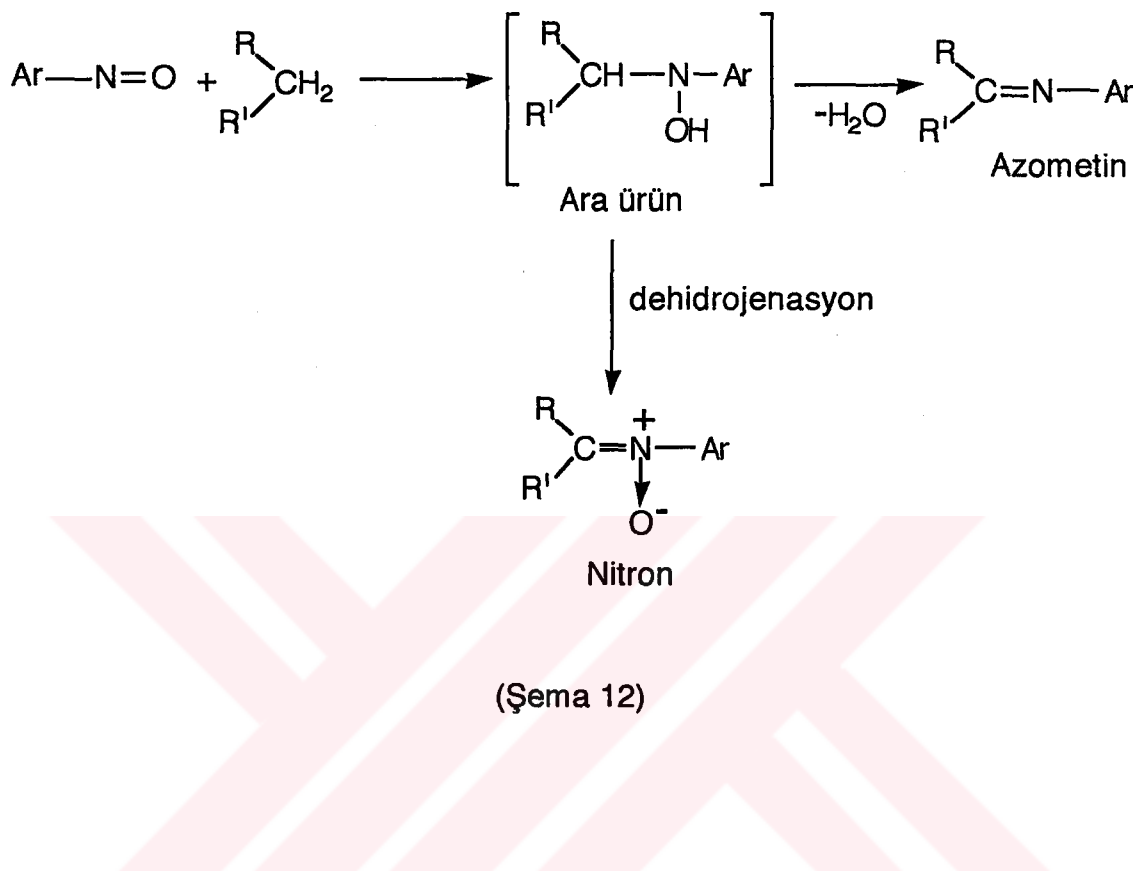
Nitrobenzen ve anilinin toz halinde KOH ile ısıtılması fenazin yanında fenazin N-oksit vermiştir (Şema 11) (18).



(Sema 11)

## **5. Aromatik Nitrozo Bileşiklerinin Aktif Metilen Bileşikleriyle Reaksiyonu**

Aromatik nitrozo bileşikleri aktif metilen bileşikleri ile reaksiyona girdiklerinde ya bir azometin ya da bir nitron verirler (Şema 12).



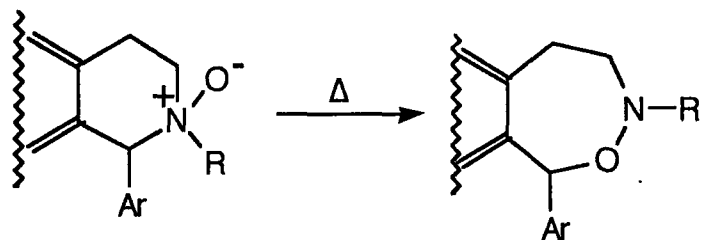
### C. N-Oksitlerin Pirolizi

Genelde N-oksitler 100-200° C arasında pirolize uğrarlar. Piroliz sonucu, aminin cinsine göre farklılık gösterir.

Aromatik ve heterosiklik amine oksitlerin pirolizi sonucu en çok rastlanan ürün, oksijen çıkışıyla kazanılan tersiyer bazlardır. Ancak termal dekompozisyonla N-demetilasyonun da meydana geldiği görülmüştür (19).

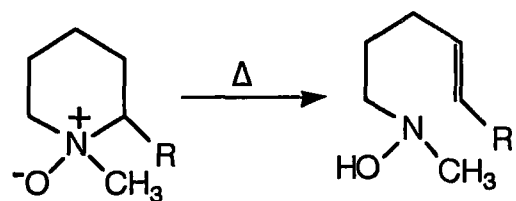
Alifatik tersiyer amine oksitlerin pirolizinde daha çok eliminasyon ya da çevrilme tepkimelarına rastlanır. Örneğin azota göre  $\alpha$ -karbon üzerinde

aromatik bir yapı taşıyan N-oksitler çoğunlukla Meisenheimer tepkimesine girerler ve halka genişlemesi meydana gelir (Şema 14) (20, 21).



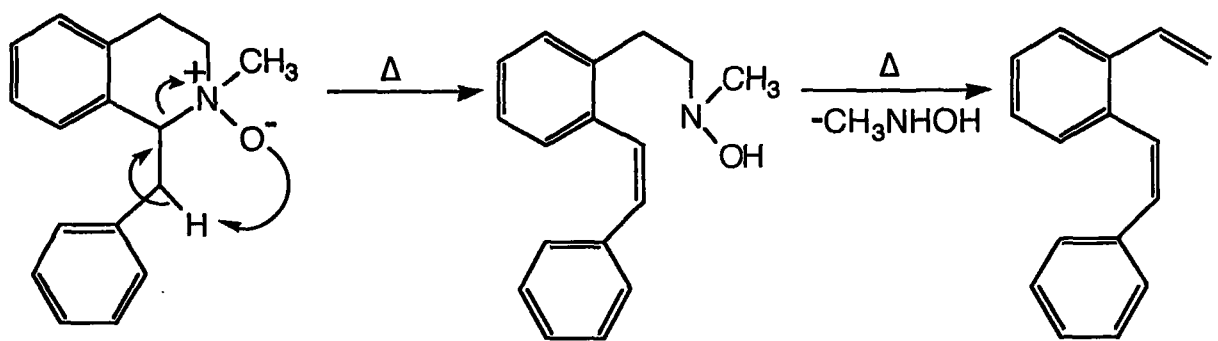
(Şema 14)

Azota göre  $\alpha$ -konumda aromatik bir sübstiyentti taşımayan bazı türevlerin pirolize tamamen dayanıklı olduğu, ne çevrilme ne de eliminasyon ürünü vermediği; diğer bazı türevlerin ise  $\beta$ -eliminasyon ile alken ve sübstiyeye hidrosilamin taşıyan türevlerine dönüştüğü saptanmıştır (Şema 15) (22).



(Şema 15)

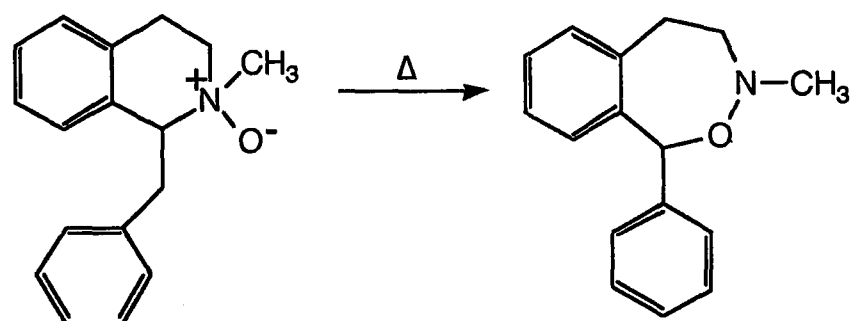
Azota göre  $\alpha$ -konumunda benzil taşıyan türevlerde oluşan stilbenoid yapısı intramoleküller bir saldırıyla açıktır. Bu nedenle daha ileri bir tepkimeyle azotsuz bileşikler kazanılabilir (Şema 16) (23).



(Şema 16)

Bu tepkime, olağan Hofmann degredasyonu ile elde edilemeyen bazı azotsuz bileşiklerin kazanılmasında kullanılmıştır (24).

Azota göre  $\alpha$ -konumda benzil taşıyan tersiyer amin oksitlerde görülen bir diğer tepkime de,  $\alpha$ -karbonun da siklizasyona dahil olmasıyla, hareket maddesi olan halkadan iki üye fazlasını taşıyan yeni bir heterosiklik halkanın oluşmasıdır (Şema 17) (21,25).



(Şema 17)

Bazı çalışmalarda ise tersiyer amin oksitlerin pirolizleri sırasında cereyan eden bazı intramoleküler düzenlemelerle yeni halka sistemlerinin ya da türevlerin kazanıldığı rapor edilmiştir (21).



## DENEYSEL BÖLÜM

### A. MATERİYAL

Sentez çalışmalarında başlangıç maddeleri olan homoveratrilamin hidroklorür ve *p*-metoksifenilasetik asit ile reaksiyonlar sırasında kullanılan reaktifler ( $\text{POCl}_3$ ,  $\text{NaBH}_4$ ,  $\text{CH}_3\text{I}$ ,  $\text{SOCl}_2$ ) ve çözücülerin hepsi *Merck* firmasından sağlanmıştır. Oksidasyon sırasında kullanılan *m*-kloroperbenzoik asit ise *Aldrich* firmasından temin edilmiştir. Çalışmalarda kullanılan çözücülerin hepsi analitik niteliktedir.

### B. METODLAR

#### 1. İnce Tabaka Kromatografisi (İ.T.K.)

Bu yöntem, sentez çalışmalarında elde edilen bileşiklerin saflıklarını kontrol etmek ve kimyasal tepkimeleri takip etmek amacıyla uygulanmıştır. Bu amaç için silika gel 60<sub>F254</sub> ile kaplanmış 0.25 mm kalınlıkta hazır kromatografi

plakları (*Merck*) kullanılmıştır. İnce tabaka kromatografisi çalışmaları oda temperaturunda yapılmış ve developman işlemi kromatografi tanklarının çözücü buharlarıyla doyurulmasından sonra gerçekleştirılmıştır. Bileşiklere ait lekelerin belirlenmesinde 254 nm ve 366 nm dalga boyundaki UV ışığından faydalanyılmıştır. Ayrıca lekelerin tespit edilmesinde Dragendorff belirteci(\*) de kullanılmıştır.

#### (\*) Dragendorff Belirteci (26)

Stok çözelti A : 0.85 g bizmut nitratın 10 ml asetik asit ve 40 ml sudaki çözeltisi.

Stok çözelti B : 8 g potasyum iyodürün 20 ml sudaki çözeltisi.

Kullanımdan önce A ve B stok çözeltilerinden eşit miktarlarda karıştırılmış ve bu karışımın 1 ml sine 2 ml glasyel asetik asit ve 10 ml su ilave edilerek kullanılmıştır.

## **2. Preparatif İnce Tabaka Kromatografisi**

Bu yöntem, kimyasal tepkimeler sonunda elde edilen ham ürünlerin saflaştırılması amacıyla uygulanmıştır. Bunun için silika gel GF<sub>254</sub> ile 0.5 mm kalınlığında kaplanmış 20x20 cm boyutlarında cam plaklar kullanılmıştır. Çözücü sistemi olarak İ.T.K. nde en iyi sonuç veren çözücü sistemleri seçilmiştir. Developman işleminden sonra ayrılan bantlar 254 nm ve 366 nm dalga boyundaki UV ışığı altında işaretlenmiştir. Ayrıca plak boyunca çok ince bir kısma belirteç püskürtülmesi ile Dragendorff belirtecine olumlu yanıt veren bantlar saptanmıştır. İşaretlenen bu bantlar plaktan kazındıktan sonra

CHCl<sub>3</sub>:MeOH (8:2) karışımı ile elüye edilmiştir. Çözücünün rotavaporda alçak basınçta distillenmesi ile saf ürünler elde edilmiştir.

### 3. Spektral Analizler

Sentez çalışmalarında elde edilen ara ürünlerin ve son ürünlerin yapıları IR, UV, NMR ve kütle spektroskopisi yöntemlerinin kullanılmasıyla kanıtlanmıştır.

Bileşiklerin <sup>1</sup>H NMR spektrumları Bruker ARX-300 aletinde CDCl<sub>3</sub> içerisinde alınmıştır. Kimyasal kayma değerleri  $\delta$  skahasında,  $J$  değerleri ise Hz olarak verilmiştir. <sup>13</sup>C NMR ve <sup>13</sup>C NMR-DEPT spektrumları da CDCl<sub>3</sub> içinde Bruker ARX- 300 aletinde alınmıştır (75 Mz). <sup>13</sup>C NMR spektrumundaki piklerin karakterize ettiği karbonların taşıdıkları proton sayısı <sup>13</sup>C NMR-DEPT spektrumlarının değerlendirilmesiyle saptanmıştır.

ZP bileşığının IR spektrumu, analitik saflıktaki KBr(Merck) ile hazırlanan pellet halinde IFS Bruker 48 aletinde alınmıştır.

Kütle spektrumları Finnigan-SSQ-700 ve Finnigan-MAT-90 aletinde alınmıştır. UV spektrumları metanoldeki çözeltileri halinde Shimadzu 160-A spektrofotometresinde alınmıştır.

#### 4. Kimyasal Tepkimeleler

##### a. N-[2-(3,4-Dimetoksifenil)etil]-p-metoksifenilasetamit Sentezi (S-1)

*p*-Metoksifenilasetik asit (5 g, 0.0301 mol) üzerine  $\text{SOCl}_2$  (11.25 ml, 0.1551 mol) ilave edildi. Yağ banyosunda 90°C de 1 saat ısıtıldı. Reaksiyona girmeyen  $\text{SOCl}_2$  ün fazlası alçak basınçta rotavaporda uzaklaştırıldı.

Homoveratrilamin (4.925 g, 0.0271 mol) 19 ml  $\text{CHCl}_3$  da çözüldü ve üzerine %20 lik  $\text{K}_2\text{CO}_3$  çözeltisinden 20 ml ilave edildi. Buzda soğutulan ve karıştırılan bu karışım üzerine, *p*-metoksifenilasetil klorürün 19 ml  $\text{CHCl}_3$  daki çözeltisi damla damla ilave edildi. Reaksiyon karışımı önce yarım saat buz içerisinde, daha sonra 1.5 saat oda temperaturünde karıştırdı. Bu sürenin sonunda sırasıyla 50 ml su, 50 ml doymuş  $\text{Na}_2\text{CO}_3$  çözeltisi ve 50 ml su ile yıkandı. Bu işlem sonunda ayrılan  $\text{CHCl}_3$  lu faz susuz  $\text{Na}_2\text{SO}_4$  ile kurutuldu.  $\text{CHCl}_3$  un alçak basınçta distilasyonundan sonra kalan katı ürün etil asetattan kristallendirildi (verim: 5.11g, %61).

##### S-1 Bileşinin Spektral Bulguları

###### UV (Spektrum No 1)

MeOH

$\lambda_{\text{maks}}$  ( $\log \epsilon$ ): 208 (4.77), 229 (4.74), 278 (4.13) nm.

<sup>1</sup>H NMR (Spektrum No 2)

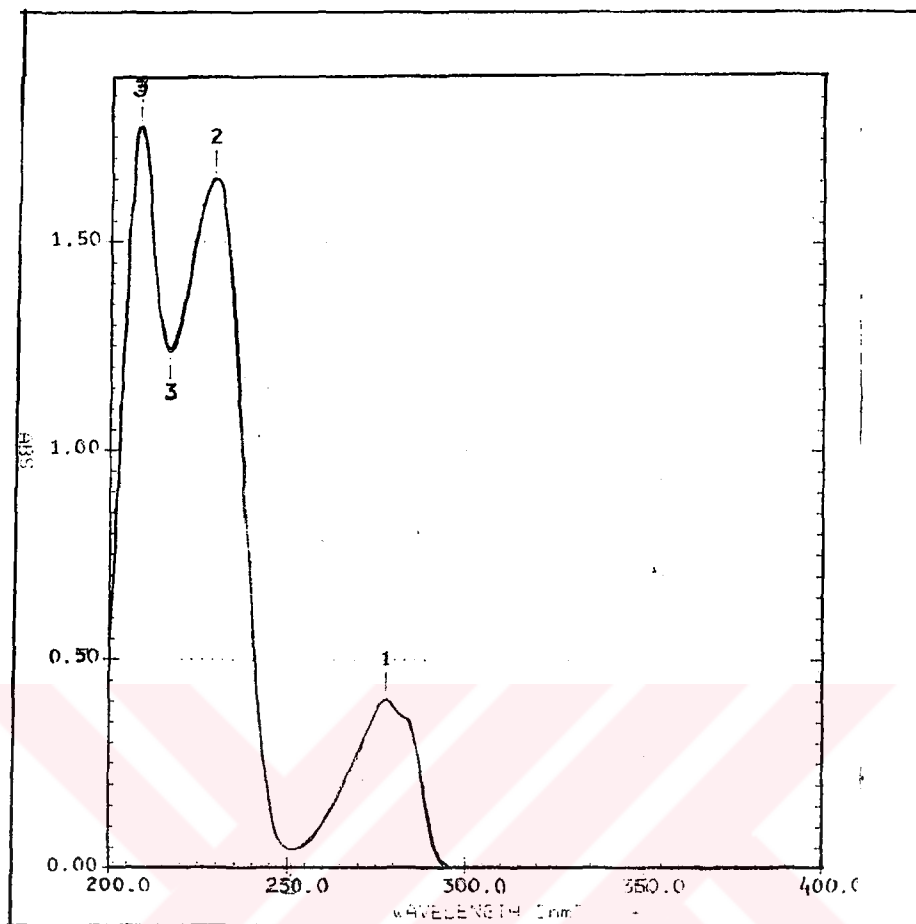
δ 2.67 (2H, *t*, *J*= 6.9, ArCH<sub>2</sub>-)  
3.43 (2H, *t*, *J*= 6.4, -CH<sub>2</sub>NH-)  
3.47 (2H, *s*, -COCH<sub>2</sub>-)  
3.80 (3H, *s*, -OCH<sub>3</sub>)  
3.82 (3H, *s*, -OCH<sub>3</sub>)  
3.86 (3H, *s*, -OCH<sub>3</sub>)  
5.38 (1H, *bs*, -NH-)  
6.55 (1H, *dd*, *J*= 2.0; 8.1, H-6)  
6.61 (1H, *d*, *J*= 1.9, H-2)  
6.72 (1H, *d*, *J*= 8.1, H-5)  
6.83 (2H, *d*, *J*= 8.7, H-3' ve H-5')  
7.07 (2H, *d*, *J*= 8.6, H-2' ve H-6')

<sup>13</sup>C NMR (Spektrum No 3)

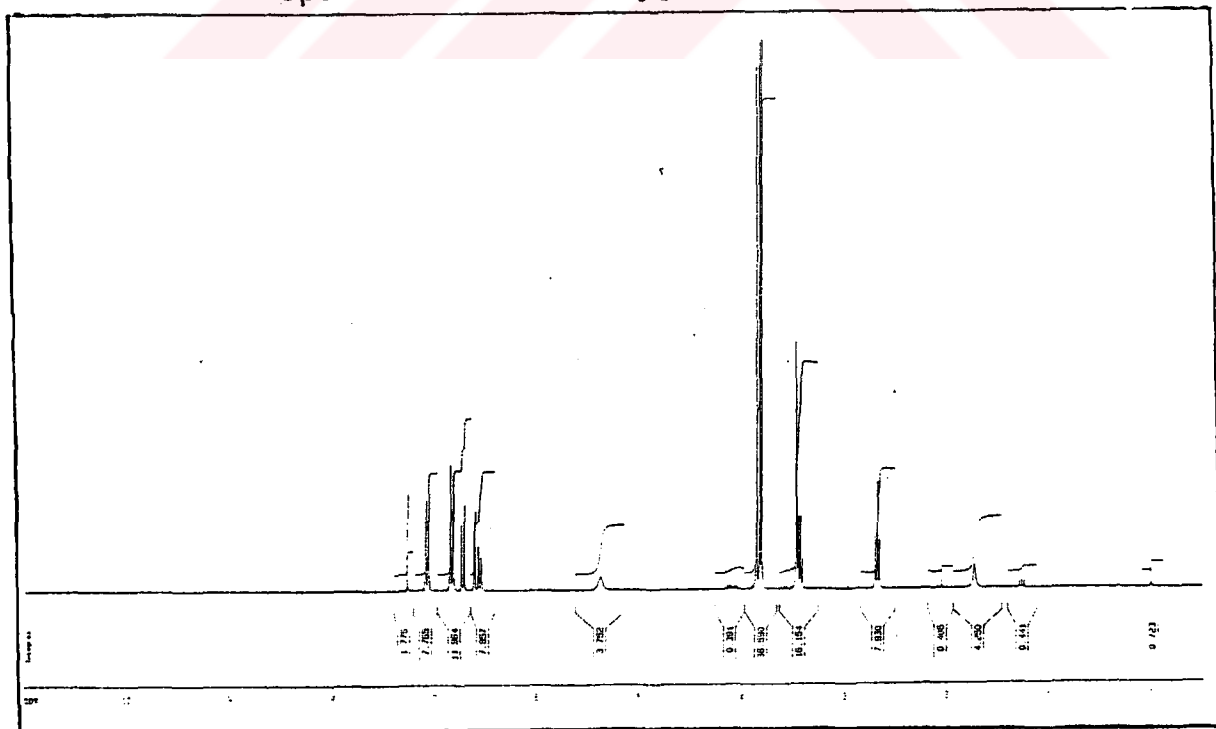
δ 35.89 (t), 41.53 (t), 43.80 (t), 56.11 (q), 56.68 (q), 56.76 (q), 112.18 (d),  
112.67 (d), 115.23 (d), 121.45 (d), 127.57 (s), 131.36 (d), 131.99 (s), 148.52  
(s), 149.90 (s), 159.70 (s), 172.18 (s).

<sup>13</sup>C NMR-DEPT (Spektrum No 4)CIMS (NH<sub>3</sub>) (Spektrum No 5)

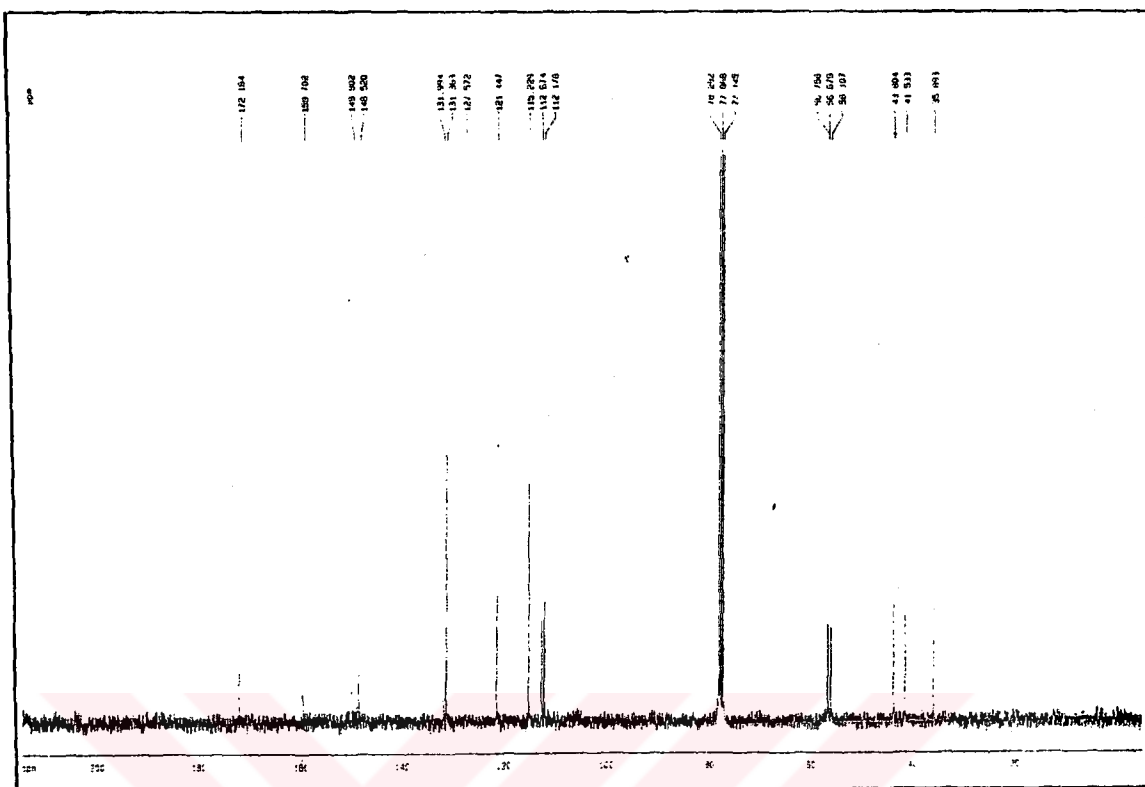
m/z 347 (M+NH<sub>4</sub>), 330 (M+H)



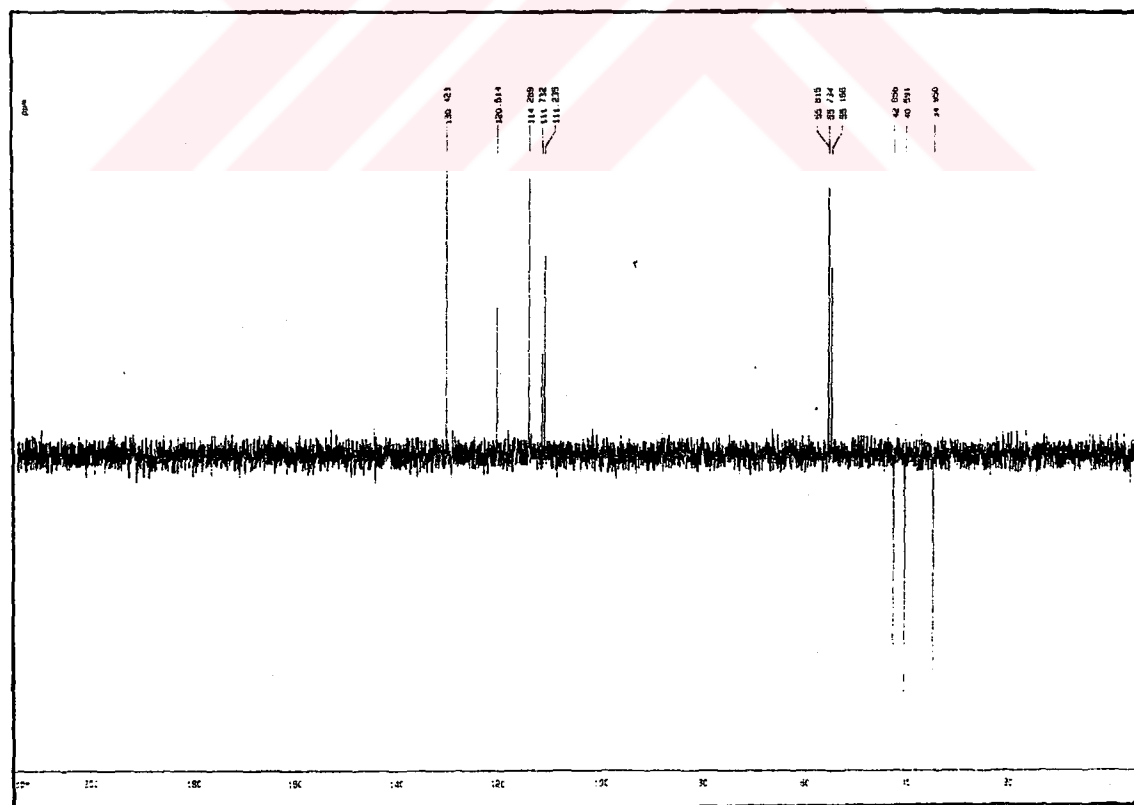
Spektrum No 1. S-1 Bileşığının UV Spektrumu



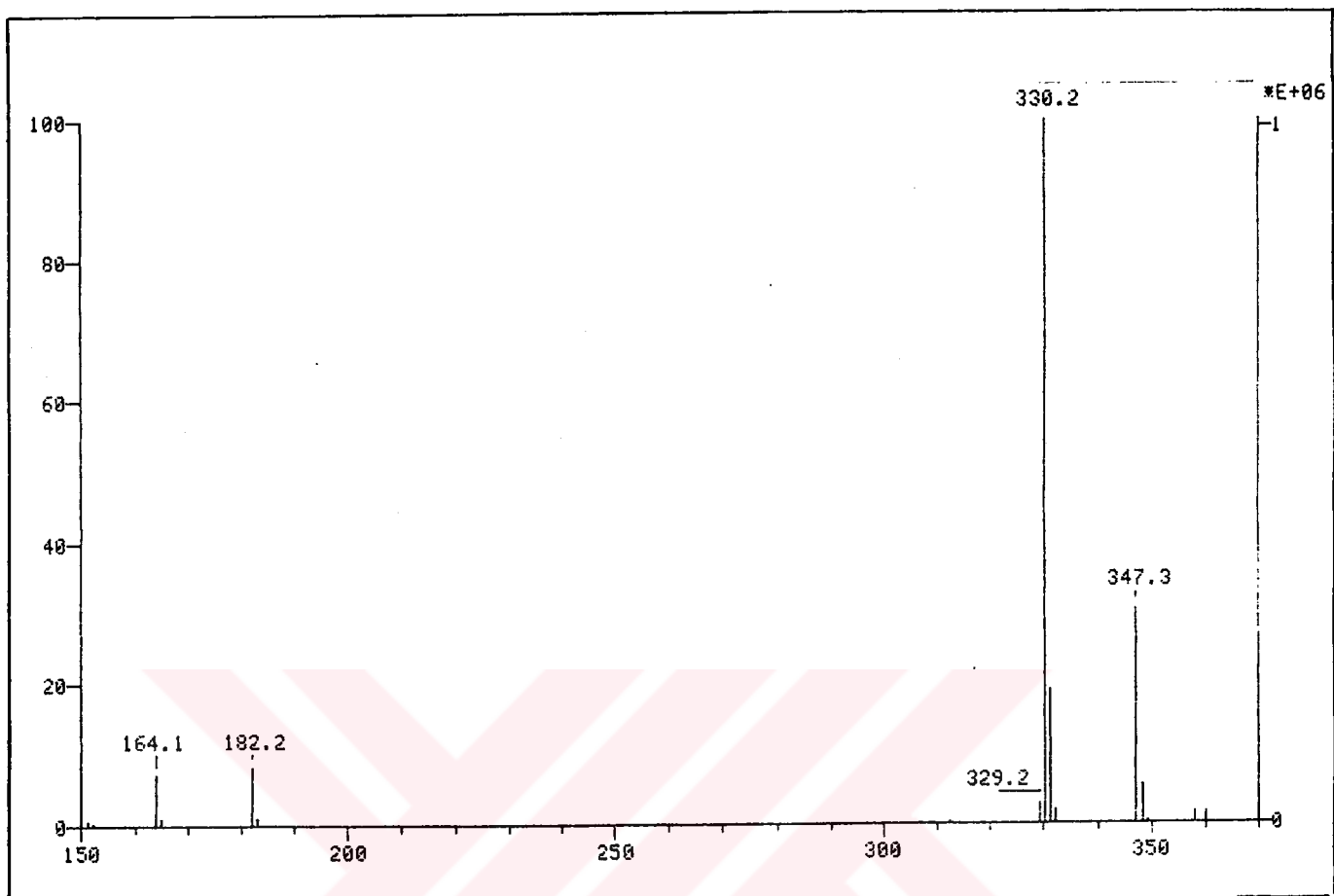
Spektrum No 2. S-1 Bileşığının <sup>1</sup>H NMR Spektrumu



**Spektrum No 3. S-1 Bileşiğinin <sup>13</sup>C NMR Spektrumu**



**Spektrum No 4. S-1 Bileşiğinin <sup>13</sup>C NMR-DEPT Spektrumu**



Spektrum No 5. S-1 Bileşinin CI Kütle Spektrumu

**b. 1-(*p*-Metoksibenzil)-6,7-dimetoksi-3,4-dihidroizokinolinin  
HCl Sentezi (S-2.HCl)**

S-1 bileşiği (3.5 g, 0.0106 mol),  $\text{POCl}_3$ (11 ml, 0.1205 mol) 36 ml  $\text{CH}_3\text{CN}$  içinde,  $80^\circ\text{C}$  lik yağ banyosunda,  $\text{N}_2$  altında ısıtıldı. Reaksiyonun 1 saatte sona erdiği İ.T.K. ile tespit edildi.  $\text{POCl}_3$  ve  $\text{CH}_3\text{CN}$  alçak basınçta distillenerek uzaklaştırıldı. Bakiye üzerine 30 ml %10 luk HCl ilave edildi ve iki defa 100 ml  $\text{CHCl}_3$  ile ekstre edildi. Organik faz susuz  $\text{Na}_2\text{SO}_4$  ile kurutuldu ve çözücü alçak basınçta uçuruldu. Kalan artık asetondan kristallendirildi (S-2.HCl )(verim: 3.01g, %89).

### **S-2. HCl Bileşığının Spektral Bulguları**

#### **UV (Spektrum No 6)**

MeOH

$\lambda_{\text{maks}}$  (log ε) 205 (4.37), 226 (4.35), 276 (3.30), 308 (3.13) nm.

#### **$^1\text{H}$ NMR(Spektrum No 7)**

- δ 3.01 (2H, t,  $J= 8.1$ , H-4)
- 3.75 (3H, s, -OCH<sub>3</sub>)
- 3.84 (3H, s, -OCH<sub>3</sub>)
- 3.93 (2H, m, H-3)
- 3.96 (3H, s, -OCH<sub>3</sub>)
- 4.60 (2H, s, H-α)
- 6.77 (1H, s, H-8)
- 6.83 (2H, d,  $J= 8.8$ , H-3' ve H-5')
- 7.29 (1H, s, H-5)
- 7.36 (2H, d,  $J= 8.8$ , H-2' ve H-6')

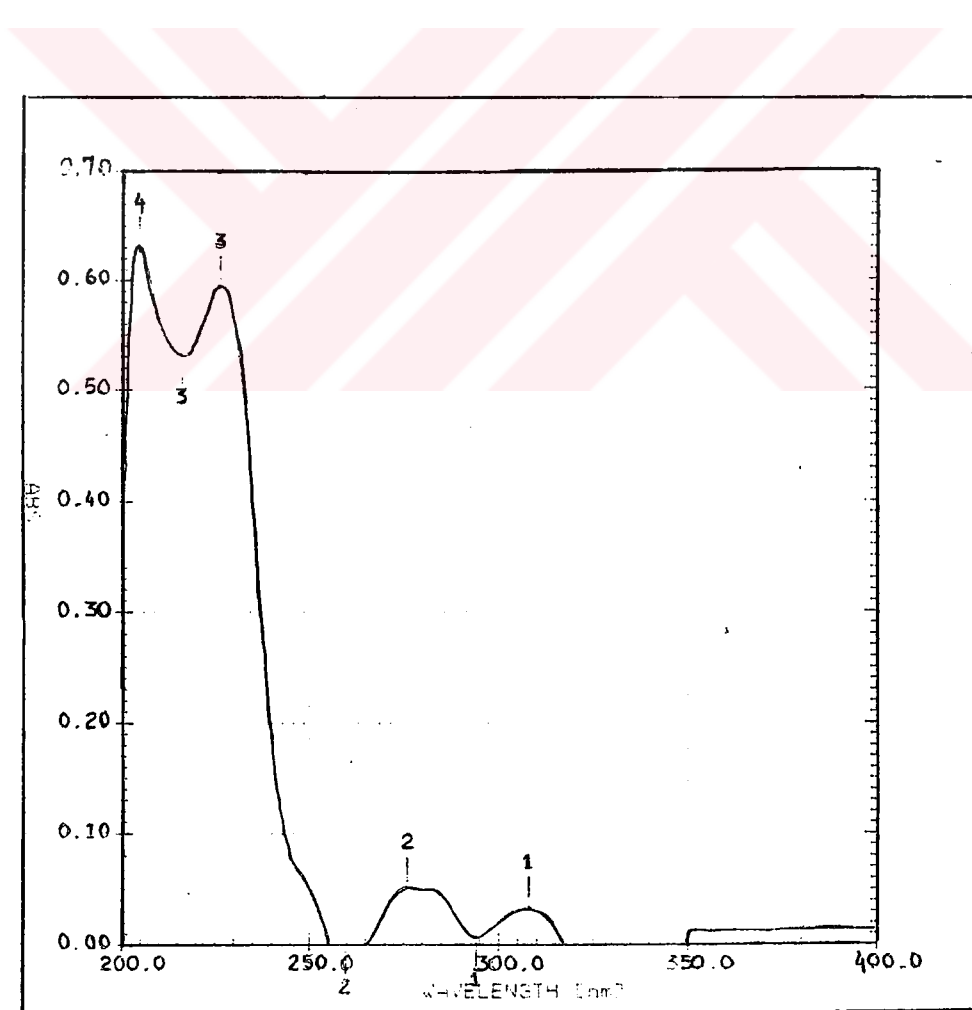
#### **$^{13}\text{C}$ NMR (Spektrum No 8)**

- δ 25.27 (t), 37.67 (t), 40.73 (t), 55.19 (q), 56.25 (q), 56.44 (q), 110.84 (d), 112.19 (d), 114.68 (d), 117.14 (s), 125.33 (s), 130.01 (d), 133.79 (s), 148.50 (s), 156.02 (s), 159.13 (s), 174.35 (s).

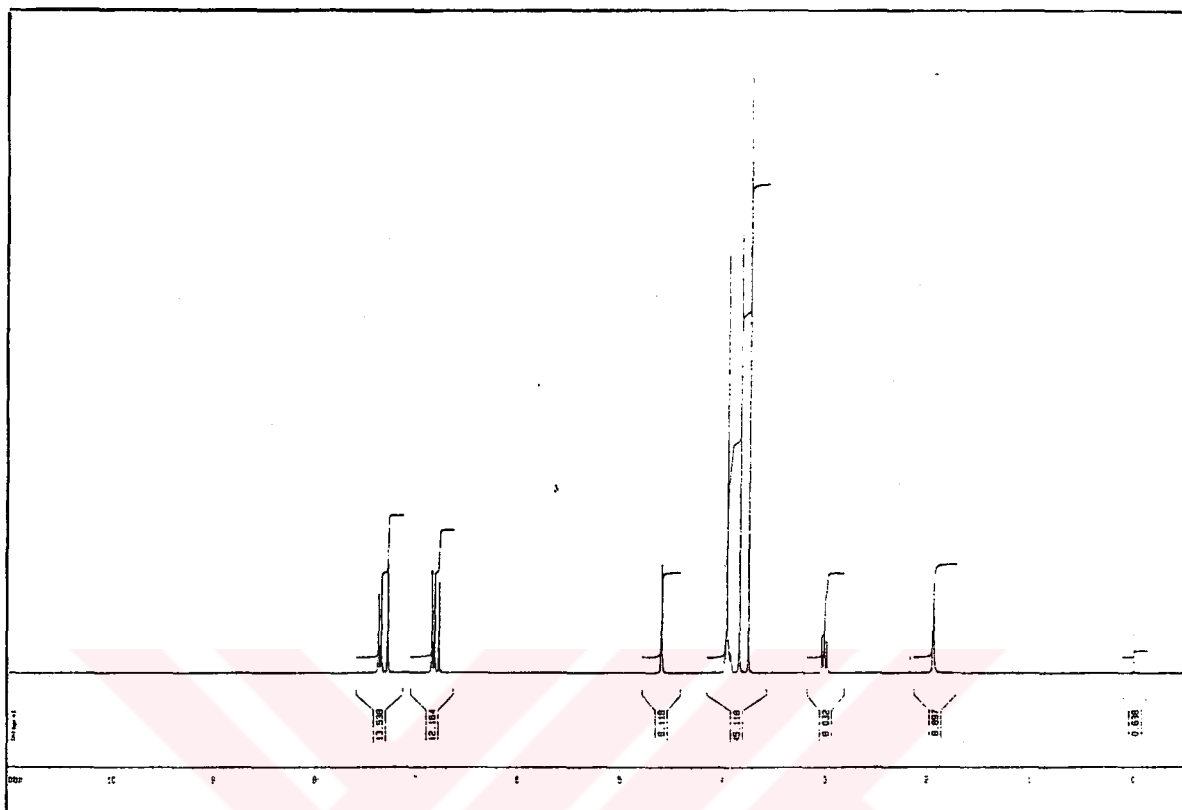
#### **$^{13}\text{C}$ NMR-DEPT (Spektrum No 9)**

CIMS ( $\text{NH}_3$ ) (Spektrum No 10)

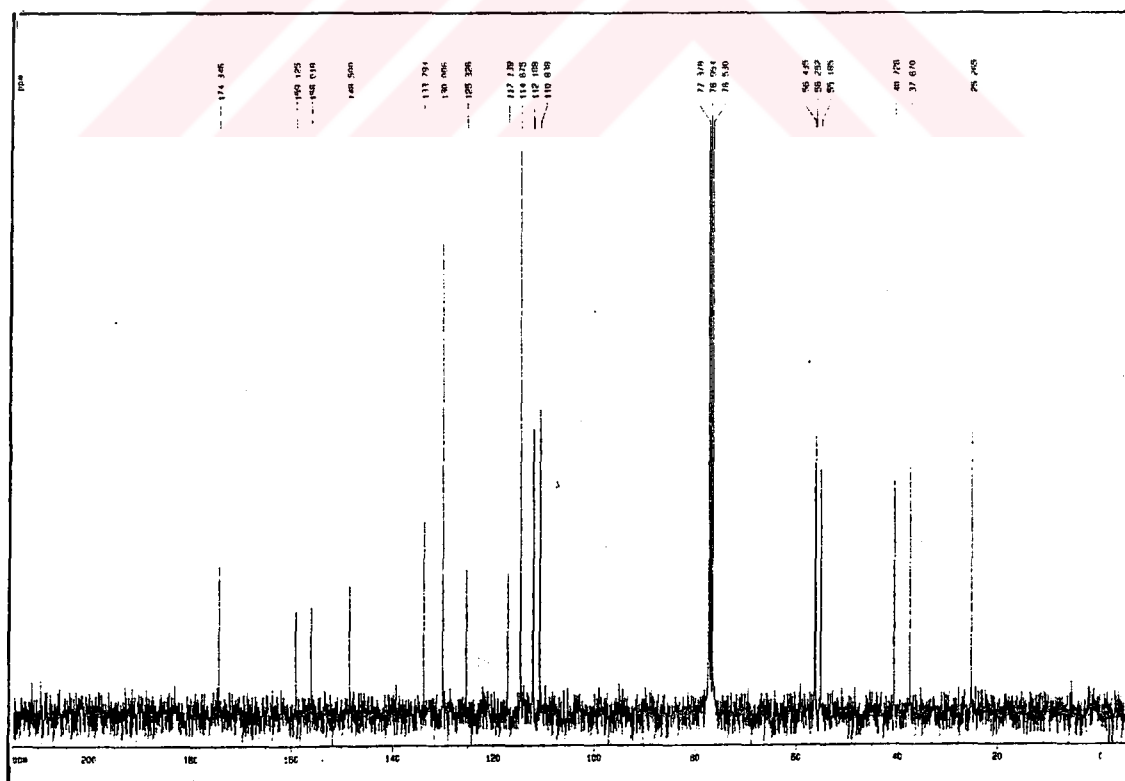
m/z 312 (M+H)



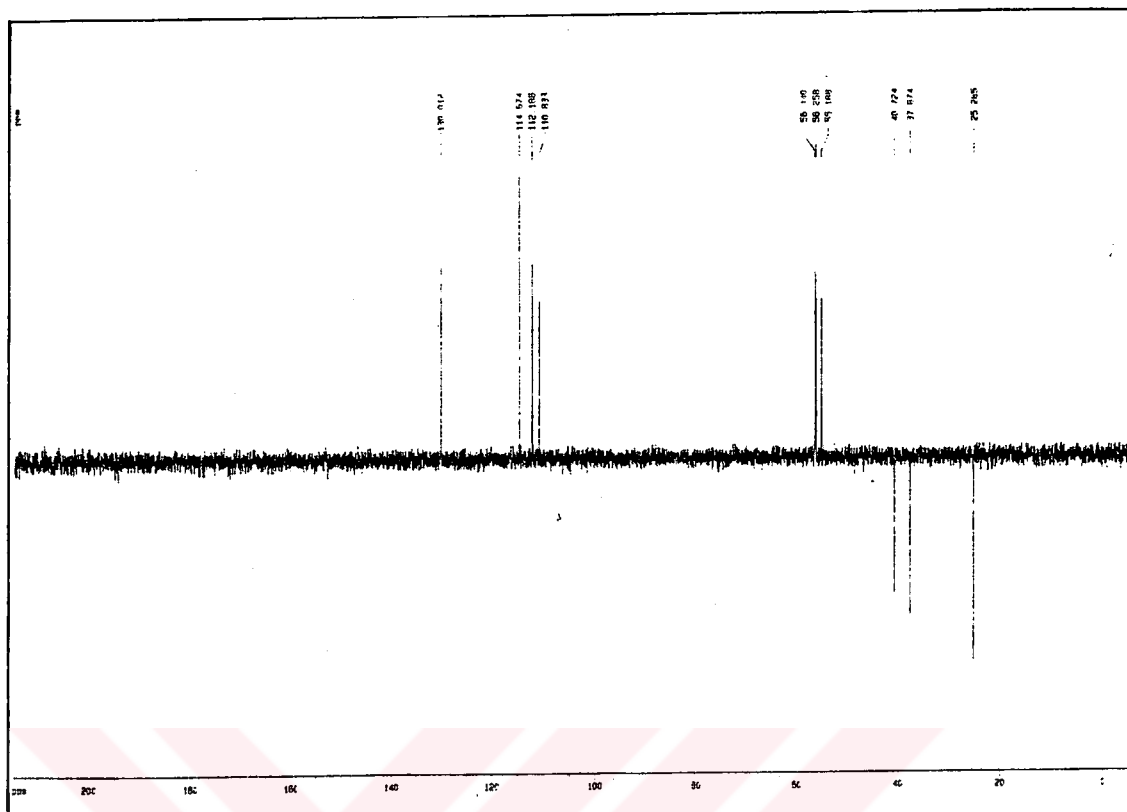
Spektrum No 6. S-2.HCl Bileşığının UV Spektrumu



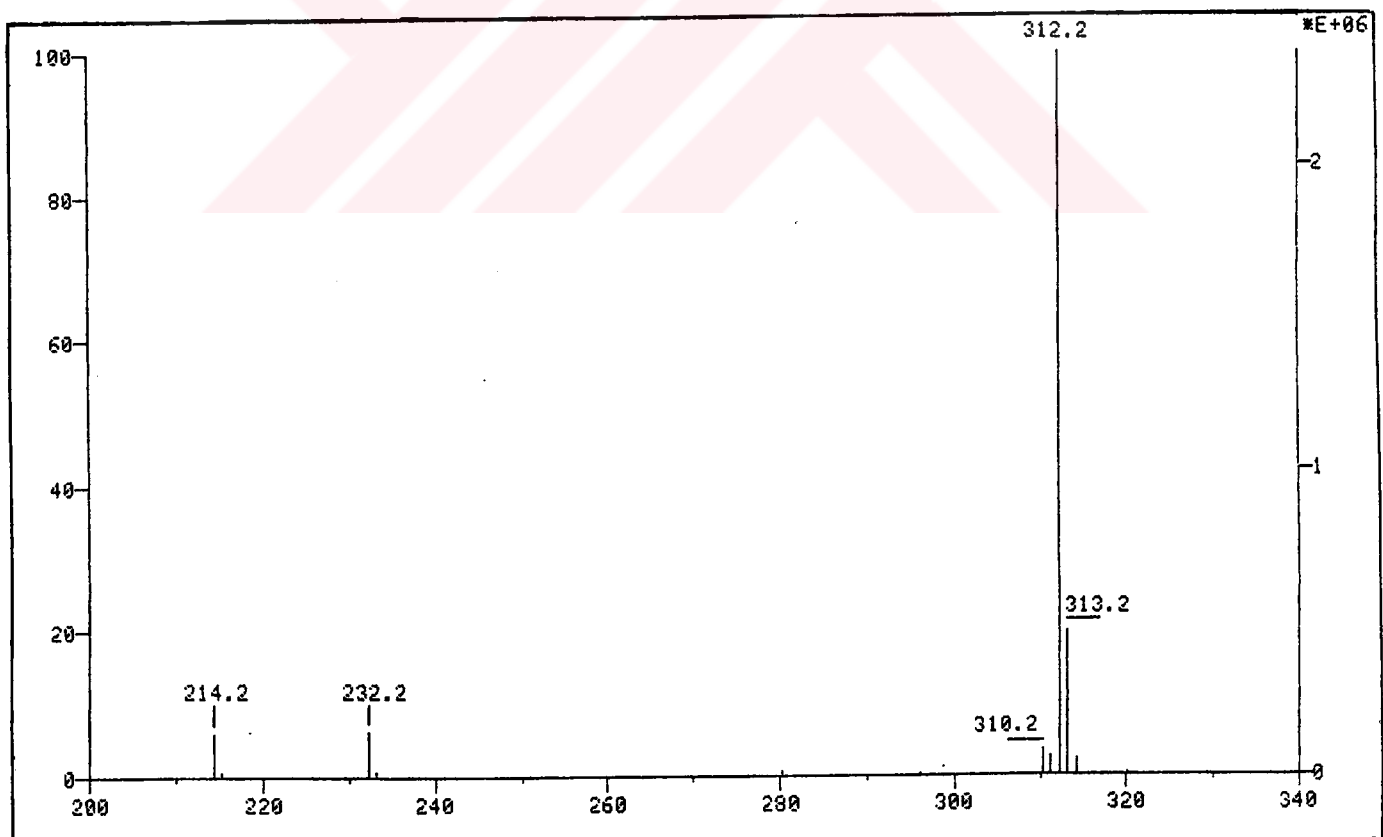
**Spektrum No 7. S-2 HCl Bileşığının  $^1\text{H}$  NMR Spektrumu**



**Spektrum No 8. S-2 HCl Bileşığının  $^{13}\text{C}$  NMR Spektrumu**



Spektrum No 9. S-2 HCl Bileşününin <sup>13</sup>C NMR-DEPT Spektrumu



Spektrum No 10. S-2 HCl Bileşününin Cl Kütle Spektrumu

**c. 2-Metil-1-(*p*-metoksibenzil)-6,7-dimetoksi-1,2,3,4-tetrahidroizokinolin Sentezi (S-3)**

S-2 baz (1.28 g, 0.0041 mol), 15 ml asetonda çözüldü. Üzerine  $\text{CH}_3\text{I}$  (3 ml, 0.046 mol) ilave edilerek, yağ banyosunda geri çeviren sogutucu altında, manyetik karıştırıcı ile karıştırılarak ısıtıldı. Sıcaklığın  $80^\circ\text{C}$  nin üzerine çıkmamasına dikkat edildi. İ.T.K. ile takip edilerek başlangıç maddesi kalmayınca kadar reaksiyona devam edildi. İ.T.K. incelemelerinde katerner ürün yanı sıra bir de yan ürünün olduğu görüldü. Çökmüş halde bulunan bu yan ürün süzülerek ortamdan uzaklaştırıldı (ZP). Süzüntü,  $\text{CHl}_3$  ün fazlasından ve asetondan kurtarılmak üzere alçak basınçta distillendi. Bu işlemden sonra kalan artık metanolde süspanse hale getirildi. Bu süspansiyona oda ısısında manyetik karıştırıcı ile karıştırılmak suretiyle ve redüksyonun tamamlandığı İ.T.K. ile saptanıncaya kadar küçük porsiyonlar halinde  $\text{NaBH}_4$  ilave edildi. Redüksyonun tamamlanmasından sonra reaksiyon karışımı, 1 saat daha manyetik karıştırıcı ile karıştırılmaya devam edildi. Daha sonra ortam 2N HCl ile asitlendirildi, metanol alçak basınçta uçuruldu. Elde edilen yağımış ürünün, (1.06 g, %79) değişik çözücülerle yapılan kristallendirme çalışmalarında başarı sağlanamadı. Bu ham ürün ile bir sonraki sentez basamağına geçilmesine karşılık, spektral analizler için ham ürünün küçük bir kısmı preparatif İ.T.K. yöntemiyle saflaştırıldı [çözücü sistemi: $\text{C}_6\text{H}_6:\text{CHCl}_3:\text{MeOH}$  (4:4:0.5; tank  $\text{NH}_3$  buharlarıyla doyurulmuştur)].

**S-3 Bileşinin Spektral Bulguları****UV (Spektrum No 11)**

MeOH

 $\lambda_{\text{maks}}$  (log ε) 208 (3.97), 280 (2.97), 284 (2.97) nm. **$^1\text{H}$  NMR (Spektrum No 12)** $\delta$  2.55 (3H, s, N-CH<sub>3</sub>)2.59-2.65 (1H, m, -CH<sub>2</sub>)2.73-2.85 (3H, m, -CH<sub>2</sub>)3.16-3.30 (2H, m, -CH<sub>2</sub>)3.55 (3H, s, -OCH<sub>3</sub>)3.70 (1H, dd,  $J= 5.0; 8.0$ , H-1)3.77 (3H, s, -OCH<sub>3</sub>)3.84 (3H, s, -OCH<sub>3</sub>)

5.99 (1H, s, H-8)

6.56 (1H, s, H-5)

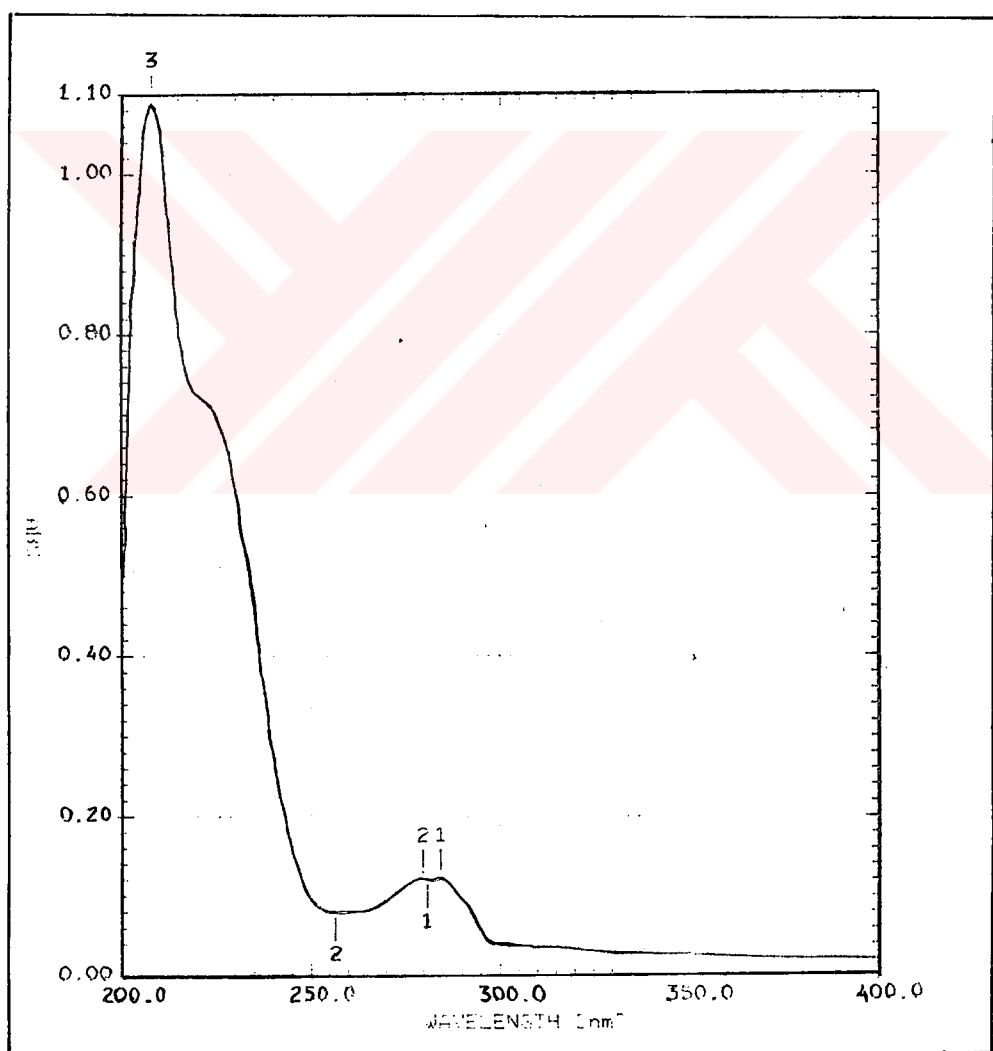
6.90 (2H, d,  $J= 8.6$ , H-3' ve H-5')7.01 (2H, d,  $J= 8.6$ , H-2' ve H-6') **$^{13}\text{C}$  NMR (Spektrum No 13)**

$\delta$  25.17 (t), 40.26 (t), 42.40 (q), 46.62 (t), 55.17 (q), 55.40 (q), 55.67 (q), 64.88 (d), 111.01 (d), 111.07 (d), 113.52 (d), 125.50 (s), 128.74 (s), 130.66 (d), 131.69 (s), 146.23 (s), 147.25 (s), 157.92 (s).

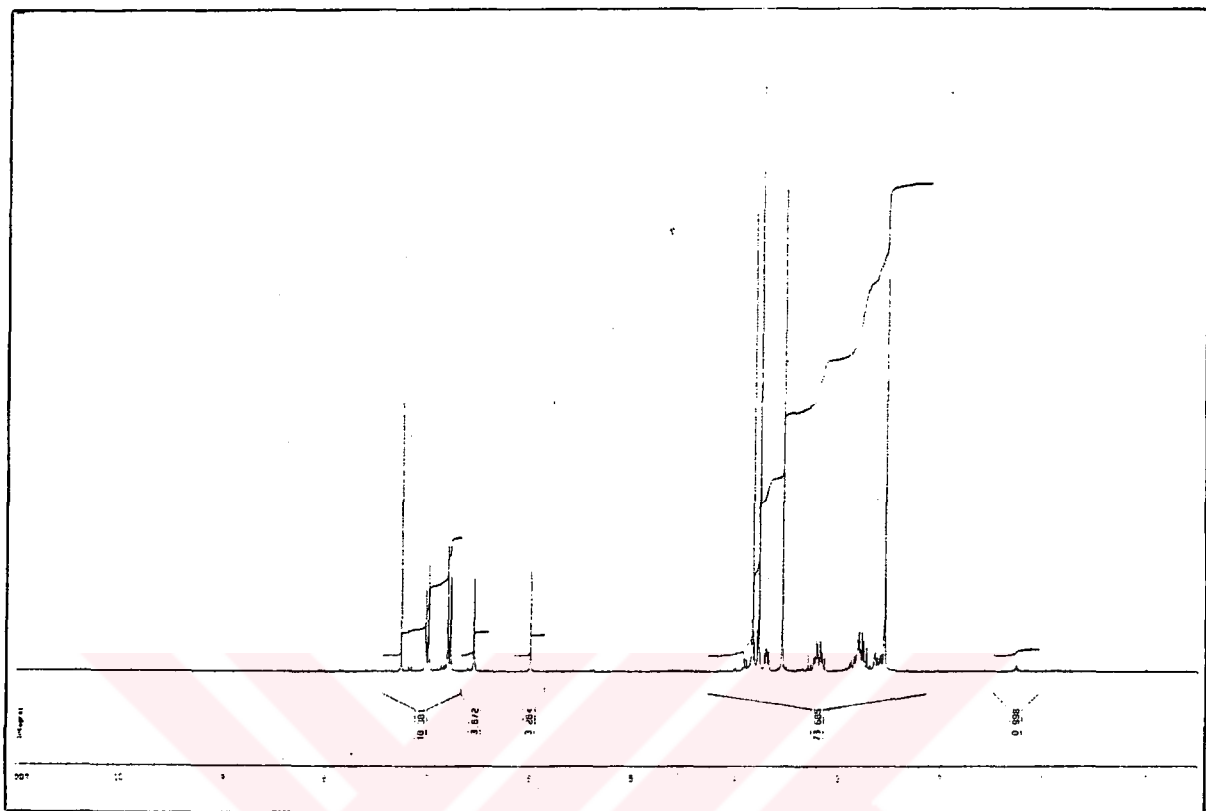
$^{13}\text{C}$  NMR-DEPT (Spektrum No 14)

CIMS ( $\text{NH}_3$ ) (Spektrum No 15)

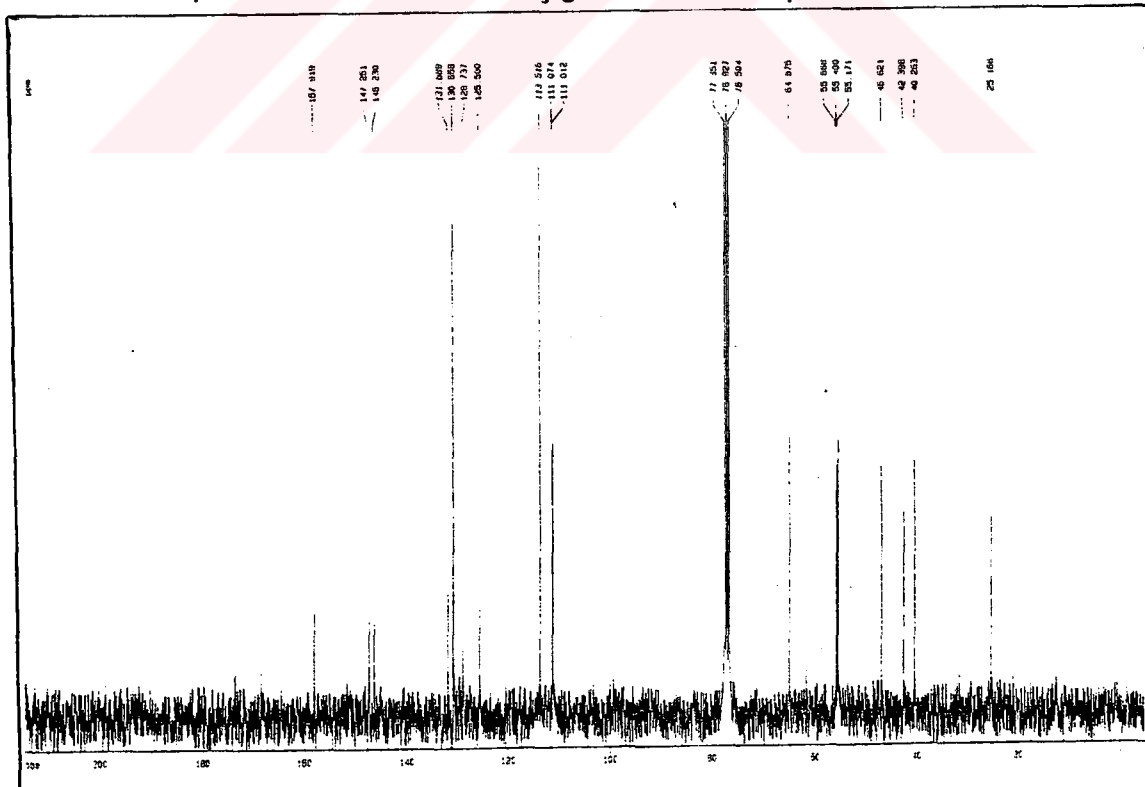
m/z 328 (M+H)



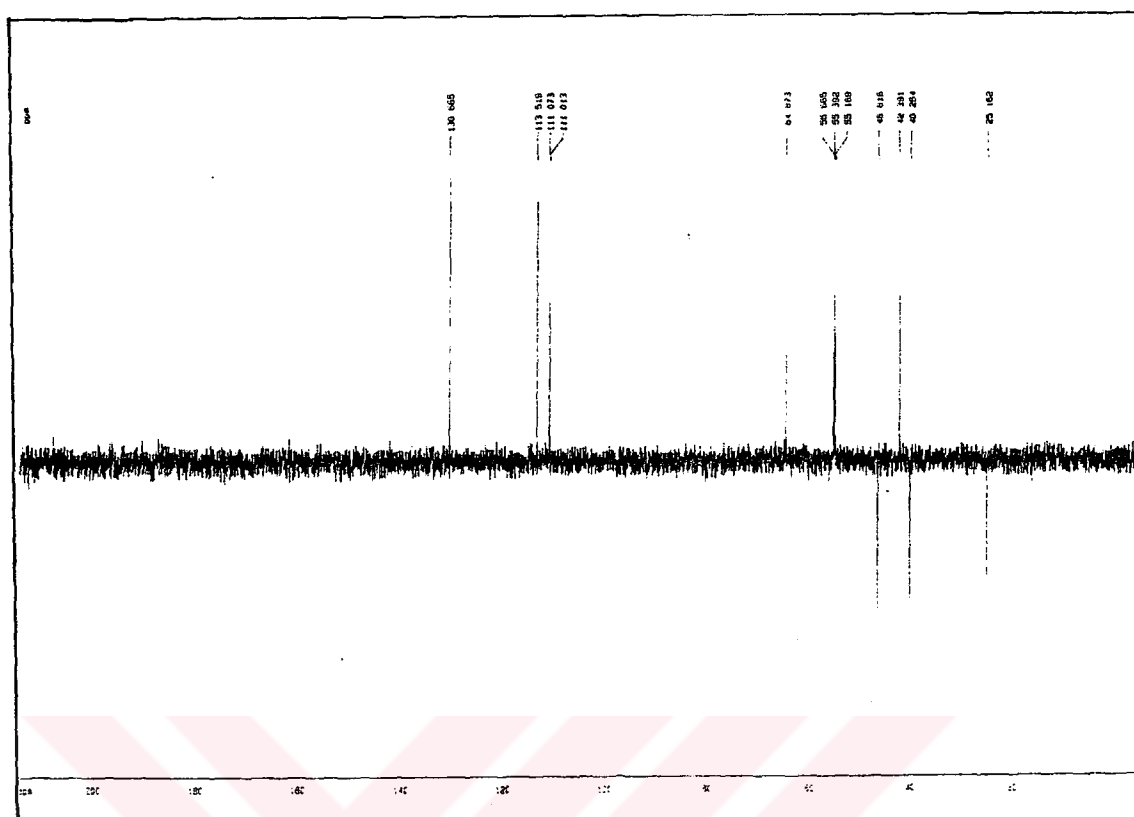
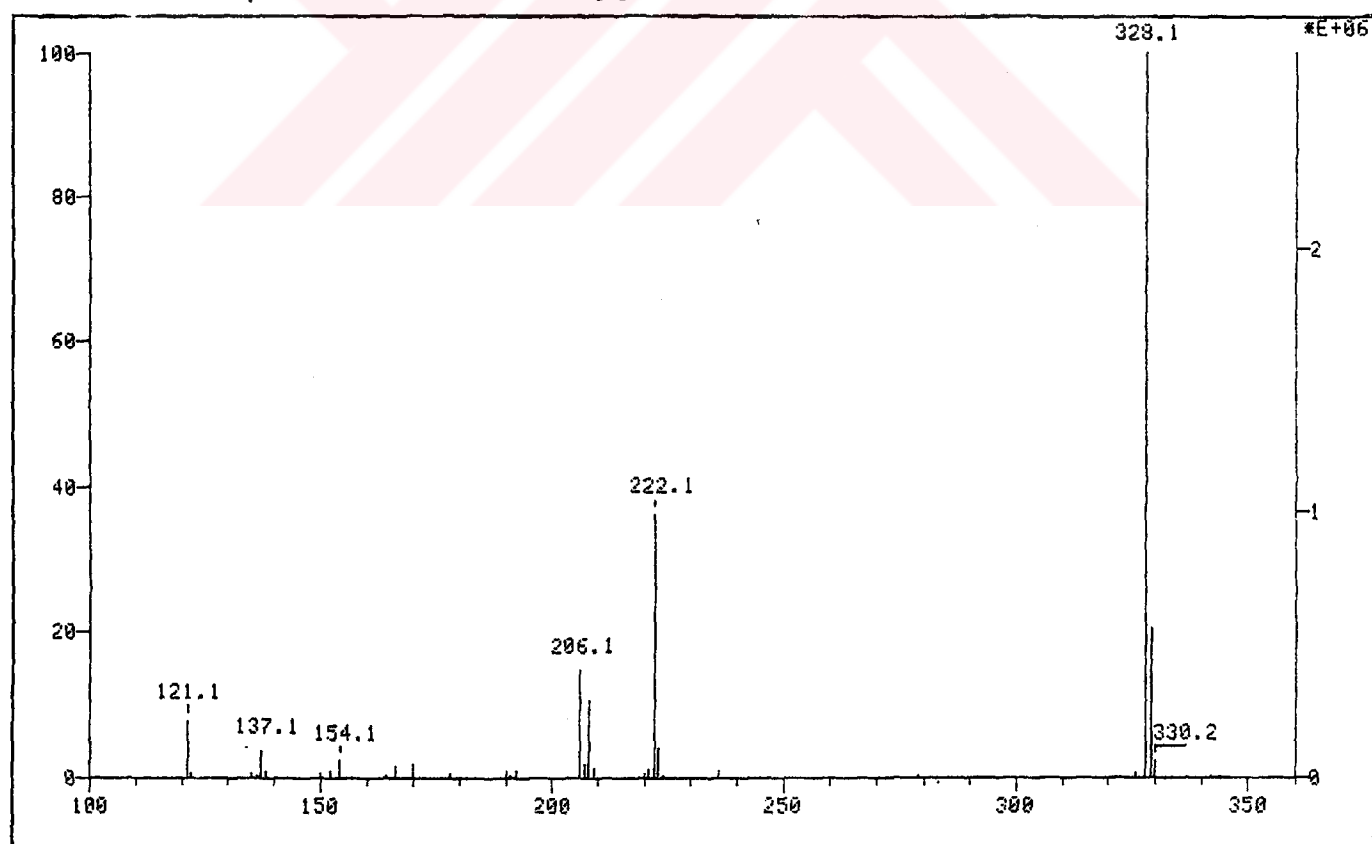
Spektrum No 11. S-3 Bileşininin UV Spektrumu



#### **Spektrum No 12. S-3 Bileşığının $^1\text{H}$ NMR Spektrumu**



### Spektrum No 13. S-3 Bileşinin $^{13}\text{C}$ NMR Spektrumu

Spektrum No 14. S-3 Bileşününin  $^{13}\text{C}$  NMR-DEPT Spektrumu

Spektrum No 15. S-3 Bileşününin CI Kütle Spektrumu

## ZP Yan Ürününün Spektral Bulguları

### IR (Spektrum No 16)

KBr

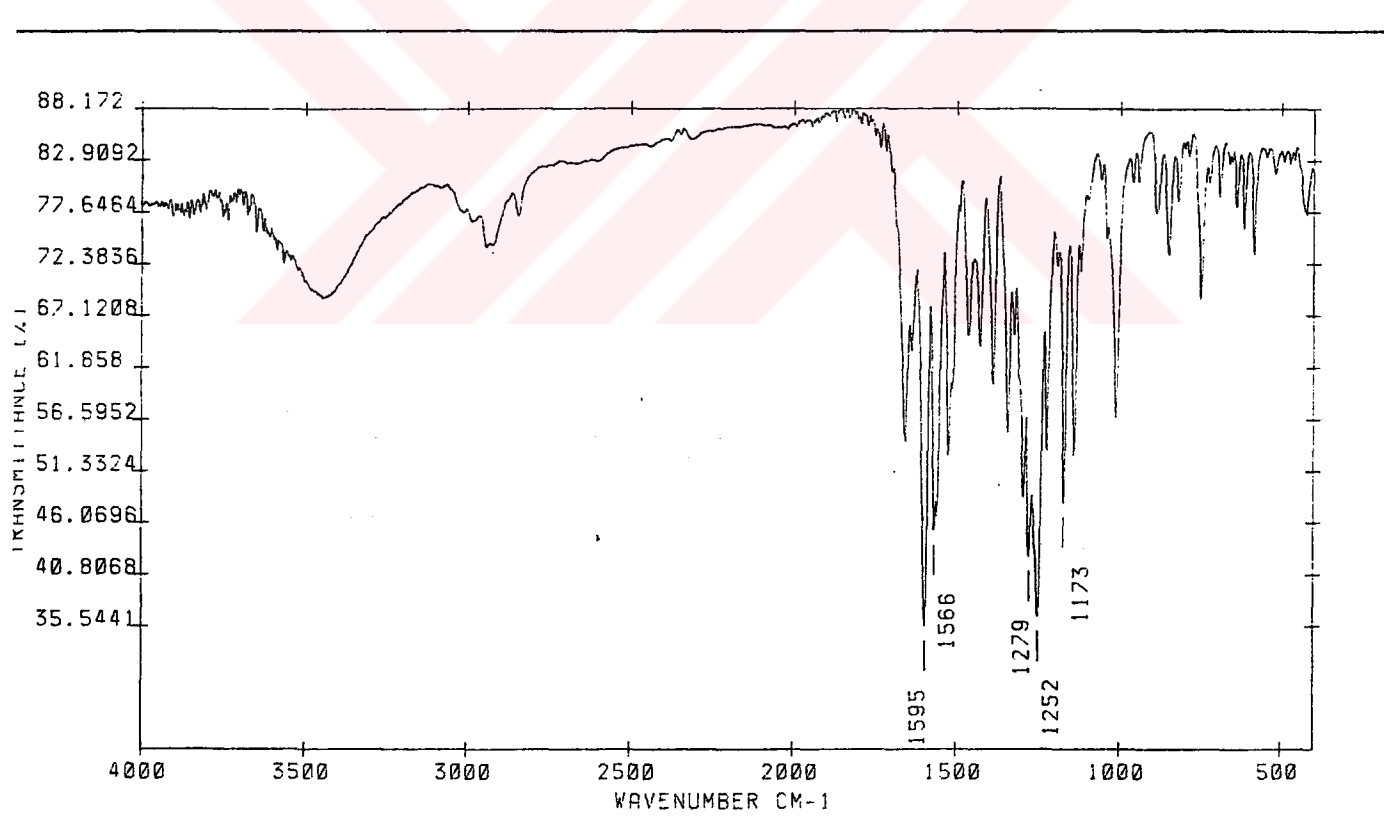
$\nu_{\text{maks}}$  3446, 1654, 1635, 1595, 1566, 1558, 1523, 1463, 1427, 1386, 1342, 1323, 1294, 1278, 1251, 1224, 1172, 1141  $\text{cm}^{-1}$ .

### $^1\text{H}$ NMR (Spektrum No 17)

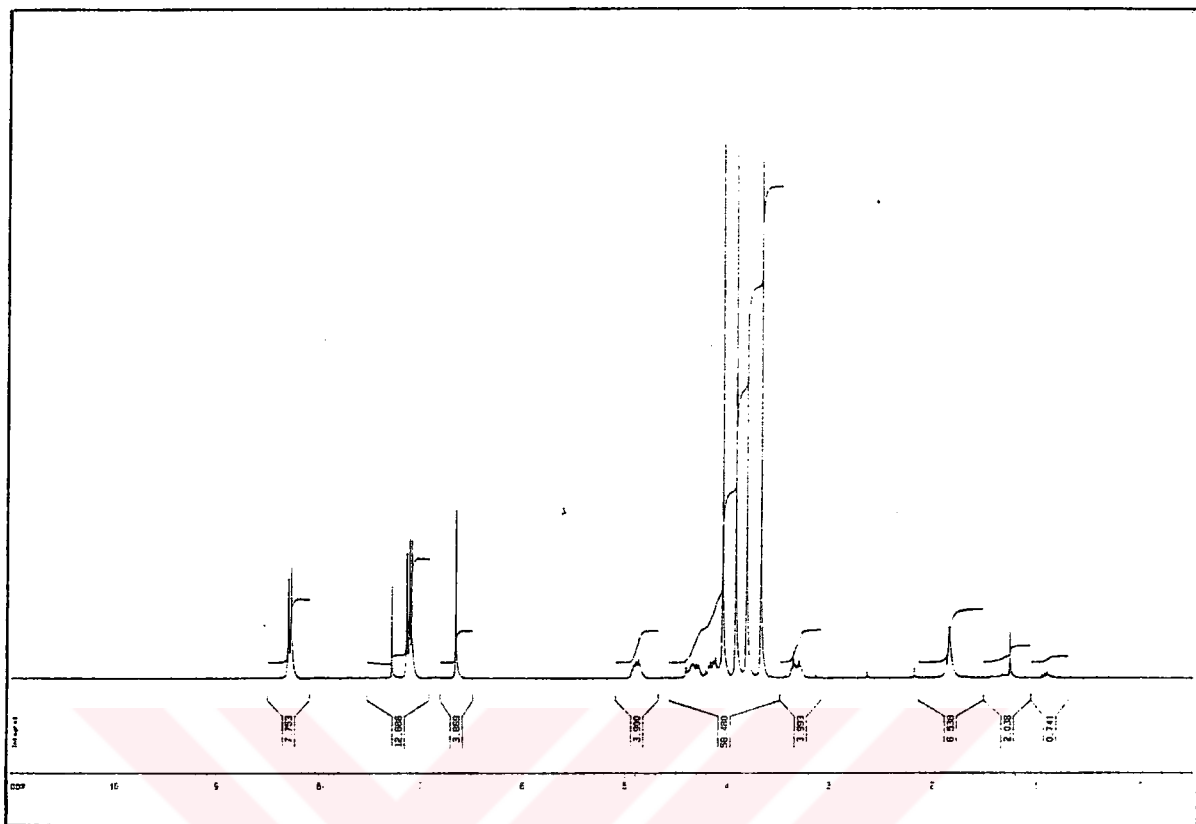
- $\delta$  3.25-3.39 (1H, *m*, -CH<sub>2</sub>)
- 3.68 (3H, *s*, N-CH<sub>3</sub>)
- 3.82 (3H, *s*, -OCH<sub>3</sub>)
- 3.93 (3H, *s*, -OCH<sub>3</sub>)
- 4.05 (3H, *s*, -OCH<sub>3</sub>)
- 4.12-4.19 (1H, *m*, -CH<sub>2</sub>)
- 4.27-4.42 (1H, *m*, -CH<sub>2</sub>)
- 4.86-4.98 (1H, *m*, -CH<sub>2</sub>)
- 6.66 (1H, *s*, H-8)
- 7.10 (1H, *s*, H-5)
- 7.13 (2H, *d*, *J*= 9.2, H-3' ve H-5')
- 8.29 (2H, *d*, *J*= 8.9, H-2' ve H-6')

**<sup>13</sup>C NMR (Spektrum No 18)**

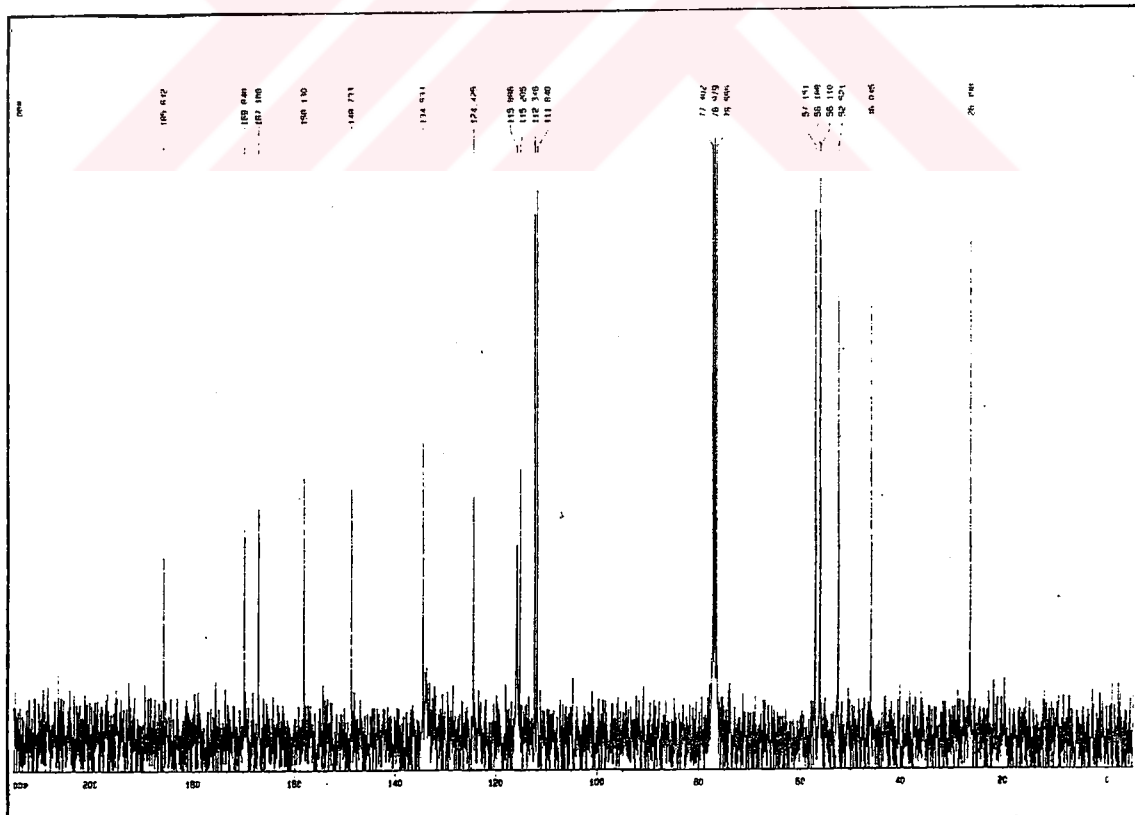
$\delta$  26.40 (t), 46.05 (q), 52.52 (t), 56.11 (q), 56.19 (q), 57.15 (q), 111.84 (d), 112.35 (d), 115.21 (s), 115.89 (d), 124.43 (q), 134.53 (s), 148.73 (s), 158.13 (s), 167.10 (s), 169.84 (s), 185.64 (s).

**<sup>13</sup>C NMR-DEPT (Spektrum No 19)**

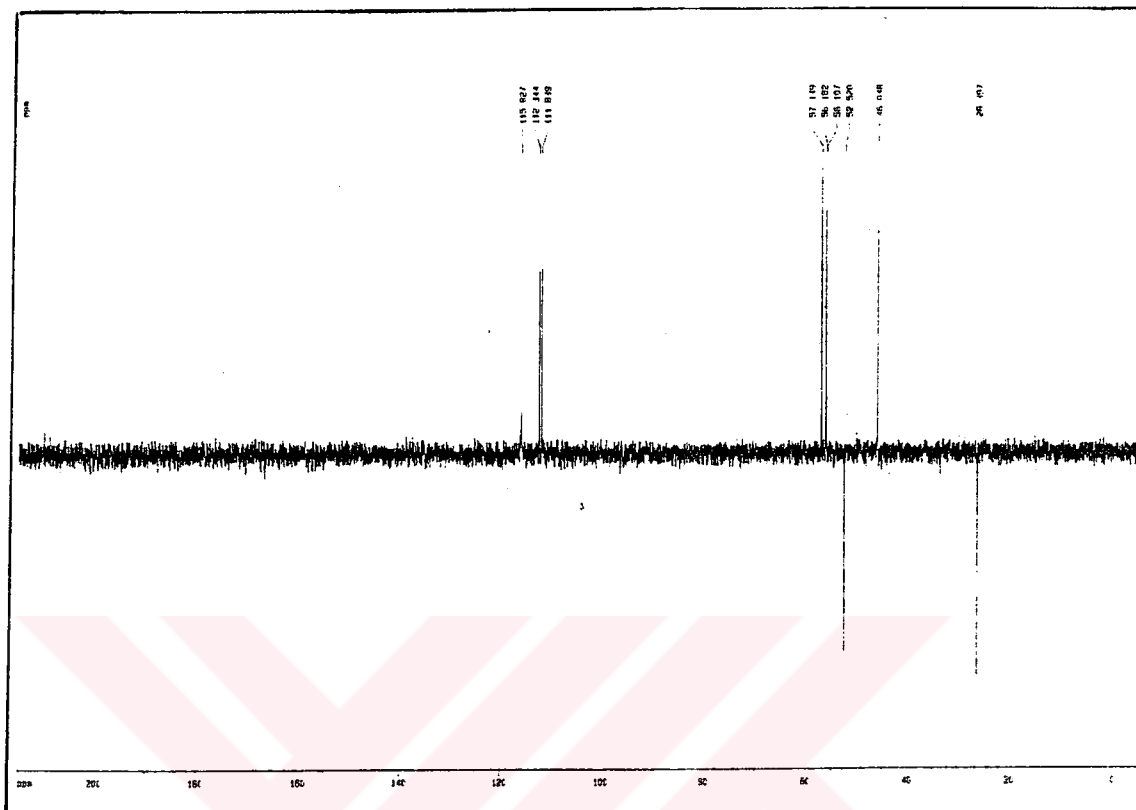
Spektrum No 16. ZP Bileşiginin IR Spektrumu



## Spektrum No 17. ZP Bileşığının $^1\text{H}$ NMR Spektrumu



### **Spektrum No 18. ZP Bileşinin $^{13}\text{C}$ NMR Spektrumu**



Spektrum No 19. ZP Bileşığının  $^{13}\text{C}$  NMR-DEPT Spektrumu

**d. 2-Metil-1-(*p*-metoksibenzil)-6,7-dimetoksi-1,2,3,4-tetrahidroizokinolin-N-oksit Sentezi (S-4)**

S-3 bileşiği (3.27 g, 0.01 mol) 10 ml  $\text{CHCl}_3$  da çözüldü. Çözelti tuz-buz karışımında soğutuldu. Manyetik karıştırıcı ile karıştırılmak suretiyle, üzerine *m*-kloroperbenzoik asitin (3.22 g, 0.0150 mol) 10 ml  $\text{CHCl}_3$  daki çözeltisi, ayırma hunisi yardımıyla, 30 dakikada damla damla ilave edildi. *m*-Kloroperbenzoik asit ilavesi tamamlandıktan sonra, karıştırma ve soğutma işlemine 1.5 saat daha devam edildi. Reaksiyonun bittiği İ.T.K. kontrolleri ile

tespit edildi. Çözelti 3 kez 60 ml %10 luk NaHCO<sub>3</sub> çözeltisi ile, daha sonra da 1 kez 20 ml su ile yıkandı. CHCl<sub>3</sub> lu faz susuz Na<sub>2</sub>SO<sub>4</sub> ile kurutuldu ve alçak basınçta distillendi. Bir sonraki basamağa bu ham ürün (3.21 g, %94) ile geçildi. Fakat spektral analizler için ham ürünün küçük bir kısmı preparatif İ.T.K.yöntemiyle saflaştırıldı [çözücü sistemi:C<sub>6</sub>H<sub>6</sub>:CHCl<sub>3</sub>:CH<sub>3</sub>COCH<sub>3</sub>(4:4:2; tank NH<sub>3</sub> buharlarıyla doyurulmuştur)].

#### S-4 Bileşiginin Spektral Bulguları

##### UV (Spektrum No 20)

MeOH

$\lambda_{\text{maks}}$  ( $\log \epsilon$ ) 207 (4.55), 273 (3.72), 284 (3.68) nm.

##### <sup>1</sup>H NMR (Spektrum No 21)

$\delta$  2.90 (1H, *dd*, *J*= 10.4; 12.6, -CH<sub>2</sub>)

3.14-3.25 (2H, *m*, -CH<sub>2</sub>)

3.39 (3H, *s*, N-CH<sub>3</sub>)

3.69-3.75 (1H, *m*, -CH<sub>2</sub>)

3.75 (3H, *s*, -OCH<sub>3</sub>)

3.80-3.85 (1H, *m*, -CH<sub>2</sub>)

3.85 (3H, *s*, -OCH<sub>3</sub>)

3.85 (3H, *s*, -OCH<sub>3</sub>)

4.01-4.12 (1H, *m*, -CH<sub>2</sub>)

4.98 (1H, *dd*, *J*= 3.9; 6.4, H-1)

5.70 (1H, *s*, H-8)

6.65 (1H, *s*, H-5)

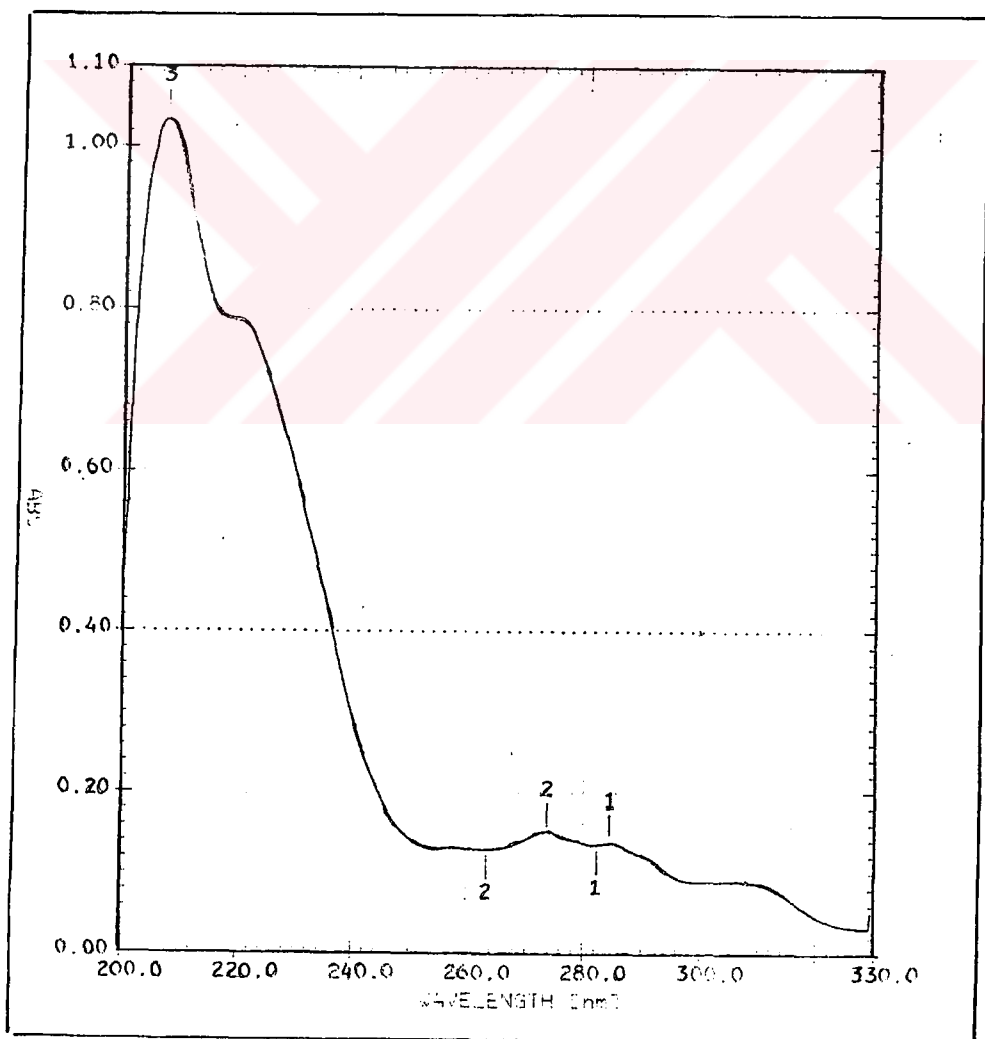
6.79 (2H, d,  $J= 8.7$ , H-3' ve H-5')

7.02 (2H, d,  $J= 8.6$ , H-2' ve H-6')

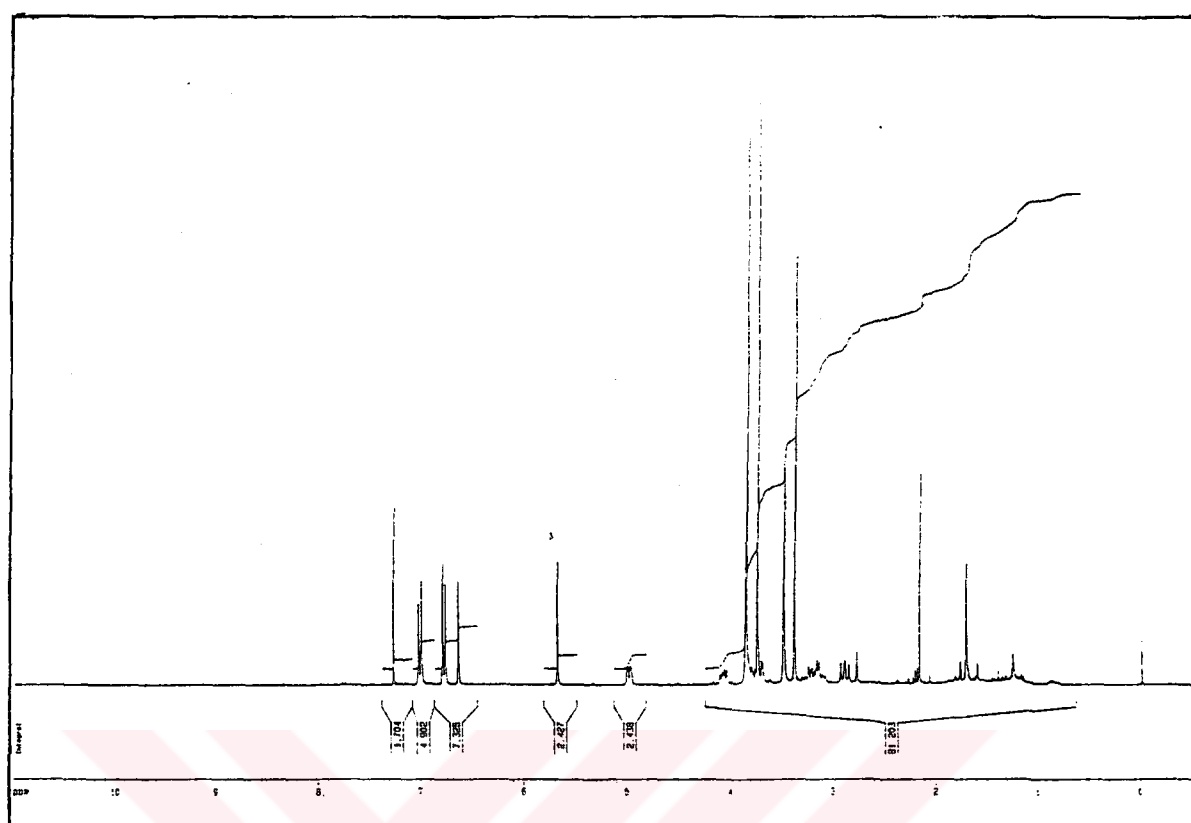
$^{13}\text{C}$  NMR (Spektrum No 22)

$\delta$  23.57 (t), 35.59 (t), 51.05 (q), 55.10 (t), 55.23 (q), 55.44 (q), 55.89 (q), 72.48 (d), 110.61 (d), 111.53 (d), 114.17 (d), 119.49 (s), 121.08 (s), 126.11 (s), 131.56 (d), 147.06 (s), 149.31 (s), 158.98 (s).

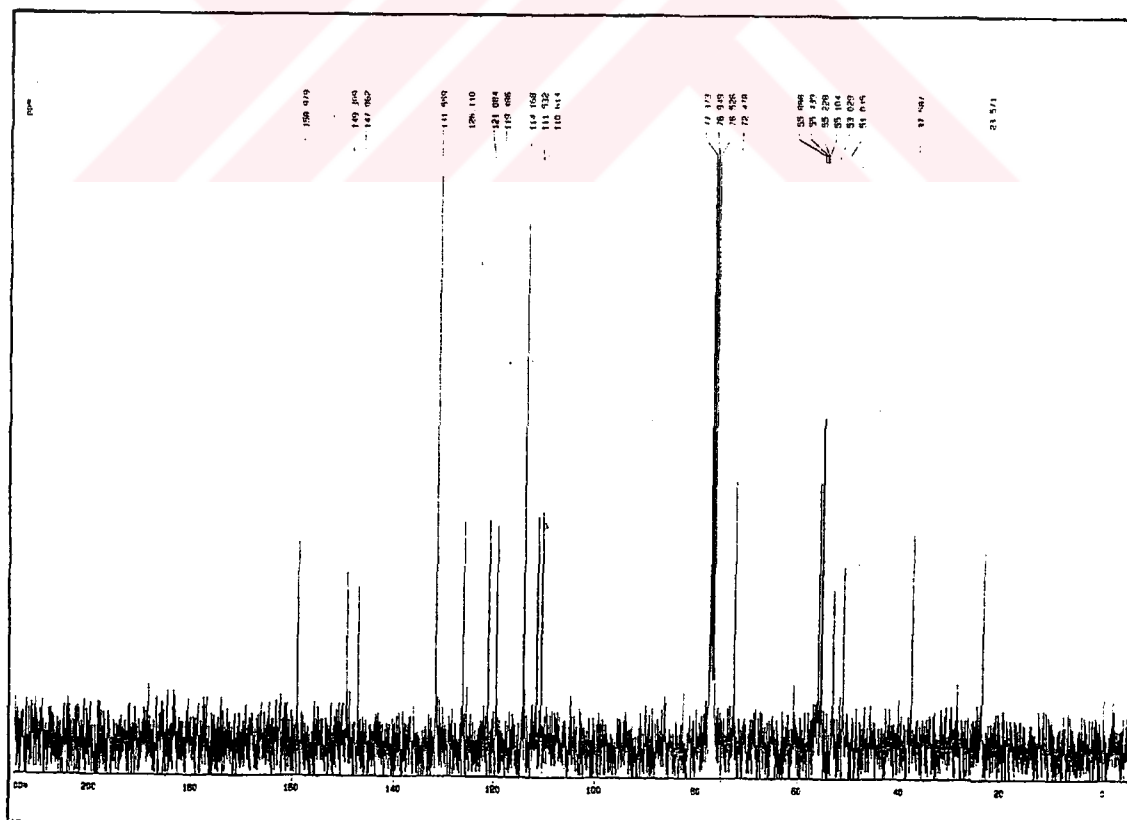
$^{13}\text{C}$  NMR-DEPT (Spektrum No 23)



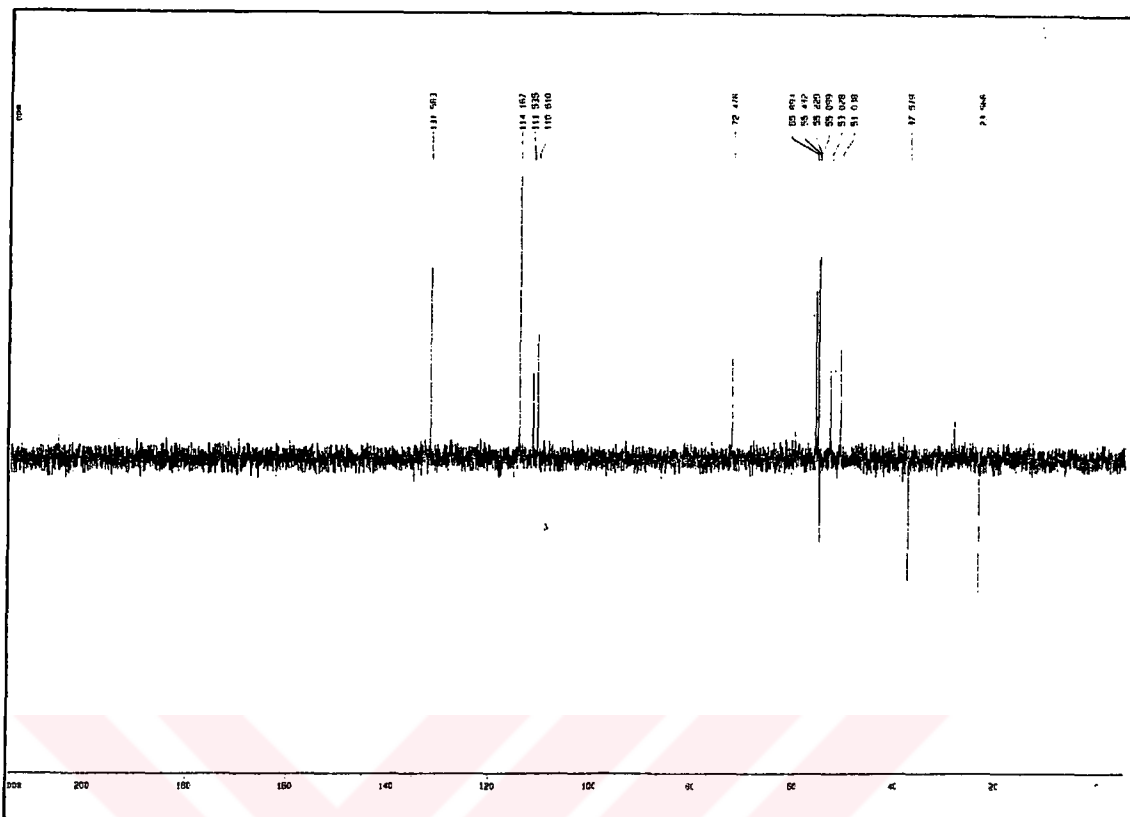
Spektrum No 20. S-4 Bileşığının UV Spektrumu



### Spektrum No 21. S-4 Bileşığının $^1\text{H}$ NMR Spektrumu



### **Spektrum No 22. S-4 Bileşinin $^{13}\text{C}$ NMR Spektrumu**



Spektrum No 23. S-4 Bileşininin  $^{13}\text{C}$  NMR-DEPT Spektrumu

**e. 2-Metil-1-(*p*-metoksibenzil)-6,7-dimetoksi-1,2,3,4-tetrahidroizo-kinolin-N-oksit Pirolizi**

S-4 bileşiği (3.00 g, 0.009 mol) 10 ml  $\text{CHCl}_3$  da çözüldü. Piroliz amacıyla kullanılan mikrosüblimasyon aletinde, alçak basınç altında,  $160^\circ\text{C}$  ye kadar ısıtılmış bir kum banyosuna daldırıldı. Sıcaklık yavaş yavaş artırılarak  $210^\circ\text{C}$  ye kadar yükseltildi. Piroliz işlemi 1 saatte tamamlandı. Mikrosüblimasyon aletinin soğutucu yüzeyinde biriken açık sarı renkli ürün ile dibinde toplanan koyu renkli ürün  $\text{CHCl}_3$  ile çözülerek ayrı kaplarda toplandı. Bu iki ürün üzerinde İ.T.K. kontrolleri yapıldı. Piroliz sonucunda mikrosüblimasyon aletinin kondansör yüzeyinden alınan 60 mg ürün üzerinde yapılan İ.T.K. çalışmaları, karışımda Dragendorff belirtecine olumlu yanıt veren miktar bakımından çalışılabilcek 3 lekenin olduğunu gösterdi. Tespit edilen bu

lekelere preparatif İ.T.K. ile [çözücü sistemi: C<sub>6</sub>H<sub>6</sub>:CHCl<sub>3</sub>:MeOH (40:40:10; tank NH<sub>3</sub> buharlarıyla doyurulmuştur)] birbirinden ayrıldı. Bu ürünlere R<sub>f</sub> değeri büyüklüklerine göre sırasıyla S-5a, S-5b ve S-5c(6.1 mg, 9 mg ve 4.7 mg) kodu verilmiştir. Mikrosüblimasyon aletinin dibinden alınan koyu renkli ürün üzerinde yapılan İ.T.K. kontrollerinde Dragendorff belirtecine olumlu yanıt veren hiçbir lekeye rastlanılmadı.

### I. S-5a Bileşığının Spektral Bulguları

#### <sup>1</sup>H NMR (Spektrum No 24)

- δ 3.71 (3H, s, -OCH<sub>3</sub>)
- 3.79 (3H, s, -OCH<sub>3</sub>)
- 3.89 (3H, s, -OCH<sub>3</sub>)
- 6.78 (1H, s, H-8)
- 6.79 (2H, d, J= 9.0, H-3' ve H-5')
- 6.97 (1H, s, H-5)
- 7.47 (1H, d, J= 5.4, H-4)
- 7.79 (2H, d, J= 9.0, H-2' ve H-6')
- 8.29 (1H, d, J= 5.5, H-3)

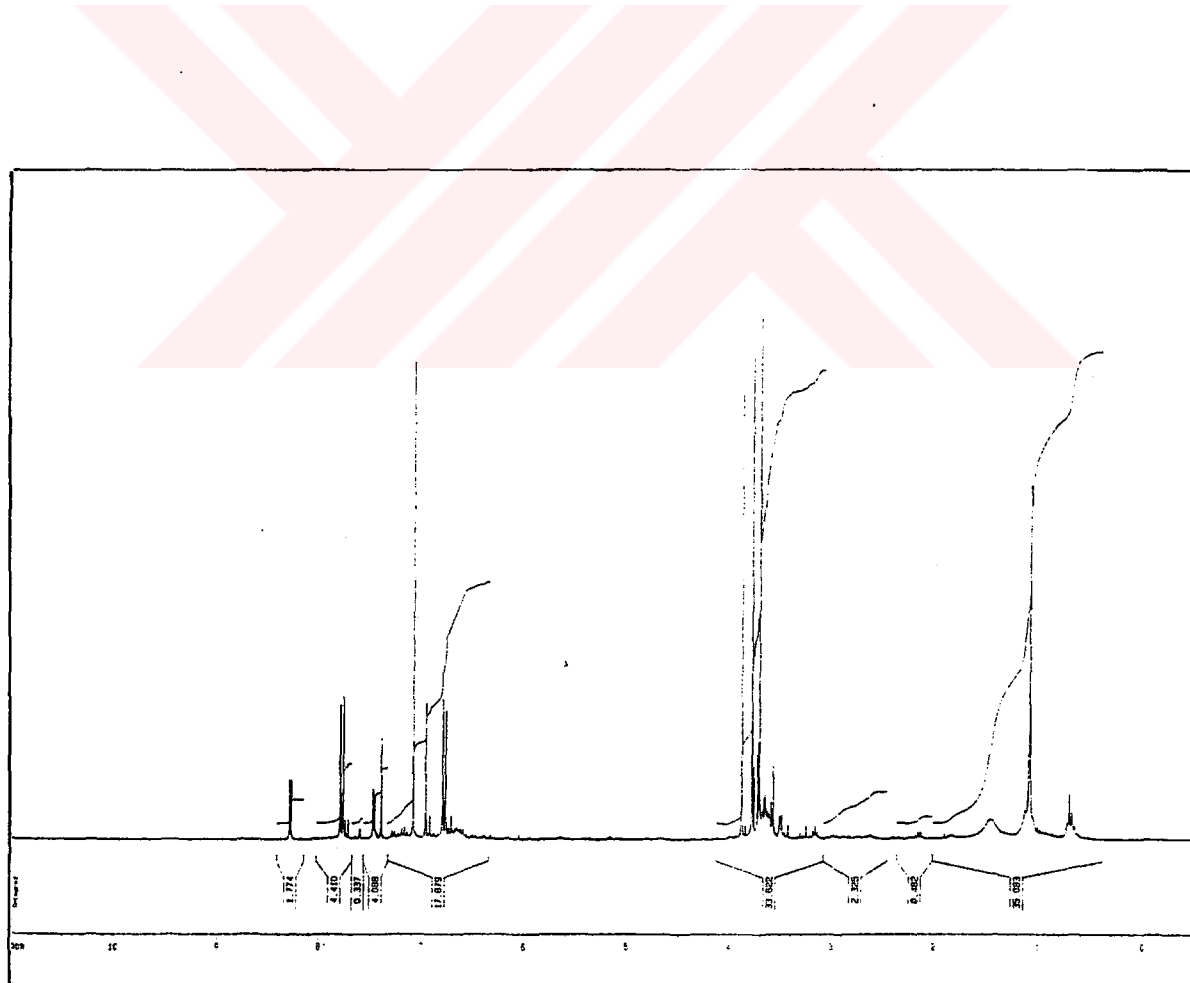
#### <sup>13</sup>C NMR (Spektrum No 25)

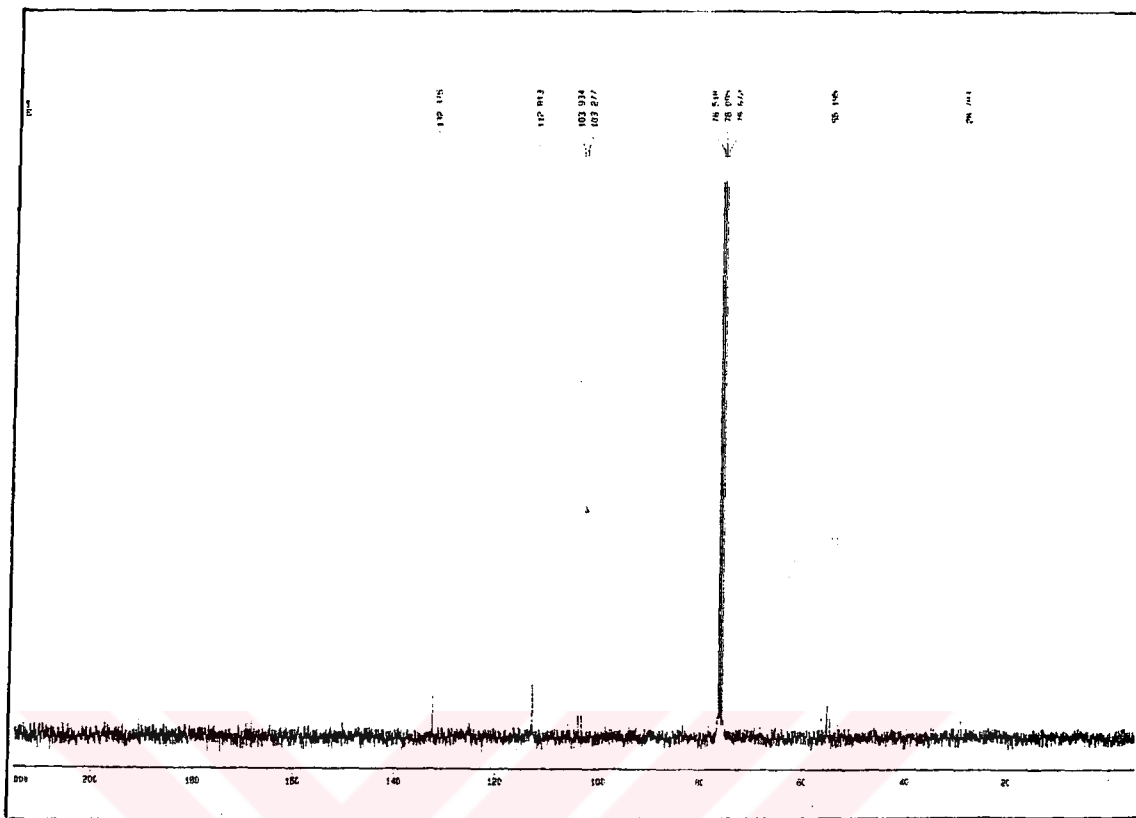
- δ 28.78 (d), 55.20 (q), 103.28 (d), 103.93 (d), 112.81 (d), 132.38 (d).

#### <sup>13</sup>C NMR-DEPT (Spektrum No 26)

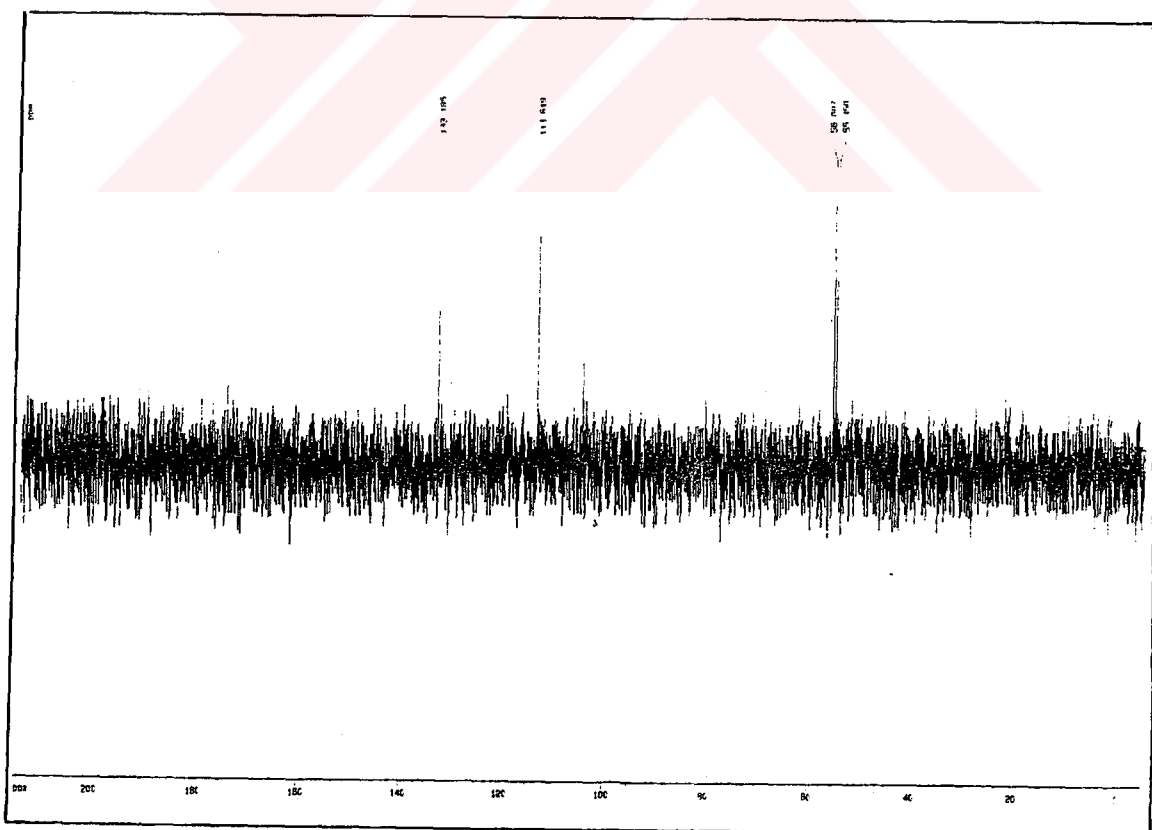
## EIMS (Spektrum No 27)

m/z (%)      323 (M<sup>+</sup>, 36), 322 (18), 308 (35), 295 (21), 294 (23), 292 (46),  
280 (22), 135 (100), 121 (26), 107 (24).

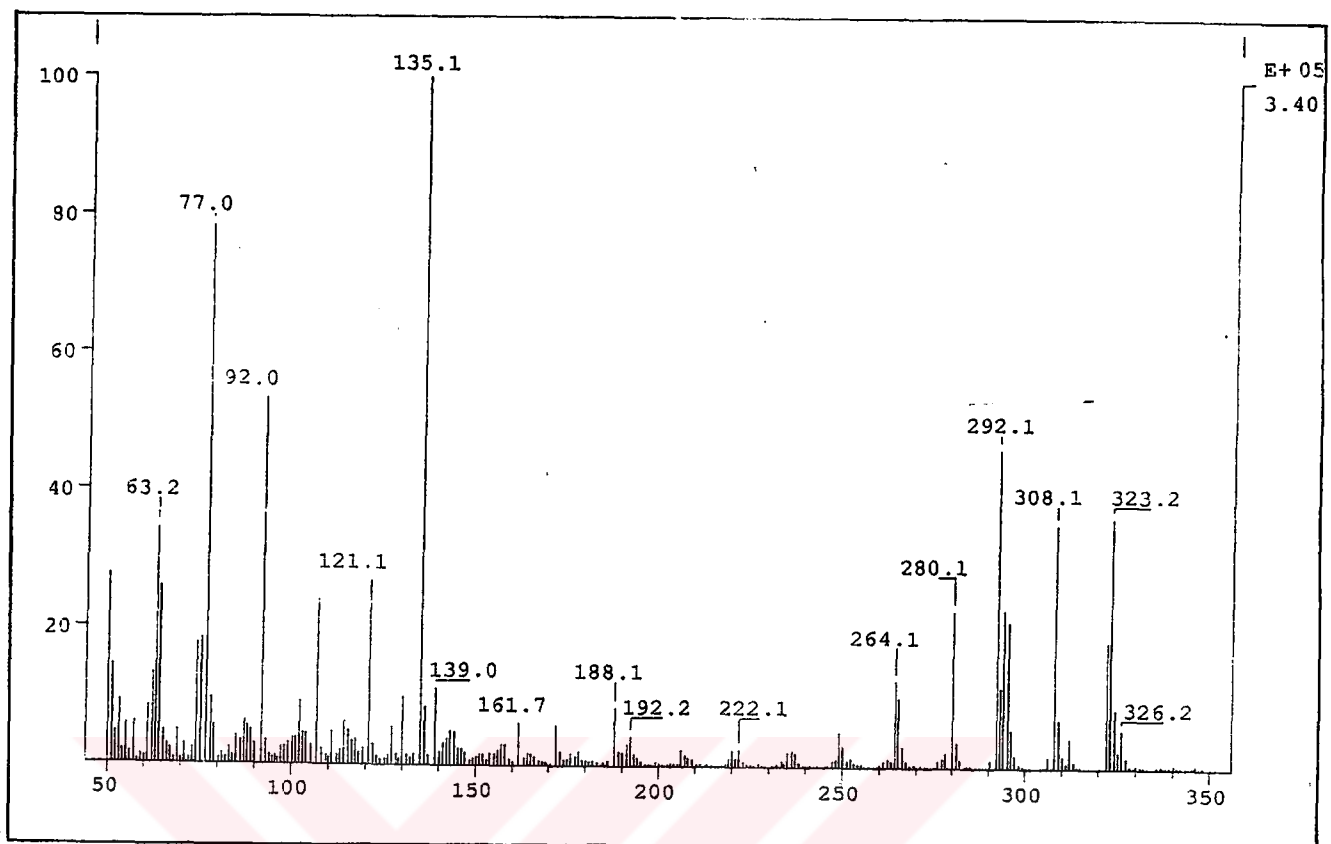
Spektrum No 24. S-5a Bileşininin <sup>1</sup>H NMR Spektrumu



Spektrum No 25. S-5a Bileşığının  $^{13}\text{C}$  NMR Spektrumu



Spektrum No 26. S-5a Bileşığının  $^{13}\text{C}$  NMR-DEPT Spektrumu



**Spektrum No 27. S-5a Bileşığının El Kütle Spektrumu**

## **II. S-5b Bileşığının Spektral Bulguları**

<sup>1</sup>H NMR (Spektrum No 28)

- δ 2.93 (2H, t, J= 6.8, H-4)
- 3.13 (3H, s, N-CH<sub>3</sub>)
- 3.54 (2H, t, J= 6.8, H-3)
- 3.91 (3H, s, -OCH<sub>3</sub>)
- 3.92 (3H, s, -OCH<sub>3</sub>)
- 6.62 (1H, s, H-8)
- 7.60 (1H, s, H-5)

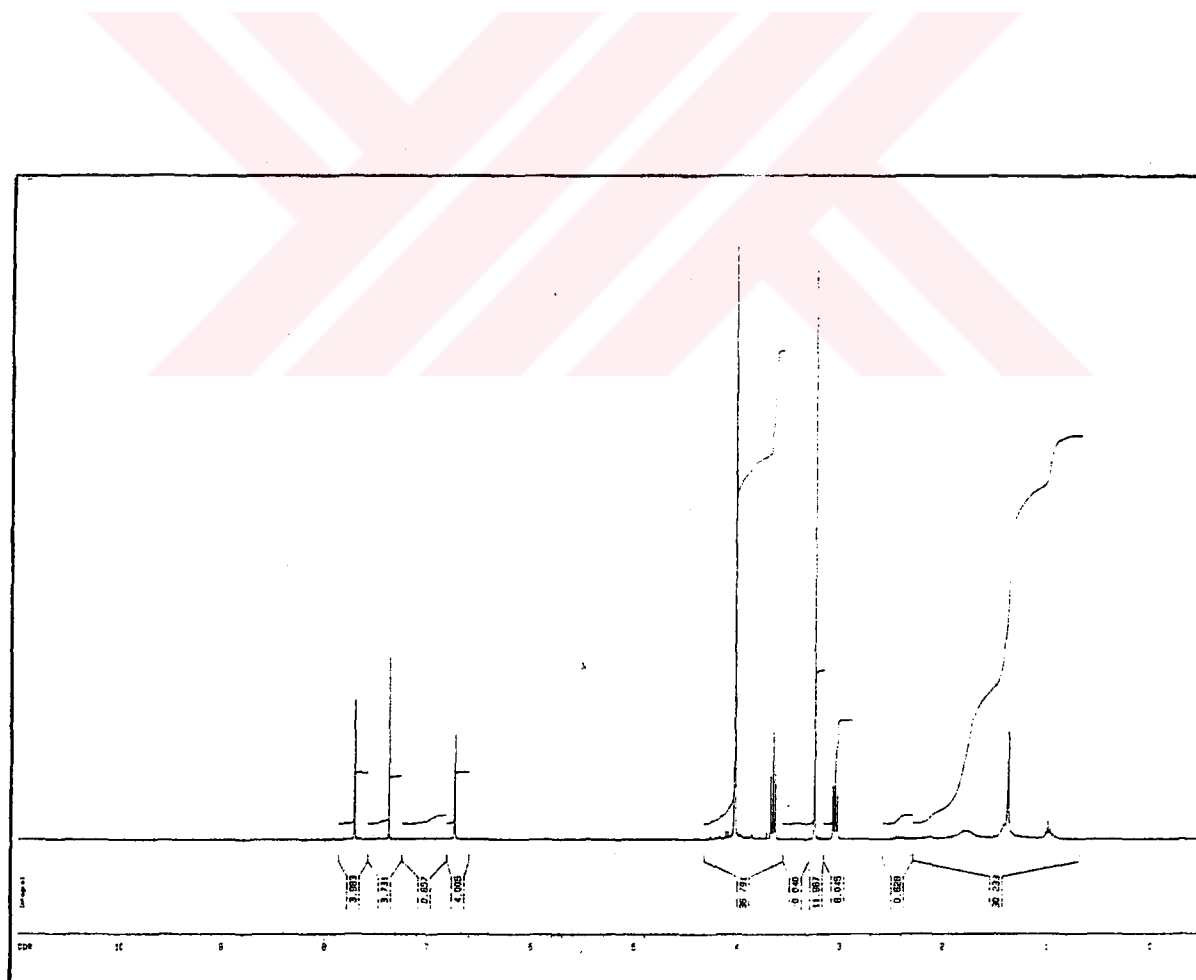
### <sup>13</sup>C NMR (Spektrum No 29)

$\delta$  27.44 (t), 35.07 (q), 48.31 (t), 55.92 (q), 56.00 (q), 109.16 (d), 110.41 (d).

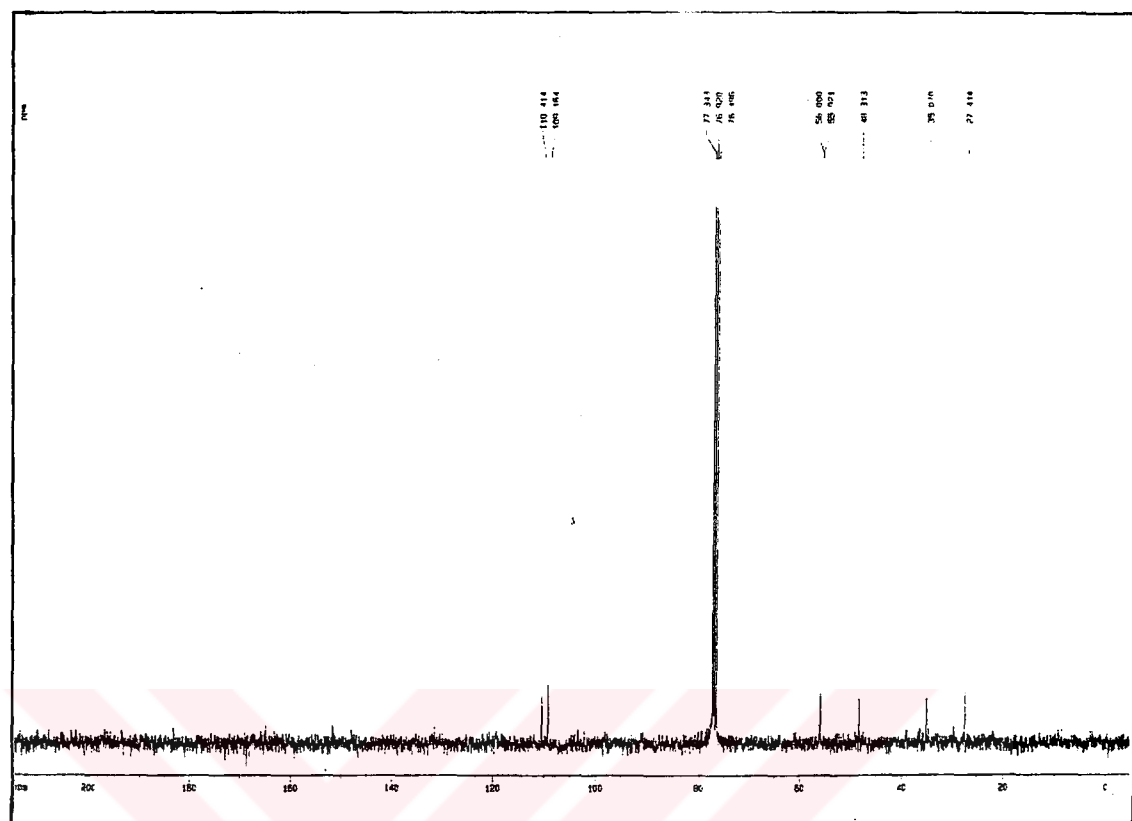
### **<sup>13</sup>C NMR-DEPT (Spektrum No 30)**

EIMS (Spektrum No 31)

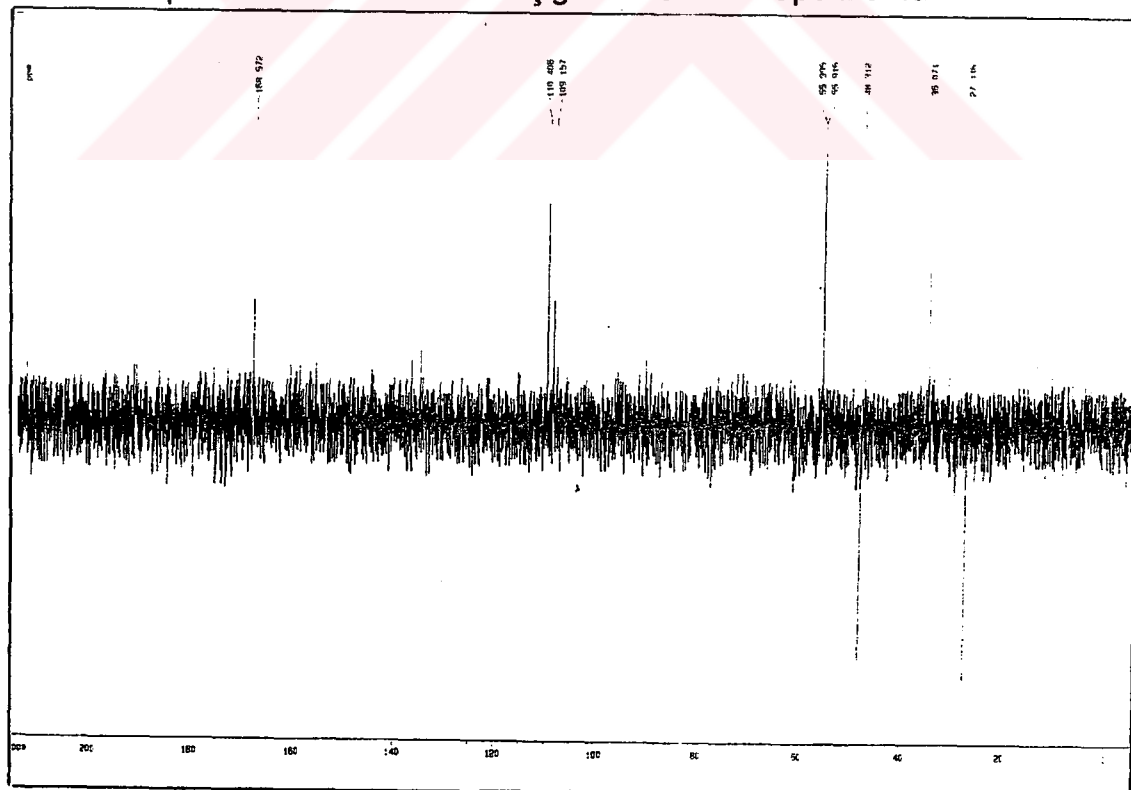
m/z (%) 221 ( $M^+$ , 95), 220 (23), 178 (65), 177 (14), 150 (100), 135 (14).



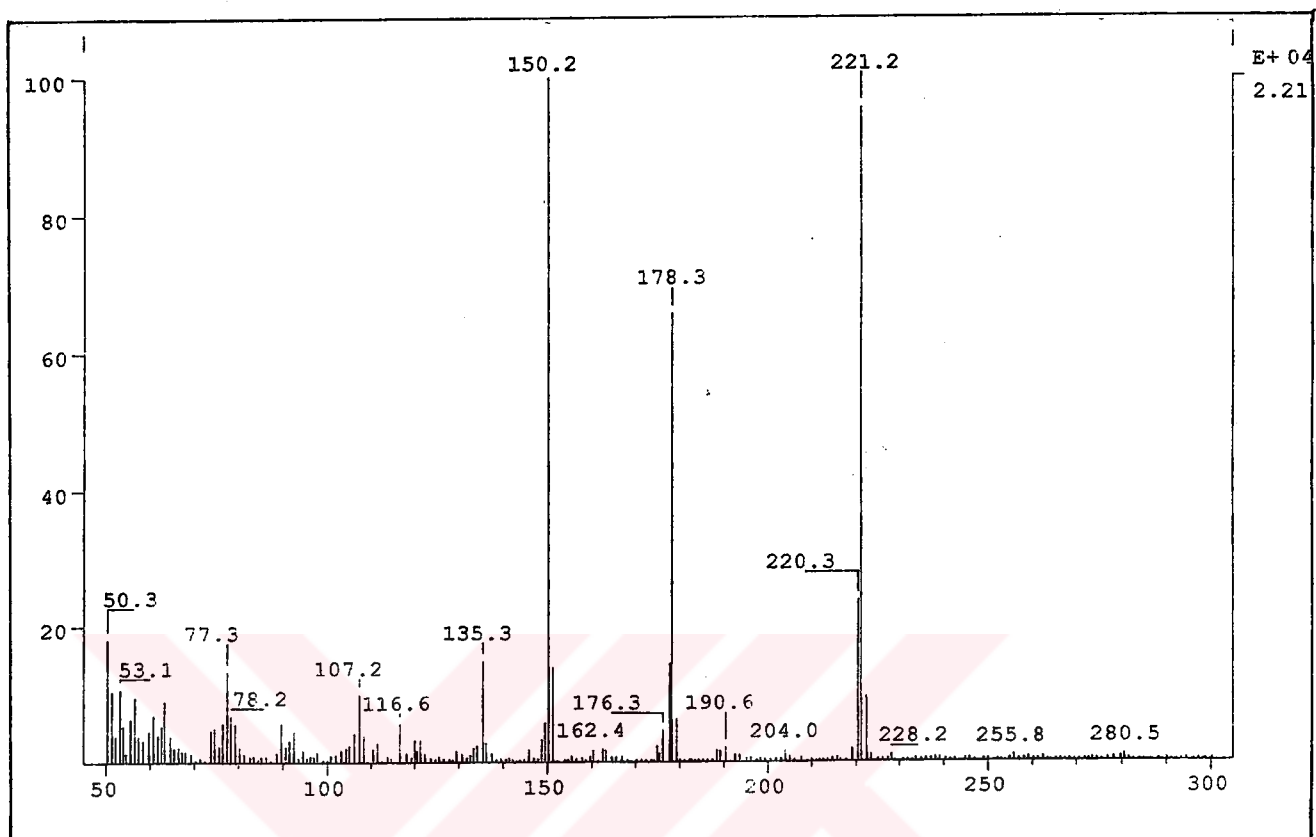
### **Spektrum No 28. S-5b Bileşinin $^1\text{H}$ NMR Spektrumu**



### **Spektrum No 29. S-5b Bileşinin $^{13}\text{C}$ NMR Spektrumu**



## **Spektrum No 30. S-5b Bileşinin $^{13}\text{C}$ NMR-DEPT Spektrumu**



**Spektrum No 31. S-5b Bileşığının El Kütle Spektrumu**

### III. S-5c Bileşığının Spektral Bulguları

<sup>1</sup>H NMR (Spektrum No 32)  
(CDCl<sub>3</sub> içerisinde)

- δ 3.86 (3H, s, N-CH<sub>3</sub>)
- 3.97 (3H, s, -OCH<sub>3</sub>)
- 4.23 (3H, s, -OCH<sub>3</sub>)
- 4.41 (3H, s, -OCH<sub>3</sub>)
- 6.93 (1H, s, H-8)

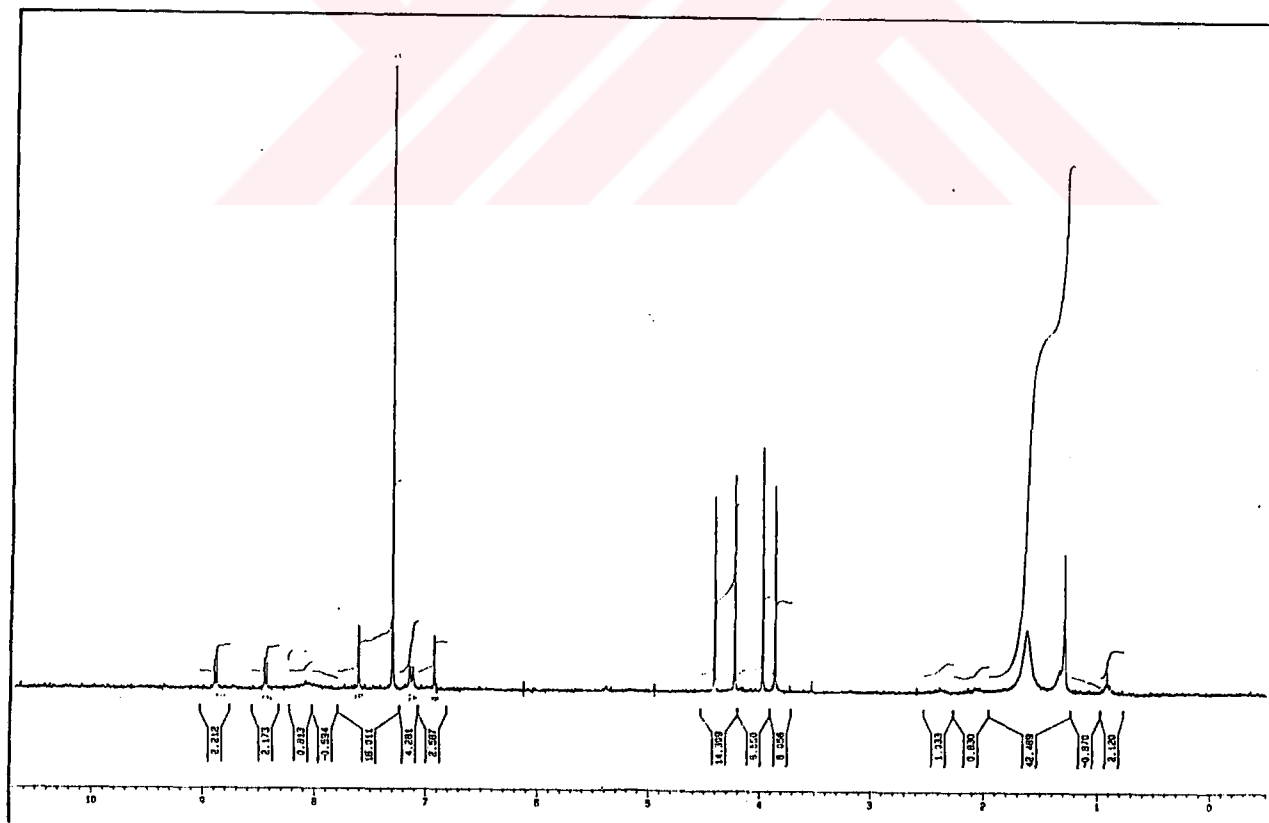
<sup>1</sup>H NMR (Spektrum No 33)  
(Aseton-d<sub>6</sub> içerisinde)

- δ 3.71 (3H, s, -NCH<sub>3</sub>)
- 3.84 (3H, s, -OCH<sub>3</sub>)
- 4.06 (3H, s, -OCH<sub>3</sub>)
- 4.28 (3H, s, -OCH<sub>3</sub>)
- 7.00 (1H, s, H-8)

- |  |  |
|--|--|
| 7.13 (2H, <i>d</i> , <i>J</i> = 8.0, H-3' ve H-5') | 7.05 (2H, <i>d</i> , <i>J</i> = 8.8, H-3' ve H-5') |
| 7.61 (1H, <i>s</i> , H-5)                          | 7.85 (2H, <i>d</i> , <i>J</i> = 7.1, H-2' ve H-6)  |
| 8.44 (1H, <i>d</i> , <i>J</i> = 6.7, H-4)          |  |
| 8.89 (1H, <i>d</i> , <i>J</i> = 6.8, H-3)          |  |

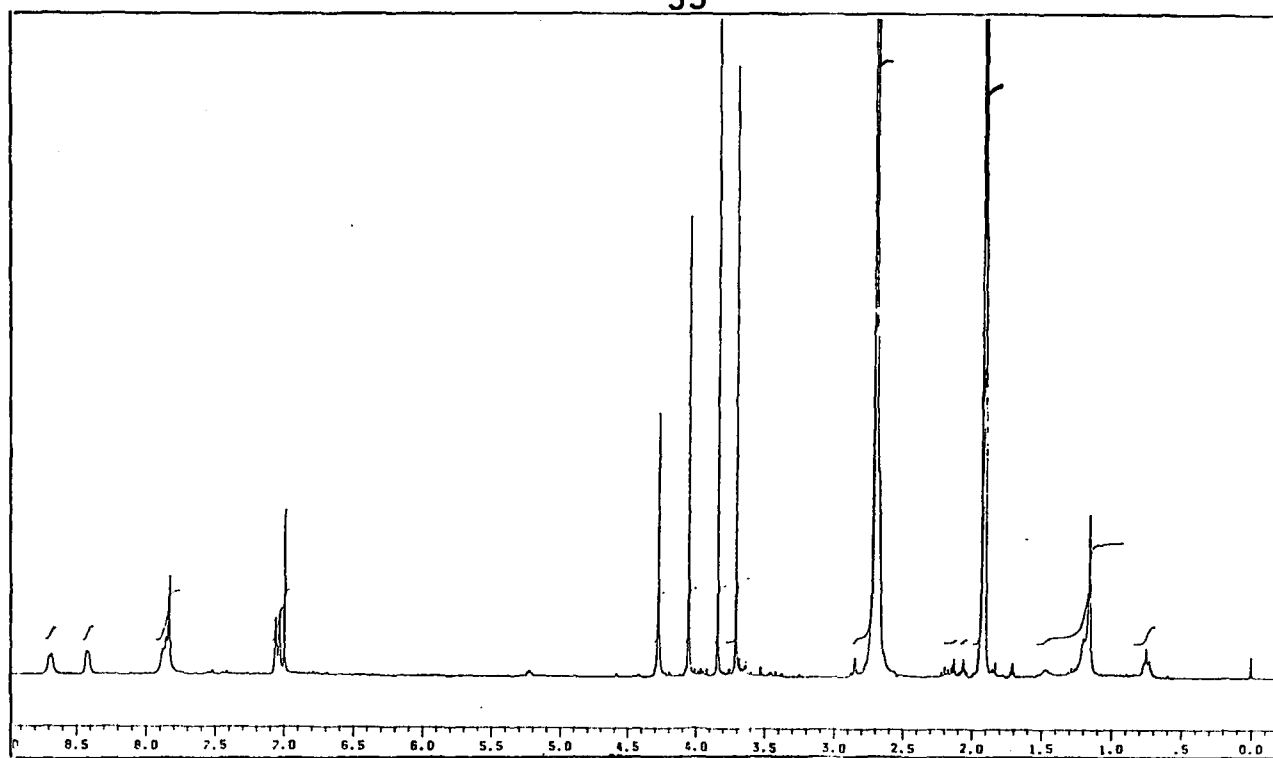
EIMS (Spektrum No 33)

m/z (%)      323 (40), 322 (27), 309 (27), 308 (22), 294 (24), 292 (26), 280  
                   (33), 142 (36), 135 (100), 127 (20), 121 (21), 107 (25).

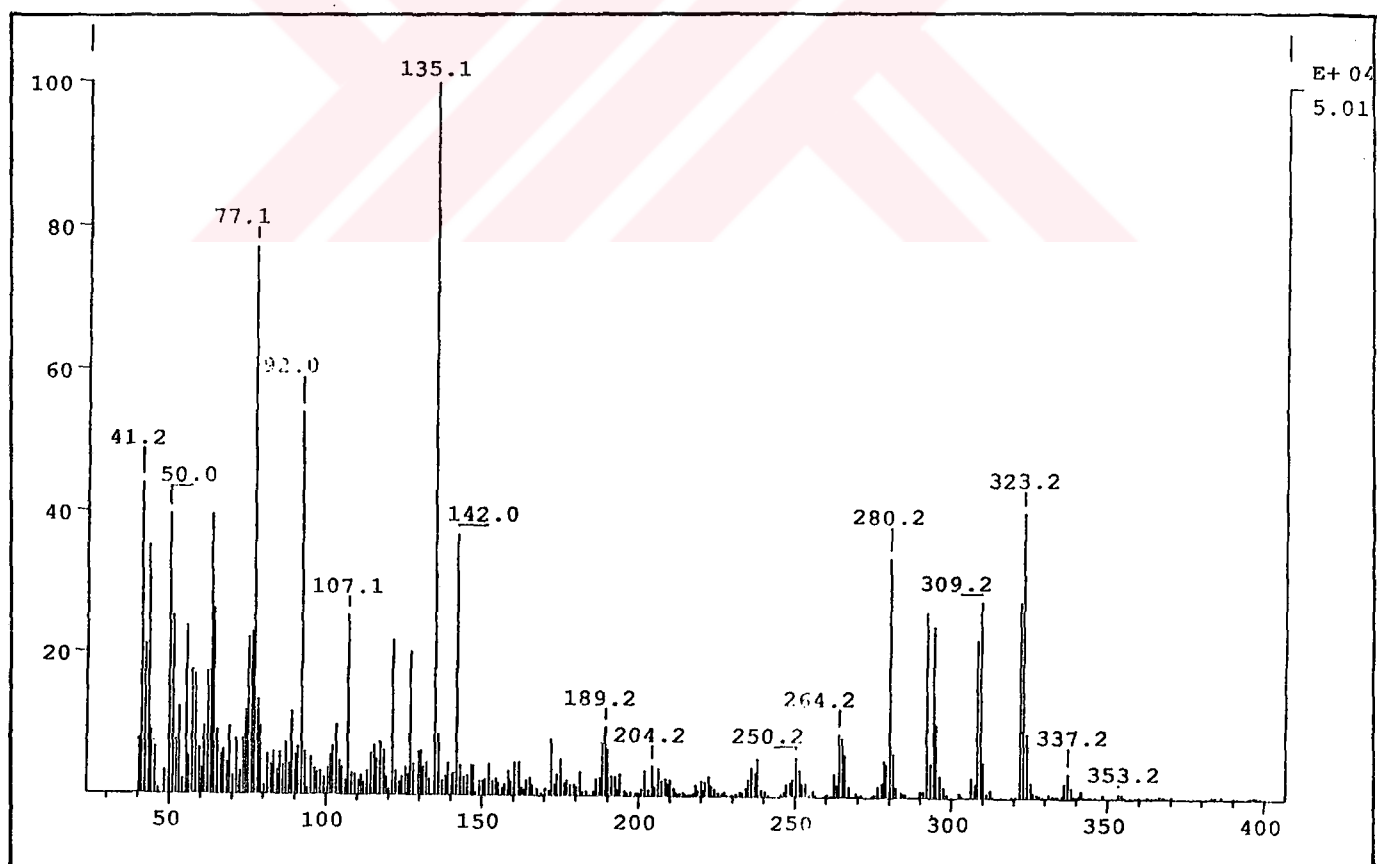


Spektrum No 32. S-5c Bileşininin  $^1\text{H}$  NMR Spektrumu ( $\text{CDCl}_3$  içerisinde)

53



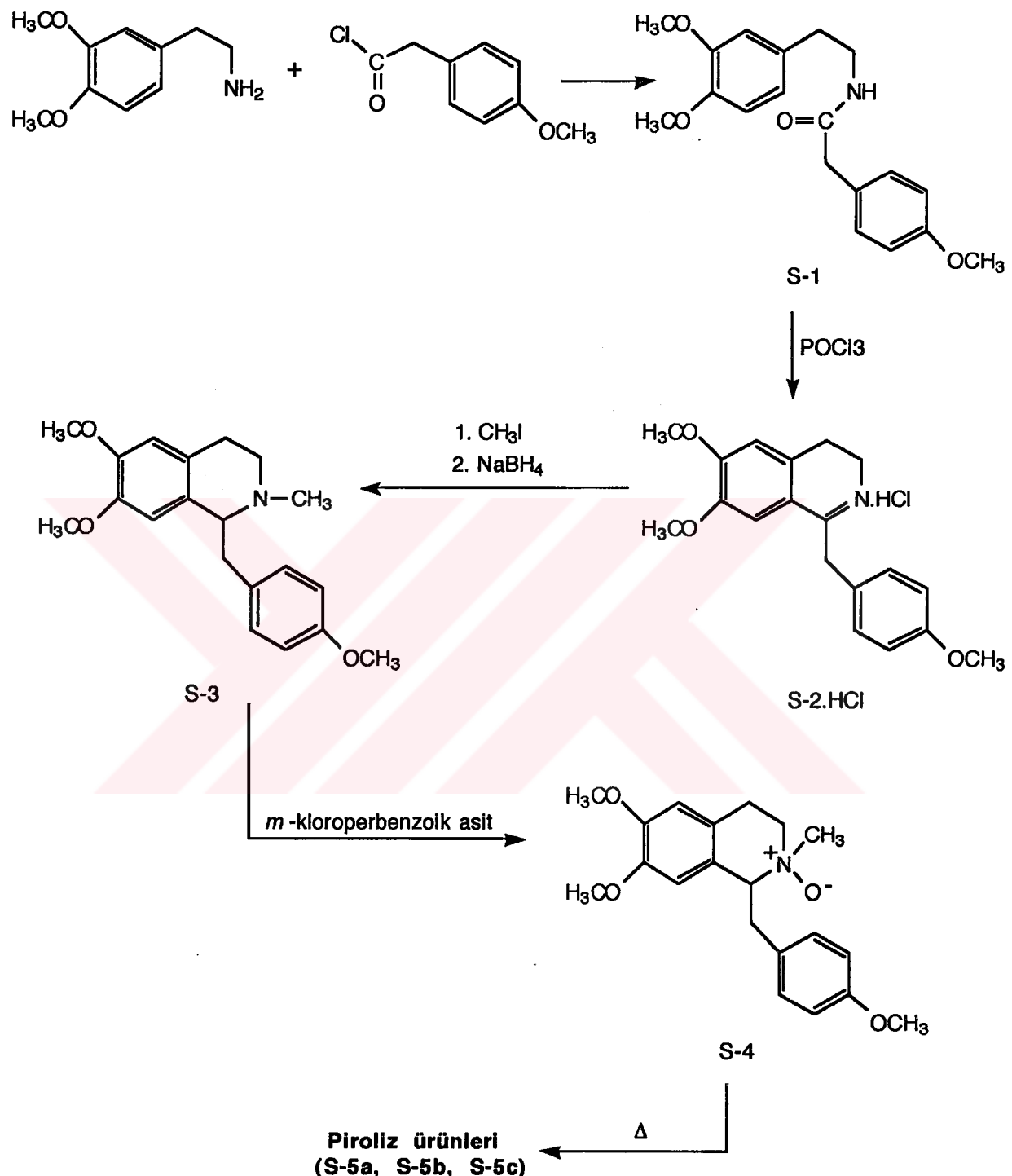
Spektrum No 33. S-5c Bileşininin <sup>1</sup>H NMR Spektrumu (Aseton-d<sub>6</sub> içerisinde)



Spektrum No 34. S-5c Bileşininin El Kütle Spektrumu

## TARTIŞMA VE SONUÇ

Bu çalışmada; N-oksitlerin termal dekompozisyonla hareket madde-sinin niteliklerine bağlı olarak çok değişken ve ilginç ürünler verdiği bilindiğinden, total sentezle elde ettiğimiz 2-metil-1-(*p*-metoksibenzil)-6,7-dimetoksi-1,2,3,4-tetrahidroizokinolin-N-oksit bileşiği üzerinde piroliz uygulanmış ve elde edilen piroliz ürünlerinin yapıları spektral analiz yöntemlerinden yararlanılarak aydınlatılmaya çalışılmıştır. Piroliz başlangıç ürünü olan 2-metil-1-(*p*-metoksibenzil)-6,7-dimetoksi-1,2,3,4-tetrahidroizokinolin-N-oksit türevinin total sentezinin (Şema 18) ilk aşamasında N-[2-(3,4-dimetoksifenil)etil]-*p*-metoksifenilasetamit (S-1) bileşiği elde edilmiştir. Bu bileşliğin Bischler-Napieralski tepkimesine göre  $\text{POCl}_3$  ile siklizasyonyla 1-(*p*-metoksibenzil)-6,7-dimetoksi-3,4-dihidroizokinolin (S-2) kazanılmıştır. Bu dihidro türevin  $\text{CH}_3\text{I}$  ile katernizasyonunu takiben  $\text{NaBH}_4$  ile redüksiyonu sonucu 2-metil-1-(*p*-metoksibenzil)-6,7-dimetoksi-1,2,3,4-tetrahidroizokinolin (S-3) elde edilmiştir. Daha sonra bu türev *m*-kloroperbenzoik asit ile muamele edilerek, piroliz için gerekli olan N-oksit (S-4) türevi haline dönüştürülmüştür. Gerek sentez sonuç bileşığının gerekse ara ürünlerin yapılarının aydınlatılmasında spektral analiz yöntemlerinden (UV, IR,  $^1\text{H}$  NMR,  $^{13}\text{C}$  NMR,  $^{13}\text{C}$  NMR-DEPT ve kütle spektrometrisi ) yararlanılmıştır.



(Şema 18)

**A. N-[2-(3,4-Dimetoksifenil)etil]-*p*-metoksifenilasetamit Bileşığının Sentezi ve Spektral Bulgularının Değerlendirilmesi (S-1)**

N-[2-(3,4-Dimetoksifenil)etil]-*p*-metoksifenilasetamit bileşiği (S-1), homoveratrilamin ile *p*-metoksifenilasetil klorürün etkileştirilmesiyle erime derecesi 123° C olan beyaz renkli kristaller halinde, %61 verimle elde edilmiştir. Sözkonusu amit bileşiği literatürde kayıtlı bir bileşiktir (lit. 124-125°) (27).

S-1 kodlu bileşliğin, sentezi yapılması istenen ürün olduğuna dair ilk somut bilgiler bileşliğimin  $\text{CDCl}_3$  içerisinde alınan  $^1\text{H}$  NMR spektrumundan sağlanmıştır. Spektrumda görülen tüm sinyaller oluşması beklenen bileşliğin formülü ile uyum içerisindeidir. Bileşliğin yapısında yer alan toplam üç adet metoksil grubuna ait her biri üçer protonluk entegrasyona sahip üç keskin singlet sırasıyla  $\delta$  3.80, 3.82 ve 3.86 da görülmektedir. N-[2-(3,4-dimetoksifenil)etil] grubunda  $\alpha$ - konumunda olan metilen grubunun hidrojenleri  $\delta$  3.43 de  $J$  değeri 6.4 Hz olan bir triplet şeklinde izlenirken,  $\beta$ -metylen grubu protonları ise  $\delta$  2.67 de 6.9 Hz değerinde  $J$  değerine sahip olan bir triplet halinde görülmektedir. Karbonil grubuna komşu olan metilen grubundaki  $\alpha$ -hidrojenler, iki protonluk entegrasyona sahip bir singlet halinde  $\delta$  3.47 de yer almaktadır. Bu sinyallerin oldukça aşağı alanda görülmesi, bir taraftan fenil halkasına diğer taraftan da karbonil grubuna komşu olmalarıyla açıklanabilmektedir.  $\delta$  5.38 de tek hidrojenlik yaygın bir singlet (broad singlet) halinde izlenen absorbsiyon, azot üzerindeki asit karakterdeki amit hidrojenine aittir.

Spektrumun aromatik sahasına ait entegrasyon, alifatik protonların haricinde yedi tane daha protonun varlığını göstermiştir. Bu aromatik protonlara ait sinyaller oldukça dar bir alanda, ancak belirgin tarzda bölünmüşt

bir şekilde görülmektedir. Bu protonlardan N-[2-(3,4-dimetoksifenil)etil] grubuna ait üç tanesinin bir ABX sistemi oluşturulması beklenir.  $\delta$  6.55 de 2.0 ve 8.1 Hz lik *J* değerlerine sahip olan bir proton değerindeki dublet-dublet, bir *o*-ve bir *m*- etkileşmesi bulunması beklenen N-[2-(3,4-dimetoksifenil)etil] grubuna ait H-6 dır. Sadece *m*- etkileşime maruz kalan H-2,  $\delta$  6.61 de 1.9 Hz lik bir *J* değerine sahip olan bir dublet halinde sinyal vermektedir.  $\delta$  6.72 de 8.1 Hz lik *J* değerine sahip olan bir proton değerindeki dublet, sadece bir *o*-etkileşmesi bulunması beklenen H-5 e aittir.

*p*-Metoksifenilasetamit yapısının fenil halkası üzerindeki aromatik protonların (dört adet) her biri iki protonluk iki dublet halinde görülmesi, 1,4-disübstítüye benzen türevlerinin beklenen özellikleidir. Buna uygun olarak;  $\delta$  6.83 (*J*= 8.7 Hz) ve  $\delta$  7.07 (*J*= 8.6 Hz) de her biri iki protonluk iki dublet halinde izlenen sinyaller, sırasıyla H-3', H-5' ve H-2', H-6' nün rezonansına aittir.

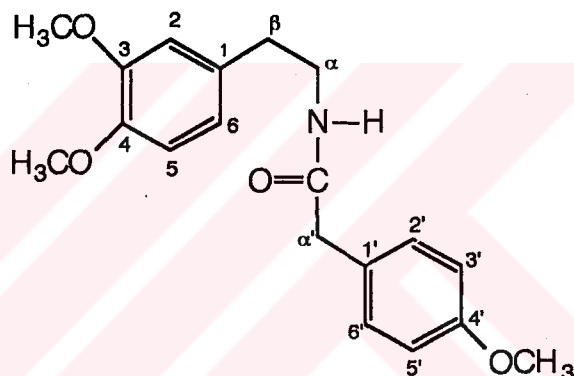
Bileşigin metanol içerisinde alınan UV spektrumunda üç absorbsiyon maksimumu sırasıyla 208, 229 ve 278 nm lerde izlenmektedir. Bu değerler, oksokrom gruplarla sübstítüye olmuş benzen kromoforu ve nonkonjuge amit karbonil kromoforu için beklenen değerlerle uyum içindedir (28).

Bileşigimizin ci kütle spektrumunda moleküller iyonun m/z değerinin 329 olduğu görülmektedir. Bu değer, sentezi yapılan  $C_{19}H_{23}NO_4$  kapalı formülündeki amit türevi için hesaplanan molekül ağırlığıyla aynıdır. Ayrıca m/z 330 da (M+H) ve m/z 347 de (M+NH<sub>4</sub>)<sup>+</sup> piklerinin görülmesi de sentezin gerçekleştiği dair diğer bir kanıttır.

Sentezi yapılan bileşigin <sup>13</sup>C NMR ve <sup>13</sup>C NMR-DEPT spektrumlarının değerlendirilmesi sonucunda saptanan kimyasal kayma değerleri beklenen değerlerle uyum içerisindeidir.<sup>13</sup>C NMR ve <sup>13</sup>C NMR-DEPT spektrumlarının birlikte değerlendirilmesi sonucu sentezi yapılması beklenen hedef bileşikten beklenen üç adet metilen karbonu ( $\delta$  35.89, 41.53, 43.80), üç adet metoksil

karbonu ( $\delta$  56.11, 56.68, 56.76), yedi adet metin karbonu [ $\delta$  112.18, 112.67, 115.23 (C-3' ve C-5'), 121.45, 131.36 (C-2' ve C-6')]) ve altı adet katerner karbon ( $\delta$  127.57, 131.99, 148.52, 149.90, 159.70 ve 172.18) görülmüştür.

Gerek yukarıda belirtilen spektral analiz sonuçlarının ışığında, gerekse elde edilen bulguların literatürde bu ve benzeri bileşikler için rapor edilmiş olan değerlerle uygunluk göstermesi nedeniyle S-1 kodlu bileşliğimizin, aşağıda açık formülü verilen N-[2-(3,4-dimetoksifenil)etil]-*p*-metoksifenilasetamit olduğu kanıtlanmıştır.



### B. 1-(*p*-Metoksibenzil)-6,7-dimetoksi-3,4-dihidroizokinolin

#### Hidroklorür Bileşliğinin Sentezi ve Spektral Bulgularının Değerlendirilmesi (S-2.HCl)

N-[2-(3,4-Dimetoksifenil)etil]-*p*-metoksifenilasetamitin CH<sub>3</sub>CN içerisinde POCl<sub>3</sub> beraberinde Bischler-Napieralski şartlarında siklizasyona tabi tutulmasıyla S-2 kodlu bileşliğimiz elde edilmiştir. Ancak gerek İ.T.K. çalışmalarından, gerekse <sup>1</sup>H ve <sup>13</sup>C NMR analiz sonuçlarından anlaşıldığı üzere, bileşliğin baz halde stabil olmadığı ve kısa süre içinde dekompozisyonu

uğrayarak çok sayıda komponent içeren bir karışımı dönüştüğü görülmüştür. Bu nedenden dolayı bileşik daha stabil olan hidroklorür tuzu halinde %89 verimle elde edilmiştir. Ham hidroklorür tuzunun asetondan kristallendirilmesi ile kazanılan bileşigin erime derecesi 192° C olarak saptanmıştır (lit.165°) (27).

S-2.HCl bileşiginin yapı teyidi UV,  $^1\text{H}$  NMR,  $^{13}\text{C}$  NMR,  $^{13}\text{C}$  NMR-DEPT ve kütle spektrumlarından sağlanan verilerle gerçekleştirilmiştir.

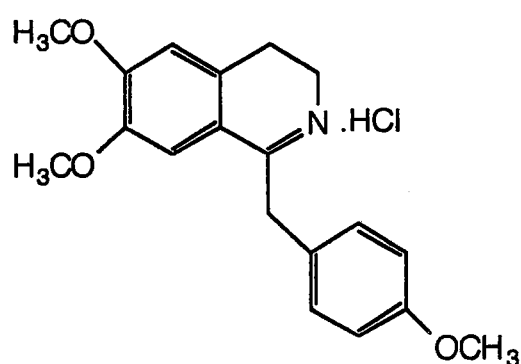
Bileşigin  $\text{CDCl}_3$  içerisinde alınan  $^1\text{H}$  NMR spektrumunda izlenen sinyallerin kimyasal kayma değerleri ve  $J$  değerleri, beklenen değerlerle uyum içindedir.  $\delta$  3.01 de 8.1 Hz lik bir  $J$  değerine sahip iki proton üzerinde görülen triplet, 3,4-dihidroizokinolin çekirdeğinin 4 konumunda bulunan metilen protonları için karakteristik bir sinyaldır.  $\delta$  3.93 de iki protonluk bir bir entegrasyona sahip multiplet şeklinde görülen sinyalin 3,4-dihidroizokinolin çekirdeğinin 3 konumundaki metilen protonlarının rezonansına ait olduğu görülmüştür. Bileşikteki üç adet metoksil grubuna ait her biri üçer protonluk singletler ise sırasıyla  $\delta$  3.75, 3.84 ve 3.96 da görülmektedir. Izokinolin halkasının 5 ve 8 konumlarındaki aromatik protonların kimyasal kaymaları sırasıyla  $\delta$  7.29 ve 6.77 de olup, birer hidrojen üzerinde iki keskin singlet şeklinde görülmektedir. 1 konumundaki *p*-metoksibenzil grubunun  $\alpha$ -protonları  $\delta$  4.60 da iki protona karşılık gelen bir singlet, aromatik protonları ise her biri iki protonluk iki dublet halinde  $\delta$  6.83 ( $J= 8.8$  Hz, H-3' ve H-5') ve  $\delta$  7.36 ( $J= 8.8$  Hz, H-2' ve H-6') da görülmüştür.

Bileşigin metanol içerisinde alınan UV spektrumunda dört absorbsiyon maksimumu sırasıyla 205, 226, 276 ve 308 nm lerde izlenmektedir. Bu absorbsiyonlar 3,4-dihidroizokinolin genel yapısındaki bileşiklerden beklenen değerlerdir.

Bileşigin amonyak ile alınan ci kütle spektrumunda m/z değeri 312 olan ( $M+H$ ) pikinin görülmesi, sentez edilen  $C_{19}H_{21}NO_3$  kapalı formülündeki 3,4-dihidroizokinolin türevi için hesaplanan molekül ağırlığına uygundur.

Bileşigin  $^{13}C$  NMR ve  $^{13}C$  NMR-DEPT spektrumlarına göre, üç adet metilen karbonu [ $\delta$  25.27, 37.67, ve 40.73 (C-4, C- $\alpha$  ve C-3)], üç adet metoksil karbonu ( $\delta$  55.19, 56.25, 56.44), altı adet metin karbonu [ $\delta$  110.84 (C-8), 112.19 (C-3' ve C-5'), 114.68 (C-5), 130.01 (C-2' ve C-6')] ve yedi adet katerner karbon ( $\delta$  117.14, 125.33, 133.79, 148.50, 156.02, 159.13 ve 174.35) tespit edilmiştir. Bu kimyasal kayma değerleri, gerek toplam karbon sayısı bakımından, gerekse bu karbonların cinsi bakımından sentezi beklenen hedef bileşik ile uyum içindedir.

Yukarıda belirtilen verilerin ışığında, S-2.HCl kodlu bileşliğimizin, S-1 bileşiginin Bischler-Napieralski şartlarında siklizasyonuyla kazanılması hedeflenen ve aşağıda açık kimyasal formülü verilen, literatürde kayıtlı 1-(*p*-metoksibenzil)-6,7-dimetoksi-3,4-dihidroizokinolin hidroklorür olduğu kesinlik kazanmıştır.



**C. 2-Metil-1-(*p*-metoksibenzil)-6,7-dimetoksi-1,2,3,4-tetrahidroizokinolin Bileşığının Sentezi ve Spektral Bulgularının Değerlendirilmesi (S-3)**

S-3 kodlu bileşliğimiz, 1-(*p*-metoksibenzil)-6,7-dimetoksi-3,4-dihidroizokinolinin CH<sub>3</sub>I ile katernizasyonunu takiben NaBH<sub>4</sub> ile redüksiyonu sonucu elde edilmiştir. Bileşliğin yapı teyidi UV, <sup>1</sup>H NMR, <sup>13</sup>C NMR, <sup>13</sup>C NMR-DEPT ve ci kütle spektrumlarından sağlanan verilerle gerçekleştirılmıştır.

Bu bileşliğin sentezi sırasında, 3,4-dihidroizokinolin türevinin CH<sub>3</sub>I ile katernizasyonu sırasında, beklenen katerner türev yanında bir de yan ürünün olduğu gözlenmiştir. Bu yan ürüne ZP kodu verilmiş ve yapısı IR, <sup>1</sup>H NMR, <sup>13</sup>C NMR ve <sup>13</sup>C NMR-DEPT spektral analiz yöntemleriyle aydınlatılmaya çalışılmıştır.

S-3 kodlu bileşliğin CDCl<sub>3</sub> içerisinde alınan <sup>1</sup>H NMR spektrumu, 1-benzil-3,4-dihidroizokinolin yapısındaki başlangıç maddesinin metilasyon ve redüksyon tepkimeleri sonucunda 1-benzil-2-metil-1,2,3,4-tetrahidroizokinolin türevine dönüştüğünü kanıtlamaktadır. <sup>1</sup>H NMR spektrumunda 1 konumundaki protonun ve azota bağlı metil protonlarının sinyallerinin varlığı bu basamakta elde edilmesi amaçlanan bileşliğin kazanıldığını göstermektedir. N-CH<sub>3</sub> protonlarına ait sinyal δ 2.55 de üç hidrojen değerinde keskin bir singlet halinde görülmüştür. Izokinolin halkasının 3 ve 4 konumlarında bulunan protonlar ile 1-benzil grubunun α- protonları; δ 2.59-2.65 de bir proton değerinde, δ 2.73-2.85 de üç proton değerinde, δ 3.16-3.30 da iki proton değerinde olmak üzere multipletler halinde sinyal vermişlerdir. Bileşikteki metoksil protonlarına ait sinyaller ise sırasıyla δ 3.55, 3.77, 3.84 de keskin birer singlet şeklinde görülmüştür. 1 konumundaki proton, 5.0 ve 8.0 Hz lik *J* değerine sahip dublet-dublet halinde δ 3.70 de absorbsiyon

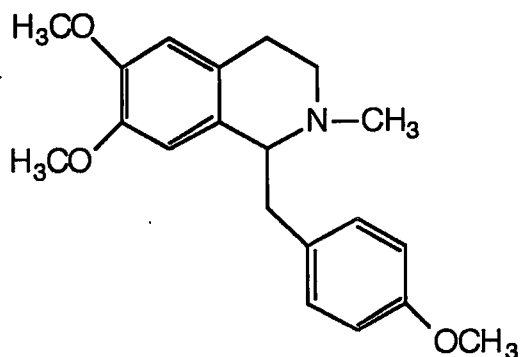
yapmaktadır. Aromatik sahada  $\delta$  5.99 ve 6.56 daki singletler sırasıyla H-8 ve H-5 protonlarının sinyalleridir.  $\delta$  6.80 ( $J= 8.6$  Hz, H-3' ve H-5') ve 7.01 ( $J= 8.6$  Hz, H-2' ve H-6') de iki proton değerindeki iki adet dublet, izokinolin halkasının 1 konumundaki *p*-metoksibenzil sübstiyentinin aromatik protonlarının absorbsiyonlarına aittir.

Bileşigin metanol içerisinde alınan UV spektrumunda, 208, 280 ve 284 nm lerde üç absorbsiyon maksimumu gözlenmiştir. Bu absorbsiyon maksimumları, tetrahidroizokinolin çekirdeğine sahip bileşikler için beklenen değerlerle uyum içindedir (29).

Bileşigin kapalı formülü  $C_{20}H_{25}NO_3$  dür ve amonyak ile alınan ci kütle spektrumunda,  $m/z$  328 değerinde ( $M+H$ ) piki görülmüştür. Bu değer bileşigin molekül ağırlığı ile uyum içindedir.

S-3 bileşiginin  $CDCl_3$  içerisinde alınan  $^{13}C$  NMR ve  $^{13}C$  NMR-DEPT spektrumlarının sonuçları, istenilen sentezin gerçekleştiğini gösteren bir diğer kanıt olmuştur. Buna göre, üç adet metilen karbonu [ $\delta$  25.17 (C-4), 40.26 (C- $\alpha$ ) ve 46.62 (C-3)], üç adet metoksil karbonu ( $\delta$  55.17, 55.40, 55.67), bir adet N-metil karbonu  $\delta$  42.40, yedi adet metin karbonu [ $\delta$  64.88 (C-1), 111.01 (C-8), 111.07 (C-5), 113.52 (C-3' ve C-5'), 130.66 (C-2' ve C-6')] ve altı adet katerner karbon ( $\delta$  125.50, 128.74, 131.69, 146.23, 147.25, 157.92) görülmüştür. Saptanan bu kimyasal kayma değerleri beklenen değerlerle uyum içerisindeindir.

Bu verilerin ışığında, S-3 bileşiginin aşağıda açık formülü verilen 2-metil-1-(*p*-metoksibenzil)-6,7-dimetoksi-1,2,3,4-tetrahidroizokinolin olduğu kesinlik kazanmıştır.



2-Metil-1-(*p*-metoksibenzil)-6,7-dimetoksi-1,2,3,4-tetrahidroizokinolinin (S-3) sentezi sırasında 3,4-dihidroizokinolin türevinin CH<sub>3</sub> ile katernizasyonu aşamasında istenen katerner türev yanında bir de yan ürünün oluştuğu gözlenmiştir. Bu yan ürünün spektral bulguları,  $\alpha$ -karbonunda bir oksidasyonun gerçekleştiğini tespit etmektedir.

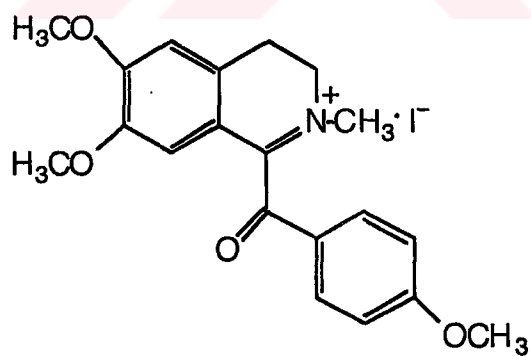
Bileşigin KBr içerisinde alınan IR spektrumunda 1654 cm<sup>-1</sup> de izlenen C=O gerilme sinyalinin frekansı,  $\alpha$ - $\alpha'$  konumlarından aromatik halkalarla konjug olmasa nedeniyle düşük frekansa kaymış bir keton işlevsel grubu için uygun bir değerdir (30). Yapı hakkında en belirgin özelliği ortaya koyan bu sinyalin haricinde izlenen diğer absorbsyonlar da, bileşikte bulunan diğer gruplara ait gerilme ve eğilme titreşimleri için beklenen değerlerle uyum içindedir (28).

<sup>1</sup>H NMR spektrumunda sırasıyla  $\delta$  3.29-3.39, 4.12-4.19, 4.27-4.42, ve 4.86-4.98 de birer proton değerinde dört adet multiplet tespit edilmiş ve bu sinyallerin 3,4-dihidroizokinolin ana çekirdeğinin H-3 ve H-4 no lu protonlarına ait olduğu görülmüştür.  $\delta$  3.82, 3.93 ve 4.05 de görülen üçer protonluk keskin singletler metoksil gruplarının protonlarının absorbsyonudur. Ayrıca  $\delta$  3.68 de görülen keskin singlet ise N-CH<sub>3</sub> protonuna aittir.  $\delta$  6.66 ve 7.10 daki singletler sırasıyla H-8 ve H-5 protonlarının sinyalleridir. 1 konumun-

daki *p*-metoksibenzil sübstiyentine ait aromatik protonlar, her biri iki protonluk iki dublet halinde  $\delta$  7.13 ( $J = 9.2$  Hz, H-3' ve H-5') ve 8.29 ( $J = 8.9$  Hz, H-2' ve H-6') da görülmüştür. Ayrıca S-3 bileşığının 1 konumundaki *p*-metoksibenzil sübstiyentine ait  $\alpha$  protonlarının  $^1\text{H}$  NMR spektrumunda kaybolması da ZP yan ürününün yapı teyidinde önemli bir kanıttır.

ZP yan ürününün düşünülen muhtemel bileşik olduğuna dair diğer bir bulgu  $^{13}\text{C}$  NMR ve  $^{13}\text{C}$  NMR-DEPT spektrumlarından sağlanmıştır. Bu spektrumlarda karbonil karbonuna ait kimyasal kayma değeri  $\delta$  185.64 de görülmüştür. Ayrıca toplam karbon sayısı ve bu karbonların cinsi bakımından spektrumlardan elde edilen sonuçlar, oluşması muhtemel yan ürününe uygunluk göstermektedir.

Bu sonuçlara göre, ZP kodlu yan ürünün aşağıda açık formülü verilen 2-metil-1-(*p*-metoksibenzoil)-6,7-dimetoksi-3,4-dihidroizokinolinyum iyodür olduğu kanıtlanmıştır.



**D. 2-Metil-1-(*p*-metoksibenzil)-6,7-dimetoksi-1,2,3,4-tetrahidroizokinolin-N-oksit Türevinin Sentezi ve Spektral Bulgularının Değerlendirilmesi (S-4)**

2-Metil-1-(*p*-metoksibenzil)-6,7-dimetoksi-1,2,3,4-tetrahidroizokinolin N-oksit bileşiği, 2-metil-1-(*p*-metoksibenzil)-6,7-dimetoksi-1,2,3,4-tetrahidroizokinolin bileşiginin (S-3) *m*-kloroperbenzoik asit ile N-oksidasyonu sonucu hazırlanmıştır.

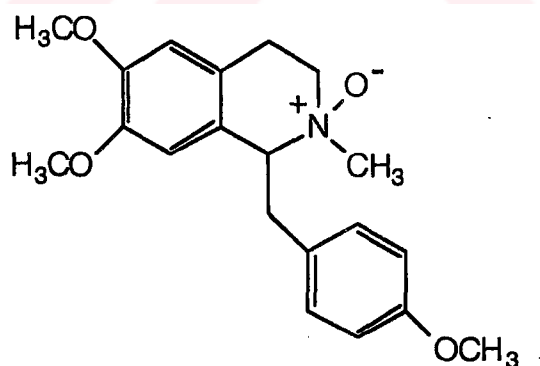
*m*-Kloroperbenzoik asit ile yapılan oksidasyonun istenen N-oksidi verdiğinin en önemli kanıtı,  $^1\text{H}$  NMR spektrumunda H-1 ve N-CH<sub>3</sub> protonlarının kimyasal kaymalarının, tetrahidro türeve göre oldukça aşağı alana kaymış olmasıdır. S-4 bileşliğinde H-1 ve N-CH<sub>3</sub> protonları sırasıyla  $\delta$  4.98 ve 3.39 da absorbsiyon yapmaktadır. Izokinolin halkasının 3 ve 4 konumlarında bulunan protonlar ile 1-benzil grubunun  $\alpha$ - protonları ise;  $\delta$  2.90 da bir proton değerinde doublet-doublet halinde,  $\delta$  3.14-3.25 te iki proton değerinde,  $\delta$  3.69-3.75 te bir proton değerinde,  $\delta$  3.80-3.85 te bir proton değerinde,  $\delta$  4.01-4.12 de bir proton değerinde multipletler halinde sinyal vermişlerdir. Metoksil protonları ise  $\delta$  3.85 de altı protonluk ve 3.75 de üç protonluk iki singlet olarak gözlenmiştir.

Aromatik sahada  $\delta$  5.70 ve 6.65 deki singletler sırasıyla H-8 ve H-5 protonlarının sinyalleridir.  $\delta$  6.79 ( $J= 8.7$  Hz, H-3' ve H-5') ve 7.02 ( $J= 8.6$  Hz, H-2' ve H-6') de iki proton değerindeki iki adet doublet, 1 konumundaki *p*-metoksibenzil grubunun aromatik protonlarının absorbsyonlarıdır.

Bileşigin metanol içerisinde alınan UV spektrumunda, tetrahidroizokinolin çekirdeğine sahip bileşiklerde olduğu üzere 284 nm de belirgin bir absorbsiyon maksimumu gözlenmiştir.

Bileşliğin  $\text{CDCl}_3$  içerisinde alınan  $^{13}\text{C}$  NMR ve  $^{13}\text{C}$  NMR-DEPT spektrumlarının sonuçları, istenen sentezin gerçekleştiğini göstermiştir. Bu spektumlarda bileşliğin yapısını oluşturan üç adet metilen karbonu [ $\delta$  23.57 (C-4), 37.59 (C- $\alpha$ ) ve 55.10 (C-3)], üç adet metoksil karbonu ( $\delta$  55.23, 55.44, 55.89), bir adet N-metil karbonu  $\delta$  51.05, yedi adet metin karbonu [ $\delta$  72.48 (C-1), 110.61 (C-8), 111.53 (C-5), 114.17 (C-3' ve C-5'), 131.56 (C-2' ve C-6')] ve altı adet katerner karbon ( $\delta$  119.49, 121.08, 126.11, 147.06, 149.31 ve 158.98) görülmüştür. Saptanan bu kimyasal kayma değerleri beklenen değerlere uymaktadır (31).

Bu verilere göre, S-4 kodlu bileşliğimin aşağıda açık formülü verilen 2-metil-1-(*p*-metoksibenzil)-6,7-dimetoksi-1,2,3,4-tetrahidroizokinolin-N-oksit olduğunu kanıtlanmıştır.



## E. S-4 Ün Pirolizi İle Kazanılan Bileşikler ve Spektral Bulgularının Değerlendirilmesi

S-4 bileşiğinin pirolizi sonucunda elde edilen ürün üzerinde yapılan İ.T.K. kontrolleri, karışımında Dragendorff belirtecine olumlu yanıt veren madde miktarı bakımından incelenebilecek 3 lekenin olduğunu göstermiştir. Bu 3 ürün preparatif İ.T.K. ile birbirinden ayrılmıştır. Bu bileşiklere  $R_f$  değeri büyülüklüklerine göre sırasıyla S-5a, S-5b ve S-5c kodları verilmiştir.

### 1. S-5a Bileşiği

Yapısı 1-(*p*-metoksibenzoil)-6,7-dimetoksiizokinolin olarak düşünen S-5a bileşiğinin bazı spektral analizleri, miktar azlığı ve çok kısıtlı imkanlarımız nedeniyle gerçekleştirilememiştir. Bu nedenle S-5a bileşiği için kesin bir yapı kanıtlaması yerine, eldeki verilerin yönlendirdiği bir yapı önerisinin sunulması uygun bulunmuştur. Bu yapı önerisi bileşliğin  $^1H$  NMR ve kütte spektrumlarına göre yapılmıştır.

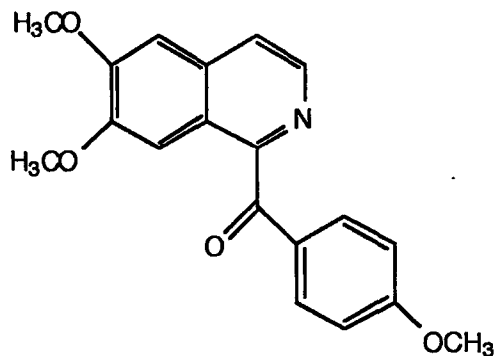
Bileşliğin  $CDCl_3$  içerisinde alınan  $^1H$  NMR spektrumunda, metoksil grubu protonları  $\delta$  3.71, 3.79 ve 3.89 da üçer protonluk üç keskin singlet halinde görülmüştür.  $\delta$  6.78 ve 6.97 deki singletler sırasıyla H-8 ve H-5 protonlarının sinyalleridir. Keza S-4 bileşiğinin 1 konumunda bulunan *p*-metoksibenzil sübstiyentine ait aromatik protonlar, her biri iki protonluk iki dublet halinde  $\delta$  6.79 ( $J=9.0$  Hz, H-3' ve H-5') ve 7.79 ( $J=9.0$  Hz, H-2' ve H-6') da görülmüştür. Ayrıca S-4 bileşiğinin 1 konumundaki *p*-metoksibenzil sübstiyentine ait  $\alpha$  protonlarının bu spektrumda görülmemesi de yapı önerisinde önemli bir kanıttır. S-5a bileşliğini S-4 bileşigiden ayırtıcı diğer

bir önemli nokta ise, spektrumun alifatik sahasında metoksil protonları dışında hiçbir protona rastlanmamasıdır. Bu durum bizde S-4 bileşığının 2-metil-tetrahidroizokinolin-N-oksit yapısının tam aromatik izokinolin haline dönüştüğü fikrini uyandırmıştır. Nitekim  $\delta$  7.47 ( $J=5.4$  Hz) ve 8.29 ( $J=5.5$  Hz) da izlenen birer protonluk entegrasyona sahip olan dubletler, tam aromatik bir izokinolin halkasının 3 ve 4 konumlarında bulunan protonlar için karakteristikdir.  $^1H$  NMR spektral bulguları, oluştuğunu düşündüğümüz bileşikte bulunması gereken tüm yapısal unsurların varlığını açık bir şekilde ortaya koymaktadır.

$CDCl_3$  içerisinde alınan  $^{13}C$  NMR ve  $^{13}C$  NMR-DEPT spektrumlarında madde miktarının azlığı nedeniyle karbon sinyallerinin hepsi okunamamıştır. Bu nedenle  $^{13}C$  NMR spektrumları yapı tayininde katkı sağlayamamıştır.

Önerilen kimyasal yapıya kesin bir destek de, bileşliğin ei kütle spektrumundan sağlanmaktadır. Bileşliğin ei kütle spektrumunda moleküler iyonun  $m/z$  değerinin 323 olduğu görülmektedir. Bu değer, oluşturduğu düşünülen  $C_{19}H_{17}NO_4$  kapalı formülündeki S-5a bileşiği için hesaplanan molekül ağırlığıyla aynıdır.

Bu sonuçlara göre, S-5a kodlu bileşliğin aşağıda açık formülü verilen 1-(*p*-metoksibenzoil)-6,7-dimetoksiizokinolin olduğu düşünülmüştür.



## 2. S-5b Bileşiği

S-5b bileşininin 2-metil-6,7-dimetoksi-1-izokinolon yapısında olduğu düşünülmüştür. Bu düşünceye bileşinin <sup>1</sup>H NMR ve kütle spektrumlarının değerlendirilmesi sonucu varılmıştır.

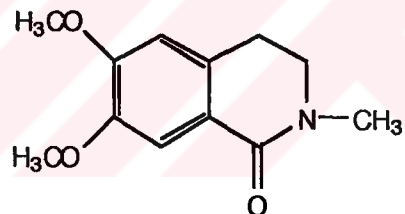
Bileşinin CDCl<sub>3</sub> içerisinde alınan <sup>1</sup>H NMR spektrumunda δ 2.93 ve 3.54 de J değeri 6.8 Hz olan ikişer proton değerinde iki triplet görülmüştür. Bu sinyallerin düşündürdüğü yapı, bir izokinolon çekirdeğidir. Zira izokinolonlar, 3 ve 4 konumlarında yer alan metilen protonlarının, sırasıyla δ 3.50 ve 2.90 civarında verdikleri iki triplet (J=7 Hz) ile karakterize edilirler (32). Azot üzerinde metil grubu taşıyan izokinolonlarda, bu gruba ait protonların sinyalleri δ den daha aşağı alanda görülür. Gerçekten de bileşliğimizin N-CH<sub>3</sub> protonları δ 3.13 de üç proton değerinde keskin bir singlet halinde görülen aromatik proton rezonansları, literatürde benzeri bileşikler için rapor edilmiş olan değerlerle büyük bir uyum içindedir (32). Ayrıca S-4 bileşininin 1 konumunda yer alan p-metoksibenzil sübstiyentine ait sinyallerin de bu spektrumda görülmemesi izokinolon yapısının olduğunu göstermektedir. δ

3.91 ve 3.92 de üçer protonluk iki keskin singlet, izokinolon halkasının 6 ve 7 konumlarındaki metoksil protonlarının sinyalleridir.

$\text{CDCl}_3$  içerisinde alınan  $^{13}\text{C}$  NMR ve  $^{13}\text{C}$  NMR-DEPT spektrumlarında madde miktarının azlığı nedeniyle karbon sinyallerinin hepsi okunamamıştır. Bundan dolayı bileşliğin yapı önerisinde bu spektrumlardan faydalanalılamamıştır.

Bileşliğin ei kütle spektrumunda moleküler iyonun  $m/z$  221 olduğu görülmektedir. Bu değer, olduğu düşünülen  $\text{C}_{12}\text{H}_{15}\text{NO}_3$  kapalı formülüne sahip S-5b bileşiği için hesaplanan molekül ağırlığıyla aynıdır.

Bu bilgilerin ışığında, S-5b bileşünün aşağıda açık formülü verilen 2-metil-6,7-dimetoksi-1-izokinolon olduğu sonucuna varılmıştır.



### 3. S-5c Bileşiği

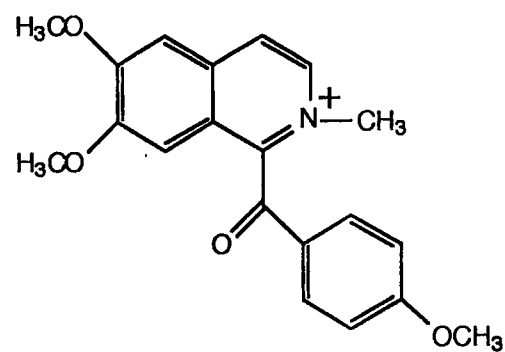
S-5c bileşinin yapısına ışık tutan veriler  $^1\text{H}$  NMR ve kütle spektrumlarından sağlanmıştır.

Bileşinin  $\text{CDCl}_3$  içerisinde alınan  $^1\text{H}$  NMR spektrumunda  $\delta$  3.97, 4.23 ve 4.41 de metoksil grubuna ait protonların rezonansları üçer protonluk üç keskin singlet halinde görülmüştür. Ayrıca  $\delta$  3.86 da görülen keskin singlet ise  $\text{N}-\text{CH}_3$  protonuna aittir.  $\delta$  6.93 ve 7.61 deki singletler izokinolin halkasının

sırasıyla 8 ve 5 konumlarındaki protonların absorbsiyonlarıdır. Bu bileşigin spektrumunun S-4 bileşiginin spektrumundan farkı; S-4 bileşiginin 1 konumundaki *p*-metoksibenzil sübstityüentine ait  $\alpha$ -konumundaki protonların ve alifatik sahada metoksil ve N-CH<sub>3</sub> protonları dışında hiçbir protonun görülmemesidir. Ayrıca N-CH<sub>3</sub> protonlarının da bu spektrumda oldukça aşağı alana kaydiği gözlenmiştir.  $\delta$  8.44 ( $J= 6.7$  Hz, H-4) ve 8.89 ( $J= 6.8$  Hz, H-3) da izlenen birer protonluk entegrasyona sahip olan dubletler, tam aromatik bir izokinolin halkasının 3 ve 4 konumlarında bulunan protonlar için karakteristikdir.

Izokinolin halkasının 1 konumundaki *p*-metoksibenzil üzerindeki aromatik protonların herbiri iki protonluk iki dublet halinde görülmesi 1,4-disübstitüe benzen türevlerinin beklenen özelliğidir. Bu sonuca göre bizim, aromatik sahada iki proton değerinde iki adet dublet görmemiz gerekmektedir. Bu dubletlerden biri  $\delta$  7.13 ( $J= 8.0$  Hz, H-3' ve H-5') de görülmüştür. Diğer dublet ise, CDCl<sub>3</sub> ve (CDCl<sub>3</sub> + D<sub>2</sub>O) içerisinde alınan spektrumlarda tümsek halinde çıkmıştır. Bu nedenle bileşigin aseton-d<sub>6</sub> içerisinde spektrumu alınmış ve söz konusu sinyal bekendiği üzere dublet halinde  $\delta$  7.85 ( $J=7.1$  Hz, H-2' ve H-6') de görülebilmiştir.

Bileşigin ei kütle spektrumunda m/z değeri 323 ve moleküller iyondan metil atılmasıyla oluşan iyon pikinin görülmesi, C<sub>20</sub>H<sub>20</sub>NO<sub>4</sub> kapalı formülündeki S-5c bileşigidenden beklenen kütle spektrumuna uygunluk göstermektedir (30). Yukarıdaki verilerin ışığında, S-5c kodlu bileşigimizin, aşağıda açık formülü verilen 2-metil-1-(*p*-metoksibenzoil)-6,7-dimetoksiizokinolinium olduğu düşünülmüştür.



## ÖZET

Bu çalışmada; 2-metil-1-(*p*-metoksibenzil)-6,7-dimetoksi-1,2,3,4-tetrahidroizokinolin-N-oksit bileşiği, Bischler-Napieralski reaksiyonunun da dahil olduğu dört basamaklı bir sentez çalışmasıyla elde edilmiştir. Daha sonra bu N-oksit bileşигine termal dekompozisyon uygulanmış ve elde edilen piroliz ürünlerinin yapıları spektral yöntemlerle tayin edilmiştir.

## SUMMARY

In this study, 2-methyl-1-(*p*-methoxybenzyl)-6,7-dimethoxy-1,2,3,4-tetrahydroisoquinoline-N-oxide has been synthesized by a four-step sequence including Bischler-Napieralski reaction . Then, this N-oxide has been subjected to the thermal decomposition and pyrolysis products have been characterized by spectral methods.

## KAYNAKLAR

1. A. M. Hjort, E. J. de Beer and D. W. Fassett, *J. Pharmacol. Exp. Ther.*, **62**, 195 (1938); J. Lundström, in "*The Alkaloids*", A. Brossi (Ed), **21**, p. 319, Academic Press, Orlando (1983).
2. A. M. Hjort, E. J. de Beer, J. S. Buck and L. O. Randall, *J. Pharmacol. Exp. Ther.*, **76**, 263 (1942); J. Lundström, in "*The Alkaloids*", A. Brossi (Ed), **21**, p. 319, Academic Press, Orlando (1983).
3. L. Simon, J. Povszasz, P. Gibiszer, P. Katalin and S. Talpas, *Pharmacalia* **34**, 439 (1979).
4. A. Brossi, K. C. Rice, C. P. Make, J. Reden, A. E. Jacobson, Y. Nimikitpaisan, P. Skolnick and J. Daly, *J. Med. Chem.*, **23**, 648 (1980).
5. C. Mytilineou, G. Cohen and R. Barrett, *Eur. J. Clin. Pharmacol.*, **25**, 390 (1974); J. Lundström, in "*The Alkaloids*", A. Brossi (Ed), **21**, p. 319, Academic Press, Orlando (1983).
6. O. S. Lee, J. E. Mears, J. J. Bardin, D. D. Miller and D. R. Feller, *Fed. Proc., Fed. Am. Soc. Exp. Biol.*, **32**, 723 Abstr. (1973); J. Lundström, in "*The Alkaloids*", A. Brossi (Ed), **21**, Academic Press, Orlando (1983).
7. C. Bischler and G. Napieralski, *Ber.*, **26**, 1903 (1893).
8. W. M. Whaley and T. R. Govindachari, *Org. React.*, **6**, 74 (1951).

9. W. J. Gensler, in "**Heterocyclic Compounds**", R. C. Elderfield (Ed.), **4**, p. 344, John Wiley and Sons, New York (1952).
10. Tamayo, M. L., Madronero, R., Munoz, G. G., Marzal, J. M. and Stud, M., *Chem. Ber.*, **94**, 199 (1961).
11. A. Pictet and I. Spengler, *Ber.*, **44**, 2030 (1911).
12. A. Pictet and A. Gams, *Ber.*, **42**, 2943 (1909).
13. C. Pomeranz, *Monatsh.*, **14**, 116 (1893).
14. P. Fritsch, *Ann.*, **286**, 1 (1895).
15. J. B. Bremner, E. J. Browne, P. E. Davies, L. van Thuc, Aust. *J. Chem.*, **33**, 833 (1980).
16. V. Pabuçuoğlu, B. Gözler, *Doğa-Tr. J. of Pharmacy*, **1**, 138 (1991).
17. P. Friedlander and H. Ostermaier, *Ber.*, **14**, 1916 (1881).
18. A. Wohl and W. Aue, *Ber.*, **34**, 3442 (1901).
19. J. D. Phillipson and S. S. Handa, *Phytochemistry* **14**, 999 (1975).
20. W. Carruthers and R. A. W. Johnstone, *J. Chem. Soc.*, 1653 (1965).
21. J. B. Bremner and L. van Thuc, Aust. *J. Chem.*, **33**, 379 (1980).
22. L. D. Quin and F. A. Shelburne, *J. Org. Chem.*, **30**, 3135 (1965).
23. Decker and Galatti, *Ber.*, **42**, 1179 (1909).
24. K. W. Bentley and A. W. Murray, *J. Chem. Soc.*, 2497 (1963).
25. W. Klötzer and W. E. Oberhänsli, *Helv. Chim. Acta* **56**, 2107 (1973).
26. Munier, R. R. and Macheboeuf, M., *Bull. Soc. Chim. Biol.*, **33**, 846 (1954); Stahl, E., "**Thin-Layer Chromatography**", 2nd Ed., Springer Verlag, New York (1961).
27. T. R. Govindachari and K. Nagarajan, *Proc. Indian Acad. Sci.*, **42A**, 136 (1955).
28. R. M. Silverstein, G. C. Bassler, T. C. Morrill, "**Spectrometric Identification of Organic Compounds**", 4th Ed., John Wiley and Sons

- Inc., New York (1981).
29. M. Shamma "*The Isoquinoline Alkaloids*", p. 37, Academic Press, New York (1972).
30. Hesse M., Meier H. and Zech B. "*Spectroscopic Methods in Organic Chemistry*", p. 248, Georg Thieme Verlag Stuttgart, New York (1997).
31. D. W. Hughes and D. B. Maclean, "*The Alkaloids*", 28, p. 223, Academic Press (1981).
32. B. D. Krane and M. Shamma, *J. Nat. Prod.*, 45, 377 (1982).

T.C. Vİ  
GENETİK KURULU  
[unclear]  
[unclear]

## ÖZGEÇMİŞ

1972 Yılında Kayseri'de doğdum. İlköğretimimi Fatih İlkokulunda, orta öğrenimimi Bornova Suphi Koyuncuoğlu Lisesinde tamamladım. 1990 Yılında Ege Üniversitesi Eczacılık Fakültesine başladım ve 1994 yılında mezun oldum. Aynı yılın Eylül ayında Ege Üniversitesi Sağlık Bilimleri Enstitüsü'nün açtığı Farmasötik Kimya Programı Yüksek Lisans sınavını kazandım. 1997 Yılı Temmuz ayında Farmasötik Kimya Anabilim Dalı'nda açılan sınavı kazanarak Araştırma Görevlisi kadrosuna atandım. Halen bu görevimi devam ettirmektedim. Bekarım.